

การศึกษาผลของกรรมวิธีทางความร้อนต่อโครงสร้างทางจุลภาค
และสมบัติทางกลของอะลูมิเนียมพลาสมอลล์อ A390

EFFECT OF HEAT TREATMENT ON MICROSTRUCTURE AND
MECHANICAL PROPERTIES OF CAST ALUMINUM ALLOYS A390

นางสาวอภิญญา เวชการ รหัส 50362962
นายอภิชาติ ชื่อนาม รหัส 50365628

| |
|-----------------------------|
| ผู้ยื่นขอคุณวิศวกรรมศาสตร์ |
| วันที่รับ..... 10 ก.ค. 2555 |
| เลขที่แบบ..... 15905400 |
| เลขเรียงหนังสือ..... N/S |
| มหาวิทยาลัยนเรศวร A253 |

D
2553

ปริญญานิพนธ์นี้เป็นส่วนหนึ่งของการศึกษาหลักสูตรปริญญาวิศวกรรมศาสตรบัณฑิต
สาขาวิชาวิศวกรรมวัสดุ ภาควิชาวิศวกรรมอุตสาหการ
คณะวิศวกรรมศาสตร์ มหาวิทยาลัยนเรศวร
ปีการศึกษา 2553



ใบรับรองปริญญาบัณฑิต

| | | | |
|-------------------|---|------|----------|
| ชื่อหัวข้อโครงการ | การศึกษาผลของการวิธีทางความร้อนต่อโครงสร้างทางจุลภาค และสมบัติทางกลของอะลูมิเนียมผสมหล่อ A390 | | |
| ผู้ดำเนินโครงการ | นางสาวอภิญญา เวชกร | รหัส | 50362962 |
| | นายอภิชาติ ชื่อนาม | รหัส | 50365628 |
| ที่ปรึกษาโครงการ | อาจารย์กฤณา พูลสวัสดิ์ | | |
| ที่ปรึกษาร่วม | อาจารย์อัมพร เวียงมูล | | |
| สาขาวิชา | วิศวกรรมวัสดุ | | |
| ภาควิชา | วิศวกรรมอุตสาหการ | | |
| ปีการศึกษา | 2553 | | |

คณะวิศวกรรมศาสตร์ มหาวิทยาลัยนเรศวร อนุมัติให้ปริญญาบัณฑิตบันนี้เป็นส่วนหนึ่ง
ของการศึกษาตามหลักสูตรวิศวกรรมศาสตรบัณฑิต สาขาวิชาชีวกรรมวัสดุ

.....ที่ปรึกษาโครงการ
(อาจารย์กฤณา พูลสวัสดิ์)

.....ประธานกรรมการ
(อาจารย์ชุลีพร ป่าໄเร)

.....ธ.ก.ก.ก. กรรมการ
(อาจารย์ธนิกานต์ รงชัย)

.....อ.พ.ก. กรรมการ
(อาจารย์ศิริกัญจน์ ขันสัมฤทธิ์)

.....ก.ก. ก. กรรมการ
(อาจารย์มานะ วีรวิกรม)

.....ก.ก. ก. กรรมการ
(อาจารย์ปิยนันท์ บุญพยัคฆ์)

| | | | |
|--------------------------|--|------|----------|
| ชื่อหัวข้อโครงการ | การศึกษาผลของกรรมวิธีทางความร้อนต่อโครงสร้างทางจุลภาค และสมบัติทางกลของอะลูมิเนียมผสมหล่อ A390 | | |
| ผู้ดำเนินโครงการ | นางสาวอภิญญา เวชการ | รหัส | 50362962 |
| | นายอภิชาติ ชื่อนาม | รหัส | 50365628 |
| ที่ปรึกษาโครงการ | อาจารย์กฤณนา พูลสวัสดิ์ | | |
| ที่ปรึกษาร่วม | อาจารย์อัมพร เวียงมูล | | |
| สาขาวิชา | วิศวกรรมวัสดุ | | |
| ภาควิชา | วิศวกรรมอุตสาหการ | | |
| ปีการศึกษา | 2553 | | |

บทคัดย่อ

โครงการวิจัยนี้ได้ทำการศึกษาผลของกรรมวิธีทางความร้อนต่อโครงสร้างทางจุลภาค และสมบัติทางกลของอะลูมิเนียมผสมหล่อ เกรด A390 ประกอบด้วยขั้นตอนการอบละลายที่อุณหภูมิ 480 และ 500 องศาเซลเซียส เป็นเวลา 4 และ 8 ชั่วโมง จากนั้นชุบน้ำที่อุณหภูมิ 80 องศาเซลเซียส และนำเข้าขึ้นงานผ่านขั้นตอนการบ่มแข็งที่อุณหภูมิ 160 และ 180 องศาเซลเซียส เป็นเวลา 8 ชั่วโมง แล้วปล่อยให้เย็นตัวในอากาศ จากการผลการศึกษาโครงสร้างทางจุลภาคของขั้นงานในสภาพหล่อพบร้าโครงสร้างทางจุลภาคประกอบด้วย เฟสซิลิคอนปฐมภูมิ เฟสแอลฟ่า-อะลูมิเนียม เฟสคอปเปอร์-อะลูมิโน่ ($CuAl_2$) และเฟสยูเทกติกอะลูมิเนียม-ซิลิคอนที่มีลักษณะเป็นแท่งยาว ปลายแหลม โดยในสภาพหล่อนี้มีค่าความแข็งเท่ากับ 131.760 HB และค่าความแข็งแรงเท่ากับ 95.817 MPa หลังจาก การอบละลายพบว่า เฟสยูเทกติกอะลูมิเนียม-ซิลิคอนที่จากเดิมเป็นแท่งยาว ปลายแหลม เปลี่ยนลักษณะเป็นกลมมนมากขึ้น ในการอบละลายที่อุณหภูมิ 500 องศาเซลเซียส เป็นเวลา 4 ชั่วโมง มีค่าความแข็งเท่ากับ 147.854 HB และค่าความแข็งแรงเท่ากับ 142.980 MPa ขั้นตอนการบ่มแข็งโครงสร้างทางจุลภาคจะมีลักษณะเหมือนในขั้นตอนการอบละลาย แต่มีการตัดตะกอนของอนุภาคนานาด้วยของเฟสคอปเปอร์อะลูมิโน่ในเฟสแอลฟ่า-อะลูมิเนียม ในการบ่มแข็งที่อุณหภูมิ 180 องศาเซลเซียส เป็นเวลา 8 ชั่วโมง มีค่าความแข็งสูงสุดเท่ากับ 171.45 HB และค่าความแข็งแรงสูงสุดเท่ากับ 168.588 MPa

กิตติกรรมประกาศ

ในการทำโครงการวิจัยนี้ผู้เขียนขอขอบพระคุณ อาจารย์กฤณา พูลสวัสดิ์ ซึ่งเป็นอาจารย์ที่ปรึกษาโครงการ และอาจารย์อัมพร เวียงมูล ซึ่งเป็นอาจารย์ที่ปรึกษาร่วมโครงการ ในการให้ความรู้ คำปรึกษา ข้อแนะนำเกี่ยวกับการค้นหาข้อมูลในการวิเคราะห์ข้อมูลต่างๆ และความช่วยเหลือ ทางด้านต่างๆ ตลอดจนแนะนำวิธีการในการแก้ไขปัญหา และให้กำลังใจในการทำงานตลอดมาจนสามารถทำงานลุล่วงไปได้ด้วยดี ผู้จัดทำรู้สึกซาบซึ้ง และขอกราบขอบพระคุณเป็นอย่างสูง

ขอขอบพระคุณ อาจารย์ชุลีพรย์ ป่าไร่ อาจารย์มานะ วีรวิกรม อาจารย์ศิริกาญจน์ ขันสมฤทธิ์ อาจารย์ธนิกานต์ คงชัย และอาจารย์ปิยนันท์ บุญพยักช์ ที่กรุณาสละเวลา เป็นอาจารย์ สอนโครงการ พร้อมทั้งให้คำแนะนำที่เป็นประโยชน์ และข้อเสนอแนะในการปรับปรุงแก้ไขโครงการนี้

ขอขอบพระคุณ ครูช่างประเทือง โนราราย ครูช่างธวัชชัย ชลบุตร ครูช่างรณกฤต แสงฟ่อง นักวิทยาศาสตร์อิสระ วัตถุภาพ และคุณปัทมา อภิชัย ที่เคยเอื้อเพื่อสถาบันฯ และอุปกรณ์ในการทำโครงการ อีกทั้งยังเคยแนะนำการใช้อุปกรณ์ และเครื่องมือต่างๆ ให้ถูกต้องอีกด้วย

ขอขอบพระคุณคณะวิศวกรรมศาสตร์ มหาวิทยาลัยเรศวร ที่ประสิทธิ์ประสานวิชาความรู้ ให้กับผู้ที่ทำโครงการ งานนี้ลุล่วงไปได้ด้วยดี

ขอขอบพระคุณภาควิชาฟิสิกส์ คณะวิทยาศาสตร์ มหาวิทยาลัยเรศวร ที่ให้ความอนุเคราะห์ ในการใช้เครื่องตัดชิ้นงาน เครื่องขัดโลหะ เตาอบอุณหภูมิสูง และกล้องจุลทรรศน์แบบแสง

ขอขอบพระคุณ บิดา นารดา และครอบครัว ที่ให้กำลังใจ และสนับสนุนค่าใช้จ่ายจนสามารถ เรียน และทำโครงการวิจัยจนสำเร็จลุล่วงไปได้ด้วยดี

ขอขอบคุณเพื่อนทุกคนที่เคยให้ความช่วยเหลือ ให้กำลังใจ และให้คำปรึกษาในการทำ โครงการนี้จนลุล่วงได้เป็นอย่างดี

ผู้ดำเนินโครงการ
อภิญญา เวชการ
อภิชาติ ชื่อนาม

เมษายน 2554

สารบัญ

| | หน้า |
|---|----------|
| ใบรับรองปริญญาและพิมพ์..... | ก |
| บทคัดย่อภาษาไทย..... | ข |
| กิตติกรรมประกาศ..... | ค |
| สารบัญ..... | ง |
| สารบัญตาราง..... | ด |
| สารบัญรูป..... | ซ |
| สารบัญสัญลักษณ์ และอักษรย่อ..... | ณ |
| | |
| บทที่ 1 บทนำ..... | 1 |
| 1.1 ความเป็นมา และความสำคัญของโครงการ..... | 1 |
| 1.2 วัตถุประสงค์ของโครงการ..... | 2 |
| 1.3 เกณฑ์ชี้วัดผลงาน (Output)..... | 2 |
| 1.4 เกณฑ์ชี้วัดผลสำเร็จ (Outcome)..... | 2 |
| 1.5 ขอบเขตการดำเนินโครงการ..... | 2 |
| 1.6 สถานที่ในการดำเนินโครงการ..... | 3 |
| 1.7 ระยะเวลาในการดำเนินโครงการ..... | 3 |
| 1.8 ขั้นตอน และแผนการดำเนินโครงการ..... | 3 |
| | |
| บทที่ 2 หลักการ และทฤษฎีเบื้องต้น..... | 5 |
| 2.1 การหล่อแบบแม่พิมพ์การ (Gravity Die Casting) | 5 |
| 2.2 อะลูมิเนียมผสมหล่อ..... | 6 |
| 2.3 การเพิ่มความแข็ง และความแข็งแรงของอะลูมิเนียมหล่อผสมโดยกรรมวิธีทางความร้อน..... | 19 |
| 2.4 กล้องจุลทรรศน์แบบแสง (Optical Microscopy)..... | 25 |
| 2.5 กล้องจุลทรรศน์อิเล็กตรอนแบบส่องกราด (Scanning Electron Microscopy)..... | 26 |
| 2.6 เครื่องเอกซเรย์ดิฟแฟร์กโนมิเตอร์ (X-Ray Diffractometer)..... | 28 |
| 2.7 การทดสอบความแข็ง (Hardness Test)..... | 30 |
| 2.8 การทดสอบแรงดึง (Tensile Test)..... | 32 |
| 2.9 งานวิจัยที่เกี่ยวข้อง..... | 33 |

สารบัญ (ต่อ)

| | หน้า |
|--|------|
| บทที่ 3 วิธีการดำเนินโครงการ..... | 34 |
| 3.1 ขั้นตอน และระเบียบวิธีวิจัยที่ใช้ในการทำโครงการ..... | 34 |
| 3.2 วัสดุ และอุปกรณ์..... | 35 |
| 3.3 ขั้นตอนการดำเนินการวิจัย..... | 36 |
| บทที่ 4 ผลการทดลอง และวิเคราะห์..... | 41 |
| 4.1 ผลการศึกษาของลูมิเนียมผสมหล่อ เกรด A390 ในสภาพหล่อ..... | 41 |
| 4.2 ผลการศึกษาของลูมิเนียมผสมหล่อ A390 หลังผ่านการอบละลาย..... | 50 |
| 4.3 ผลการศึกษาของลูมิเนียมผสมหล่อ A390 หลังผ่านการบ่มแข็ง..... | 56 |
| บทที่ 5 บทสรุป และข้อเสนอแนะ..... | 64 |
| 5.1 บทสรุป..... | 64 |
| 5.2 ข้อเสนอแนะ และการพัฒนา..... | 65 |
| 5.3 ปัญหาที่พบ และแนวทางการแก้ปัญหา..... | 65 |
| เอกสารอ้างอิง..... | 66 |
| ภาคผนวก ก..... | 68 |
| ภาคผนวก ข..... | 70 |
| ภาคผนวก ค..... | 75 |
| ประวัติผู้ดำเนินโครงการ..... | 77 |

สารบัญตาราง

| ตารางที่ | หน้า |
|--|------|
| 1.1 ขั้นตอน และแผนการดำเนินงาน..... | 3 |
| 3.1 ส่วนผสมทางเคมีของอะลูมิเนียมผสมหล่อ เกรด A390..... | 35 |
| 4.1 การวิเคราะห์องค์ประกอบของธาตุเฟสซิลิคอนปัตตานีของชิ้นงานในสภาพหล่อ..... | 43 |
| 4.2 การวิเคราะห์องค์ประกอบของธาตุของเฟสแอลฟ่า-อะลูมิเนียมในสภาพหล่อ..... | 45 |
| 4.3 การวิเคราะห์องค์ประกอบของธาตุเฟสสูญเทกติกอะลูมิเนียม-ซิลิคอนของชิ้นงานในสภาพหล่อ.46 | |
| 4.4 การวิเคราะห์องค์ประกอบของธาตุของอะลูมิเนียม ทองแดง และซิลิคอน ของชิ้นงานในสภาพ หล่อ..... | 48 |
| ก.1 โครงสร้างทางจุลภาคของชิ้นงานก่อน และหลังกรรมวิธีทางความร้อน ณ บริเวณต่างๆ..... | 69 |
| ก.1 การวิเคราะห์องค์ประกอบของธาตุบริเวณเฟสต่างๆ ของชิ้นงานก่อน และหลังกรรมวิธีทาง ความร้อน..... | 71 |
| ก.2 การวิเคราะห์องค์ประกอบของธาตุของชิ้นงานทดสอบแรงดึงในสภาพหล่อ..... | 72 |
| ก.3 การวิเคราะห์องค์ประกอบของธาตุของชิ้นงานทดสอบแรงดึงหลังผ่านการอบละลาย..... | 72 |
| ก.4 การวิเคราะห์องค์ประกอบของธาตุของชิ้นงานทดสอบแรงดึงหลังผ่านการบ่มแข็ง..... | 73 |
| ก.5 ปริมาณเฟสสูญเทกติกอะลูมิเนียม-ซิลิคอนของชิ้นงานก่อน และหลังกรรมวิธีทางความร้อน... | 74 |
| ก.1 ค่าความแข็งของชิ้นงานก่อน และหลังกรรมวิธีทางความร้อน..... | 76 |
| ก.2 ค่าความแข็งแรงของชิ้นงานก่อน และหลังกรรมวิธีทางความร้อน..... | 76 |

สารบัญรูป

| รูปที่ | หน้า |
|--|------|
| 2.1 แบบหล่อแม่พิมพ์ถาวรภาครวบ | 5 |
| 2.2 แบบจำลองการเติบโตของผลึก (Dendritic Growth) และโครงสร้างของเกรนในอะลูมิเนียม ผสมหล่อ | 7 |
| 2.3 แผนภาพวัสดุภาคของโลหะผสมอะลูมิเนียม-ทองแดง | 9 |
| 2.4 แผนภาพวัสดุภาคของอะลูมิเนียม-ซิลิคอน แสดงบริเวณที่มีองค์ประกอบเป็นไฮโปยูเทกติก ยู- เทกติก และไฮเปอร์ยูเทกติก | 10 |
| 2.5 โครงสร้างทางจุลภาคของโลหะอะลูมิเนียมหล่อผสมแบบไฮโปยูเทกติก | 11 |
| 2.6 โครงสร้างยูเทกติกของโลหะหล่อผสมอะลูมิเนียม-ซิลิคอน | 12 |
| 2.7 โครงสร้างไฮเปอร์ยูเทกติกของโลหะหล่อผสมอะลูมิเนียม-ซิลิคอน ($\times 100$ เท่า) | 13 |
| 2.8 แผนภาพวัสดุภาคของโลหะผสมอะลูมิเนียม-แมกนีเซียม | 15 |
| 2.9 แผนภาพวัสดุภาคแสดงพื้นผิวลิควิดส์ของโลหะผสมอะลูมิเนียม-แมกนีเซียม-ซิลิคอน | 16 |
| 2.10 แผนภาพวัสดุภาคแสดงพื้นผิวลิควิดส์ของโลหะผสมอะลูมิเนียม-แมกนีเซียม-ซิลิคอน | 17 |
| 2.11 แผนภาพวัสดุภาคแสดงพื้นผิวลิควิดส์ของโลหะผสมอะลูมิเนียม-แมกนีเซียม-ซิลิคอน | 17 |
| 2.12 แผนภาพวัสดุภาคแสดงพื้นผิวโซลวัส ซึ่งแสดงความสามารถในการละลายของธาตุในโลหะ- ผสมอะลูมิเนียม-แมกนีเซียม-ซิลิคอน | 18 |
| 2.13 แผนภาพวัสดุภาคแสดงช่วงอุณหภูมิกรรมวิธีทางความร้อน | 20 |
| 2.14 แผนภาพแสดงลักษณะเส้นรอบของเฟสที่เกิดขึ้นจากการกรรมวิธีทางความร้อน | 20 |
| 2.15 โครงสร้างพื้น และลักษณะการเกิดตะกอน | 23 |
| 2.16 การเปลี่ยนแปลงโครงสร้างภายในของโลหะผสมที่สามารถทำการเพิ่มความแข็งด้วยกลไก การตกตะกอน และถูกทำให้อ้อยในสภาพสารละลายของแม็กนีเซียมด้วยยาดโดยการบ่มแข็ง | 24 |
| 2.17 เส้นโค้งในการบ่มแข็ง (ความแข็ง และความแข็งแรงกับเวลา) ที่อุณหภูมิหนึ่งของโลหะผสม ที่สามารถทำการเพิ่มความแข็งด้วยกลไกการตกตะกอนได้ | 25 |
| 2.18 Bragg's Law | 29 |
| 2.19 เครื่องเอกซเรย์ดิฟแฟร์กโนมิเตอร์ | 29 |
| 2.20 หลักการทดสอบความแข็งแบบบริเนลล์ | 31 |
| 2.21 การทดสอบแรงดึงตามมาตรฐาน ASTM B557 | 32 |
| 3.1 ขั้นตอนการดำเนินงาน | 34 |
| 3.2 ขั้นงานที่นำไปทดสอบแรงดึง | 36 |
| 3.3 การอบละลายที่อุณหภูมิ 480 องศาเซลเซียส เป็นเวลา 4 และ 8 ชั่วโมง | 37 |

สารบัญรูป (ต่อ)

| รูปที่ | หน้า |
|--|------|
| 3.4 การอบล่ำลายที่อุณหภูมิ 500 องศาเซลเซียส เป็นเวลา 4 และ 8 ชั่วโมง..... | 37 |
| 3.5 การบ่มแข็งที่อุณหภูมิ 160 องศาเซลเซียส เป็นเวลา 8 ชั่วโมง..... | 38 |
| 3.6 การบ่มแข็งที่อุณหภูมิ 180 องศาเซลเซียส เป็นเวลา 8 ชั่วโมง..... | 38 |
| 4.1 โครงสร้างทางจุลภาคของชิ้นงานในสภาพหล่อจากกล้องจุลทรรศน์แบบแสง..... | 41 |
| 4.2 การวัดการกระจายพลังงานของรังสีเอกซ์ (EDXS) บริเวณเฟสซิลิคอนปฐมภูมิในสภาพหล่อ.. | 42 |
| 4.3 การวัดการกระจายพลังงานของรังสีเอกซ์ (EDXS) เฟสแอลฟ่า-อะลูมิเนียมในสภาพหล่อ..... | 44 |
| 4.4 การวัดการกระจายพลังงานของรังสีเอกซ์ (EDXS) เฟสยูเทกติกอะลูมิเนียม-ซิลิคอนในสภาพ หล่อ..... | 45 |
| 4.5 การวัดการกระจายพลังงานของรังสีเอกซ์ (EDXS) บริเวณองค์ประกอบของธาตุอะลูมิเนียม ทองแดง และซิลิคอน ชิ้นงานในสภาพหล่อ..... | 47 |
| 4.6 โครงสร้างทางจุลภาคของชิ้นงานในสภาพหล่อ..... | 48 |
| 4.7 การเลี้ยวเบนของรังสีเอกซ์ของชิ้นงานในสภาพหล่อ..... | 49 |
| 4.8 โครงสร้างทางจุลภาคของชิ้นงานในสภาพหล่อ..... | 49 |
| 4.9 โครงสร้างทางจุลภาคของชิ้นงานในสภาพหล่อ และหลังผ่านการอบล่ำลาย ชุบน้ำที่อุณหภูมิ 80 องศาเซลเซียส จากกล้องจุลทรรศน์แบบแสง..... | 51 |
| 4.10 การเลี้ยวเบนของรังสีเอกซ์ของชิ้นงานหลังผ่านการอบล่ำลาย..... | 53 |
| 4.11 ค่าความแข็งของชิ้นงานสภาพหล่อ และหลังผ่านการอบล่ำลาย..... | 55 |
| 4.12 ค่าความแข็งแรงของชิ้นงานก่อน และหลังการอบล่ำลายที่อุณหภูมิ 500 องศาเซลเซียส เป็นเวลา 4 ชั่วโมง..... | 56 |
| 4.13 โครงสร้างทางจุลภาคของชิ้นงานหลังผ่านการบ่มแข็ง แล้วปล่อยให้เย็นตัวในอากาศ จาก กล้องจุลทรรศน์แบบแสง..... | 57 |
| 4.14 ปริมาณของเฟสยูเทกติกอะลูมิเนียม-ซิลิคอนของชิ้นงานก่อน และหลังผ่านกรรมวิธีทาง ความร้อน..... | 58 |
| 4.15 การเลี้ยวเบนของรังสีเอกซ์ของชิ้นงานหลังผ่านการบ่มแข็ง..... | 59 |
| 4.16 ผลของค่าความแข็งของชิ้นงานก่อน และหลังผ่านกรรมวิธีทางความร้อน..... | 60 |
| 4.17 ผลของค่าความแข็งแรงของชิ้นงานก่อน และหลังกรรมวิธีทางความร้อน..... | 61 |
| 4.18 ภาพถ่าย BEI ของโครงสร้างทางจุลภาค และผล EDXS ของชิ้นงานในสภาพหล่อ ที่ผ่านการ ทดสอบแรงดึงจากกล้องจุลทรรศน์อิเล็กตรอนแบบส่องกราด..... | 62 |
| 4.19 ภาพถ่าย BEI ของโครงสร้างทางจุลภาค และผล EDXS ของชิ้นงานหลังผ่านกรรมวิธีทาง ความร้อน ที่ผ่านการทดสอบแรงดึงจากกล้องจุลทรรศน์อิเล็กตรอนแบบส่องกราด..... | 63 |

สารบัญสัญลักษณ์ และอักษรย่อ

As-Cast = ชิ้นงานในสภาพหล่อ

ST 480-4 = ชิ้นงานที่ผ่านการอบละลายที่อุณหภูมิ 480 องศาเซลเซียส เป็นเวลา 4 ชั่วโมง

ST 480-8 = ชิ้นงานที่ผ่านการอบละลายที่อุณหภูมิ 480 องศาเซลเซียส เป็นเวลา 8 ชั่วโมง

ST 500-4 = ชิ้นงานที่ผ่านการอบละลายที่อุณหภูมิ 500 องศาเซลเซียส เป็นเวลา 4 ชั่วโมง

ST 500-8 = ชิ้นงานที่ผ่านการอบละลายที่อุณหภูมิ 500 องศาเซลเซียส เป็นเวลา 8 ชั่วโมง

Ag 160-8 = ชิ้นงานที่ผ่านการบ่มแข็งที่อุณหภูมิ 160 องศาเซลเซียส เป็นเวลา 8 ชั่วโมง

Ag 180-8 = ชิ้นงานที่ผ่านการบ่มแข็งที่อุณหภูมิ 180 องศาเซลเซียส เป็นเวลา 8 ชั่วโมง



บทที่ 1

บทนำ

1.1 ความเป็นมา และความสำคัญของโครงงาน

อะลูมิเนียมเป็นโลหะที่สำคัญได้รับการใช้งานมากที่สุดในกลุ่มโลหะที่มีน้ำหนักเบา (Light Metals) เนื่องจากมีสมบัติเด่นหลายประการ เช่น มีความหนาแน่นน้อย ความแข็งแรงสูง และต้านทานการกัดกร่อนได้ดี จึงเป็นที่นิยมใช้ในอุตสาหกรรมต่างๆ มากมาย โดยเฉพาะอุตสาหกรรมชิ้นส่วนยานยนต์ ผู้ประกอบการรถยนต์จึงให้ความสนใจแผนการพัฒนาการผลิตชิ้นส่วนยานยนต์จากอะลูมิเนียมหล่อแท่นชิ้นส่วนจากเหล็ก (เช华ลิต และวิทยา, 2545)

อะลูมิเนียมผสมหล่อ เกรด A390 ได้ผ่านการขึ้นรูปด้วยวิธีการหล่อแบบแม่พิมพ์ถาวร (Gravity Die Casting) เป็นอะลูมิเนียมผสมหล่อที่นิยมใช้ในงานหล่อผลิตภัณฑ์ต่างๆ โดยทั่วไป การหล่ออะลูมิเนียมผสมหล่อนั้นมักจะพบปัญหามากมายในแง่ของคุณภาพของชิ้นงานหล่อ โดยเฉพาะอย่างยิ่งในส่วนของสมบัติทางกลของอะลูมิเนียมผสมหล่อ ซึ่งสมบัติทางกลนั้นมีความสัมพันธ์กับโครงสร้างทางจุลภาคของชิ้นงาน เนื่องจากอะลูมิเนียมผสมหล่อส่วนใหญ่ เมื่อทำการศึกษาโครงสร้างทางจุลภาค พบร่วมกับฟลูเทกติกอะลูมิเนียม-ซิลิคอนมีสีกษณะเป็นแท่งยาว ปลายแหลม ซึ่งส่งผลต่อสมบัติทางกลของชิ้นงาน ดังนั้นเราจึงต้องทำการปรับปรุงรูปร่างของเฟลูเทกติกอะลูมิเนียม-ซิลิคอนให้มีความกลมมนขึ้น จึงจะทำให้สมบัติทางกลของชิ้นงานนั้นดีขึ้น คือต้องนำชิ้นงานมาผ่านกรรมวิธีทางความร้อนโดยการตกตะกอนของอนุภาคขนาดเล็ก (Precipitation Hardening) (Kori et al., 2000)

ดังนั้นโครงงานวิจัยนี้มีวัตถุประสงค์ เพื่อปรับปรุงโครงสร้างทางจุลภาค และสมบัติทางกลของอะลูมิเนียมผสมหล่อที่ขึ้นรูปโดยวิธีการหล่อแบบแม่พิมพ์ถาวร และผ่านกรรมวิธีทางความร้อนโดยการตกตะกอนของอนุภาคขนาดเล็ก จากการศึกษาโครงงานวิจัยนี้จะก่อให้เกิดความรู้ที่เป็นประโยชน์ ต่ออุตสาหกรรมต่างๆ ที่เกี่ยวข้อง เพื่อให้การผลิต และการนำเอาอะลูมิเนียมผสมไปใช้งานได้อย่างมีประสิทธิภาพมากยิ่งขึ้น

1.2 วัตถุประสงค์ของโครงการ

1.2.1 เพื่อศึกษา และเปรียบเทียบผลของการมีวิธีทางความร้อนที่มีต่อโครงสร้างทางจุลภาค และสมบัติทางกลของอะลูминเนียมผสมหล่อ เกรด A390 ที่ขึ้นรูปโดยวิธีการหล่อแบบแม่พิมพ์การ

1.2.2 เพื่อปรับปรุงโครงสร้างทางจุลภาค และสมบัติทางกลของอะลูминเนียมผสมหล่อ เกรด A390

1.3 เกณฑ์ชี้วัดผลงาน (Output)

1.3.1 โครงสร้างทางจุลภาค และสมบัติทางกลของอะลูминเนียมผสมหล่อ เกรด A390 ที่ขึ้นรูปโดยวิธีการหล่อแบบแม่พิมพ์การก่อนผ่านกรรมวิธีทางความร้อน (As-Cast)

1.3.2 โครงสร้างทางจุลภาค และสมบัติทางกลของอะลูминเนียมผสมหล่อ เกรด A390 ที่ขึ้นรูปโดยวิธีการหล่อแบบแม่พิมพ์การหลังผ่านกรรมวิธีทางความร้อน

1.4 เกณฑ์ชี้วัดผลสำเร็จ (Outcome)

1.4.1 การวิเคราะห์ความสัมพันธ์ระหว่างโครงสร้างทางจุลภาค และสมบัติทางกลของอะลูминเนียมผสมหล่อ เกรด A390 ที่ขึ้นรูปโดยวิธีการหล่อแบบแม่พิมพ์การก่อนผ่านกรรมวิธีทางความร้อน (As-Cast)

1.4.2 การวิเคราะห์ความสัมพันธ์ระหว่างโครงสร้างทางจุลภาค และสมบัติทางกลของอะลูминเนียมผสมหล่อ เกรด A390 ที่ขึ้นรูปโดยวิธีการหล่อแบบแม่พิมพ์การหลังผ่านกรรมวิธีทางความร้อน

1.5 รายละเอียดในการดำเนินโครงการ

1.5.1 วัสดุที่ใช้คือ อะลูминเนียมผสมหล่อ เกรด A390 ที่ขึ้นรูปโดยวิธีการหล่อแบบแม่พิมพ์การและเทที่อุณหภูมิ 750 องศาเซลเซียส

1.5.2 ศึกษาระบบที่ปรับเปลี่ยน กระบวนการหล่อแบบแม่พิมพ์การ ที่อุณหภูมิ 480 และ 500 องศาเซลเซียส เป็นเวลา 4 และ 8 ชั่วโมง จากนั้นหุบหน้าที่อุณหภูมิ 80 องศาเซลเซียส และการบ่มแข็งที่อุณหภูมิ 160 และ 180 องศาเซลเซียส เป็นเวลา 8 ชั่วโมง แล้วปล่อยให้เย็นตัวในอากาศ

1.5.3 ศึกษาโครงสร้างทางจุลภาคด้วยกล้องจุลทรรศน์แบบแสง เพื่อตรวจสอบโครงสร้างทางจุลภาคของชิ้นงาน

1.5.4 ศึกษาลักษณะทางสัณฐานวิทยาด้วยกล้องจุลทรรศน์แบบส่องการดูผ่านทั้งวิเคราะห์ทางองค์ประกอบที่อยู่ในเฟสต่างๆ

1.5.5 ศึกษาโครงสร้างผลึก และชนิดของสารประกอบ ด้วยเทคนิคการเลี้ยวเบนของรังสีเอกซ์

1.5.6 ศึกษาสมบัติทางกลดังต่อไปนี้

- ศึกษาสมบัติทางความแข็ง ด้วยเครื่องทดสอบความแข็งแบบบรินเนลล์
- ศึกษาสมบัติทางความแข็งแรง ด้วยเครื่องทดสอบแรงดึง

1.6 สถานที่ในการดำเนินโครงการ

อาคารปฏิบัติการวิศวกรรมอุตสาหการ และวิศวกรรมเครื่องกล คณะวิศวกรรมศาสตร์
มหาวิทยาลัยนเรศวร

ห้องปฏิบัติการภาควิชาพิสิกส์ คณะวิทยาศาสตร์ มหาวิทยาลัยนเรศวร

1.7 ระยะเวลาในการดำเนินโครงการ

มิถุนายน 2553 – เมษายน 2554

1.8 ขั้นตอน และแผนการดำเนินโครงการ

ตารางที่ 1.1 ขั้นตอน และแผนการดำเนินโครงการ

| ลำดับ | การดำเนินงาน | ปี พ.ศ. 2553 | | | | | | | ปี พ.ศ. 2554 | | | |
|-------|---|--------------|------|------|------|------|------|------|--------------|------|-------|-------|
| | | ม.ย. | ก.ค. | ส.ค. | ก.ย. | ต.ค. | พ.ย. | ธ.ค. | ม.ค. | ก.พ. | มี.ค. | เม.ย. |
| 1 | ทำการเสนอหัวข้อโครงการ | ↔ | | | | | | | | | | |
| 2 | ศึกษาหาข้อมูลทั่วไปของ อะลูมิเนียมผสมหล่อ เกรด A390 | | ↔ | | | | | | | | | |
| 3 | ศึกษาระบบทิฐทางความ ร้อนที่มีผลต่ออะลูมิเนียม ผสมหล่อ เกรด A390 | | | ↔ | ↔ | | | | | | | |
| 4 | จัดทำวัสดุต้น และ จัดเตรียมเครื่องมือ ที่ใช้ในการทดลอง | | | | | ↔ | | | | | | |

ตารางที่ 1.1 (ต่อ) ขั้นตอน และแผนการดำเนินโครงการ

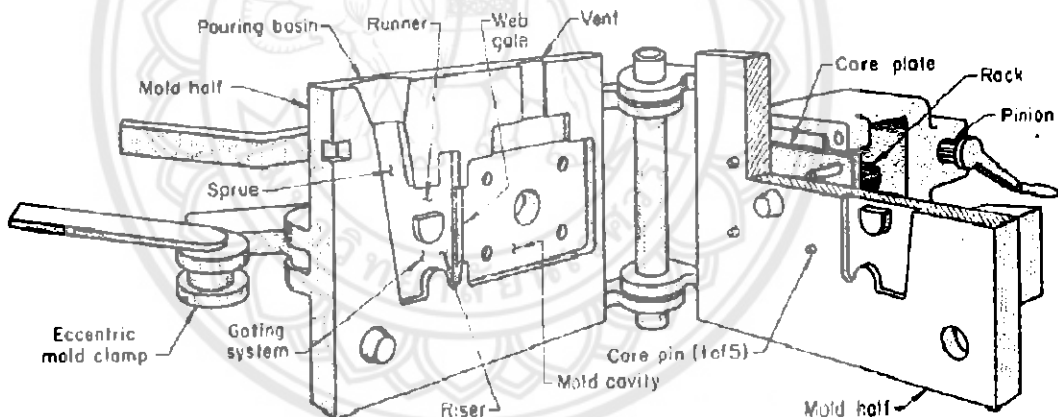
| ลำดับ | การดำเนินงาน | ปี พ.ศ. 2553 | | | | | | | ปี พ.ศ. 2554 | | | |
|-------|--|--------------|------|------|------|------|------|------|--------------|------|-------|-------|
| | | มิ.ย. | ก.ค. | ส.ค. | ก.ย. | ต.ค. | พ.ย. | ธ.ค. | ม.ค. | ก.พ. | มี.ค. | เม.ย. |
| 5 | ทำกรรมวิธีทางความร้อน โดยการตกตะกอนของ อนุภาคขนาดเล็กโดยการ อบละลาย และการบ่มแข็ง | | | | | | | ↔ | | | | |
| 6 | - ศึกษาโครงสร้างทาง จุลภาคด้วยกล้องจุลทรรศน์ แบบแสง - ศึกษาลักษณะทางสัณฐาน วิทยาด้วยกล้องจุลทรรศน์ อิเล็กตรอนแบบส่องการดู - ศึกษาโครงสร้างผลึก และ ชนิดของสารประกอบด้วย เทคนิคการเลี้ยวเบนของ รังสีเอกซ์ | | | | | | | | ↔ | | | |
| 7 | ทดสอบสมบัติทางกล - ทดสอบความแข็ง - ทดสอบความแข็งแรง | | | | | | | | ↔ | | | |
| 8 | วิเคราะห์ และสรุปผลการ ทดลอง | | | | | | | | ↔ | ↔ | | |
| 9 | จัดทำรายงาน | | | | | | | | | ↔ | | |

บทที่ 2

หลักการ และทฤษฎีเบื้องต้น

2.1 การหล่อแบบแม่พิมพ์ถาวร (Gravity Die Casting)

การหล่อแบบแม่พิมพ์ถาวร เป็นการหล่อโดยให้น้ำโลหะลงในแม่พิมพ์โดยใช้ประ予以ช์น์จากแรงโน้มถ่วงของโลก โดยให้น้ำโลหะไหลผ่านไปตามช่องว่าง (Cavity) ในแม่พิมพ์ ตามลักษณะรูปแบบที่ต้องการ แบบแม่พิมพ์โดยมากทำจากเหล็กหล่อสีเทา เหล็กกล้า บอร์นซ์ แกรไฟต์ หรือวัสดุชนิดอื่น ซึ่งส่วนที่ผลิตมาจากแบบหล่อถาวรประกอบด้วย ลูกสูบเครื่องยนต์ หัวระบบอกรูป ตลอดจนชิ้นส่วนของเครื่องใช้ไฟฟ้า เป็นต้น ลักษณะของแบบหล่อถาวรอาจเป็นอย่างๆ ที่มีระบบการทำงานด้วยมือ ดังแสดงดังรูปที่ 2.1 ก) เป็นแบบที่มีการทำงานที่ซับซ้อน โดยสามารถปิด-เปิดแบบได้บนฐานรองที่ออกแบบกลไกให้เลื่อนเข้า-ออกได้สะดวก แสดงดังรูปที่ 2.1 ข) การหล่อลักษณะนี้ช่วยประหยัดต้นทุนในการผลิต เนื่องจากสามารถใช้งานทั่วๆ ไป (ณรงค์ศักดิ์, 2553)

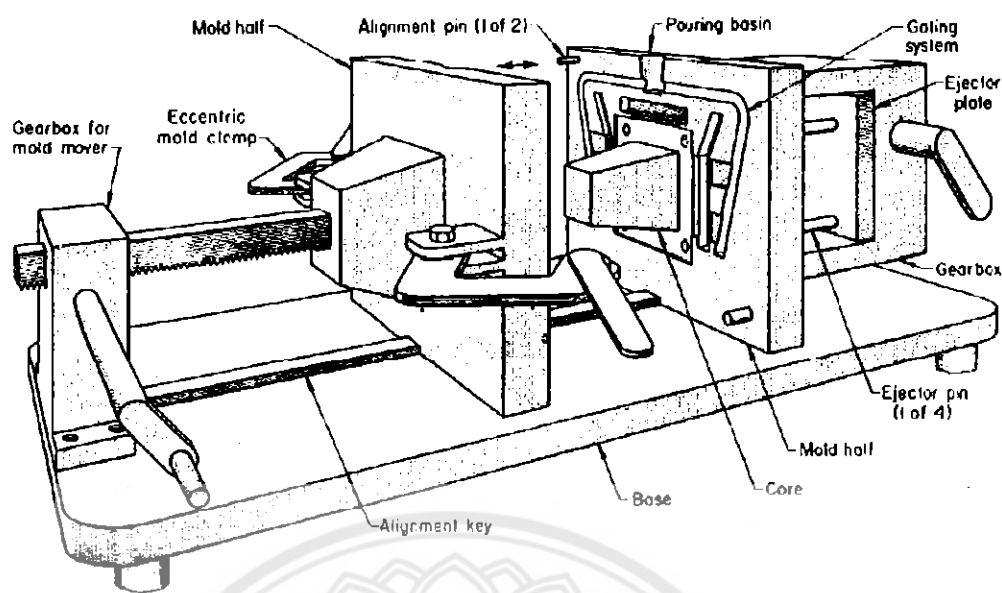


ก)

รูปที่ 2.1 แบบหล่อแม่พิมพ์ถาวร

ก) แบบปิด-เปิดอย่างง่าย

ที่มา : ณรงค์ศักดิ์ (2553)



x)

รูปที่ 2.1 (ต่อ) แบบหล่อแม่พิมพ์ถาวร

ข) แบบเลื่อนปิด-เปิดบนฐานรอง

ที่มา : ณรงค์ศักดิ์ (2553)

2.2 อะลูมิเนียมผสมหล่อ

อะลูมิเนียมผสมเป็นโลหะที่ได้รับการใช้งานมากที่สุดในกลุ่มโลหะที่มีน้ำหนักเบา ทั้งนี้ เพราะอะลูมิเนียมผสมมีสมบัติเด่นหลายประการ เช่น มีความหนาแน่นน้อย และความแข็งแรงสูง สามารถขึ้นรูปด้วยกรรมวิธีต่างๆ ได้ง่าย จุดหลอมเหลวต่ำ หดломง่าย และมีอัตราการไหลตัวสูง ไม่เป็นพิษต่อร่างกายมนุษย์ ทนทานต่อการเกิดสนิม และการกัดกร่อนในบรรยากาศได้ดี แต่ไม่ทนการกัดกร่อนต่อกรด และด่าง หาซื้อด้วยง่าย และราคาไม่แพงมากนัก (พยูร, 2523)

2.2.1 การจำแนกประเภทของอะลูมิเนียมผสม

โดยทั่วไปแล้วเราสามารถจำแนกอะลูมิเนียมผสมออกได้เป็น 2 ประเภทใหญ่ ๆ คือ

2.2.1.1 อะลูมิเนียมผสมประเภทขี้นรูป (Wrought Aluminum Alloy) เป็นโลหะผสมที่ต้องผ่านการแปรรูปแบบพลาสติก เช่น การรีดขึ้นรูปเป็นแผ่น หรือเป็นแท่ง

2.2.1.2 อะลูมิเนียมผสมประเภทหล่อ (Cast Aluminum Alloy) มีสมบัติการไหลที่ดี ชาตุผสมที่สำคัญ ได้แก่ ชิลิคอน เนื่องจากชิลิคอนเพิ่มความสามารถในการไหล และต้านทานการแทรกซึมของงานหล่อได้ดี

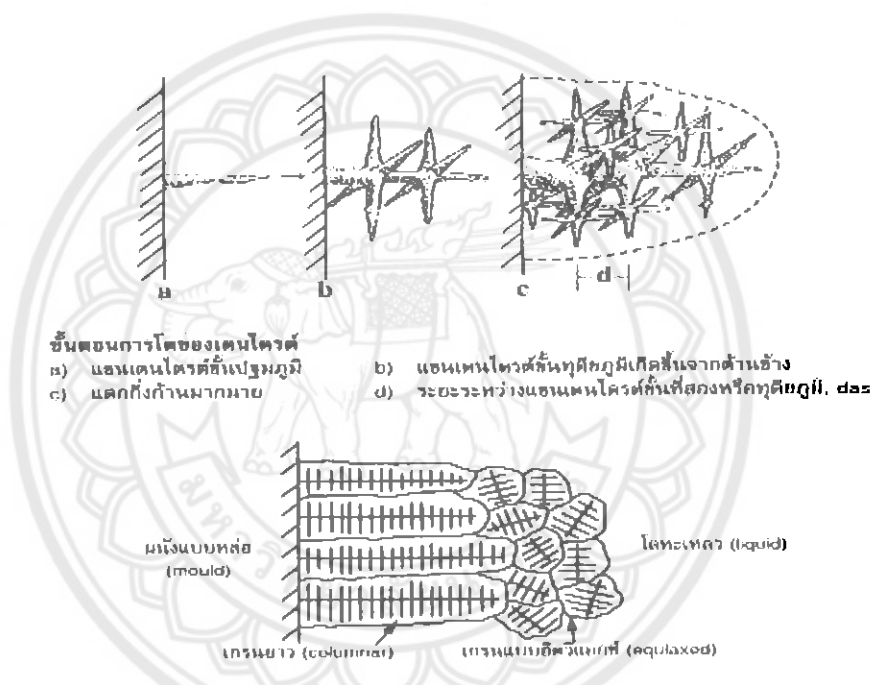
2.2.2 การควบคุมโครงสร้างทางจุลภาคของอัลูมิเนียมผสม

ปัจจัยที่ควบคุมสมบัติของอัลูมิเนียมผสมมี 2 ประการ คือ

2.2.2.1 ขนาด และรูปร่างของเกรน (Grain Size and Shape)

2.2.2.2 ระยะห่างระหว่างแขนเดนไดร์ททุติยภูมิ (Secondary Dendrite Arm Spacing)

ระยะห่างระหว่างแขนเดนไดร์ททุติยภูมิเป็นตัวกำหนดการกระจายตัวของสารประกอบ (Intermetallic Compound) ที่อยู่ระหว่างแขนของเดนไดร์ท และการกระจายตัวของโพรงหดตัวระหว่างเดนไดร์ท ซึ่งการเติบโตของผลึก และโครงสร้างของเกรนในอัลูมิเนียมผสมหล่อ (ธนากรณ์ และคณะ, 2543) แสดงดังรูปที่ 2.2



รูปที่ 2.2 แบบจำลองการเติบโตของผลึก (Dendritic Growth) และโครงสร้างของเกรน
อะลูมิเนียมผสมหล่อ

ที่มา : ธนากรณ์ และคณะ (2543)

2.2.3 โครงสร้างทางจุลภาคของอัลูมิเนียมผสม

โลหะอะลูมิเนียมผสมเป็นที่รู้จัก และนิยมใช้งานกันอย่างแพร่หลายทั่วโลก โดยเฉพาะในงานหล่อชิ้นรูป เนื่องจากมีอุณหภูมิหลอมเหลวต่ำ ไม่ละลายกับชาต่างๆ ยกเว้นไฮโดรเจน มีการไหลตัวดีมาก ส่งผลให้ผิวของงานหล่อ มีความเรียบ滑 แต่ก็มีปัญหาเรื่องการหดตัวของเดนไดร์ทประมาณร้อยละ 3.5-8.5 ในระหว่างการแข็งตัว ทำให้รูพรุนเกิดขึ้นภายในชิ้นงาน ในอะลูมิเนียมผสมมีการเติมธาตุหลายตัวลงในอะลูมิเนียม เพื่อปรับสมบัติทางกลให้ดีขึ้น (Polmear, 1989) ทั้งนี้ขึ้นอยู่กับความสามารถของการละลายของธาตุนั้นๆ ในโลหะอะลูมิเนียมด้วย สมาคมอะลูมิเนียมแห่งสหรัฐอเมริกาได้

แบ่งโลหะอะลูมิเนียมหล่อผสมตามรากผุสมที่เติมเข้าไปในโลหะอะลูมิเนียม และตั้งรหัสสำหรับรากผุสมกลุ่มนี้ๆ โดยให้ตัวเลขตัวแรกของรหัสแสดงถึงรากผุสมหลักที่เติมเข้าไปในโลหะอะลูมิเนียมผสมดังนี้

1xx.x เป็นโลหะหล่ออะลูมิเนียมที่ไม่มีการเติมรากผุสมใดเข้าไปเลย มีอะลูมิเนียมเท่ากับร้อยละ 99.0 โดยน้ำหนัก หรือมากกว่า

2xx.x มีทองแดงเป็นรากผุสมหลัก

3xx.x มีชิลิค่อน และแมกนีเซียม หรือทองแดงเป็นรากผุสมหลัก

4xx.x มีชิลิค่อนเป็นรากผุสมหลัก

5xx.x มีแมกนีเซียมเป็นรากผุสมหลัก

6xx.x มีแมกนีเซียม และชิลิค่อนเป็นรากผุสมหลัก

7xx.x มีสังกะสีเป็นรากผุสมหลัก

8xx.x มีดีบุกเป็นรากผุสมหลัก

9xx.x มีธาตุอื่นๆ เป็นรากผุสมหลัก

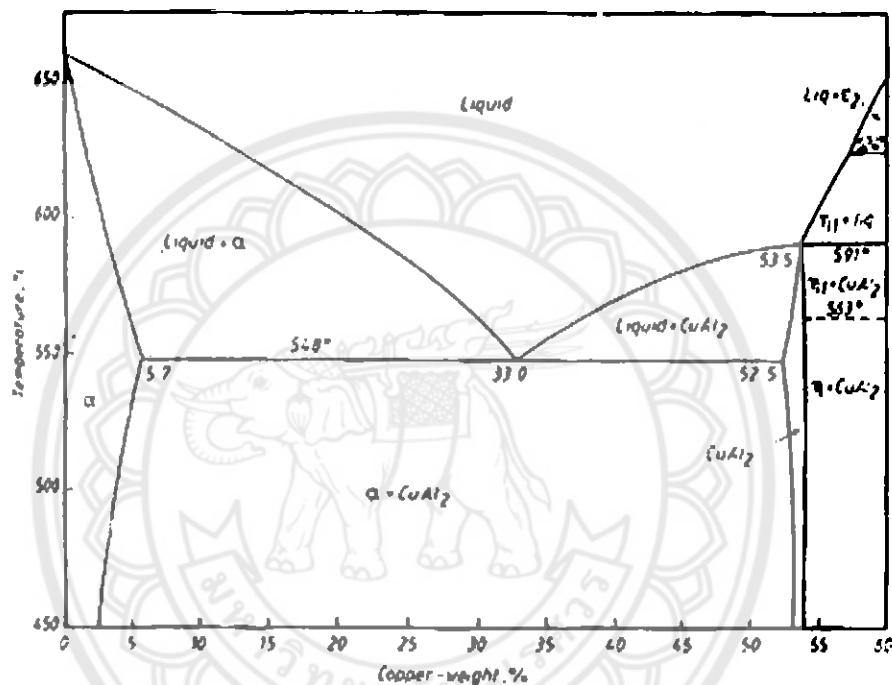
ในกลุ่ม 1xx.x ตัวเลขลำดับที่ 2 จากทางซ้ายมือแสดงปริมาณอะลูมิเนียมอย่างต่อไปในโลหะอะลูมิเนียมหล่อผสม เช่น โลหะอะลูมิเนียมหล่อผสมรหัส 190.x จะมีอะลูมิเนียมร้อยละ 99.90 โดยน้ำหนัก ในกลุ่ม 2xx.x ถึง 9xx.x ตัวเลขลำดับที่จากซ้ายไม่มีความสำคัญแต่อย่างใด แต่ช่วยในการบ่งชี้รากผุสมที่แตกต่างกันในกลุ่ม ส่วนตัวเลขหลังจุดเดินนัยมบอกรักษณะของผลิตภัณฑ์ เช่น 1 จะหมายถึงผลิตภัณฑ์อะลูมิเนียมอินกือต (Ingot) (ธนารณ์, 2547)

2.2.4 ชนิดของอะลูมิเนียมผสม มี 4 ประเภทหลัก ๆ ได้แก่

2.2.4.1 โลหะหล่อผสมอะลูมิเนียม-ทองแดง

ทองแดงเป็นโลหะที่มีระบบผลึกเป็น FCC เหมือนกับอะลูมิเนียม จึงสามารถละลายได้ดีในอะลูมิเนียม (มนส., 2541) จากแผนภาพวัสดุภาคของอะลูมิเนียม-ทองแดง แสดงดังรูปที่ 2.3 ทองแดงสามารถละลายในอะลูมิเนียมได้ถึงร้อยละ 5.7 โดยน้ำหนัก ที่อุณหภูมิ 548 องศาเซลเซียส ความสามารถของการละลายลดลงเมื่ออุณหภูมิต่ำลง โดยสามารถได้เพียงร้อยละ 0.1-0.2 โดยน้ำหนัก ที่อุณหภูมิ 250 องศาเซลเซียส โลหะหล่อผสมอะลูมิเนียม-ทองแดงเป็นกลุ่มที่มีการใช้กันอย่างกว้างขวางในอดีต แต่ปัจจุบันมีปริมาณการใช้ลดลง เนื่องจากนำโลหะผสมอะลูมิเนียม-ชิลิค่อนมาแทน ซึ่งมีสมบัติทางด้านงานหล่อติดกันว่าโลหะหล่อผสมอะลูมิเนียม-ทองแดง ส่วนใหญ่มีปัญหาเรื่องการแตกขณะร้อน (Hot-Tear) และมีรูพรุขนาดเล็กอยู่มาก เนื่องจากการหดตัวของโครงสร้างทางชั้นภายนอกจากนี้ความสามารถในการโหลดตัวของน้ำโลหะค่อนข้างต่ำ การขึ้นรูปจึงต้องอาศัยแรงดันซี่วายการเคลื่อนที่ของน้ำโลหะ หรือออกแบบช่องทางเดินน้ำโลหะให้กว้าง และเพื่อรักษาให้ติด และมีประสิทธิภาพด้วย อย่างไรก็ตามโลหะหล่อผสมอะลูมิเนียม-ทองแดง สามารถตอบสนองต่อการปรับ

สภาพได้ดี เช่น โลหะหล่อผสมอะลูมิเนียม-ทองแดง รหัส 201 มีองค์ประกอบ Al-4.7Cu-0.7Ag-0.3Mg โดยเมื่อผ่านการบ่มแข็งแล้วเกิดตกตะกอนเป็นเฟส θ (CuAl_2) ซึ่งเป็นแผ่นบางๆ มีโครงสร้างผลึกแบบออร์โทромบิก วางตัวในแนวระนาบ {1 1 1} ของโครงสร้างพื้น ส่งผลให้มีค่าความต้านทานแรงดึงสูงถึง 550 เมกะปاسคาล (Polmear, 1989) ซึ่งสูงกว่าค่าความต้านแรงดึงของโลหะหล่อผสมอะลูมิเนียม-ชิลิคอน โลหะกลุ่มนี้นำไปใช้ผลิตเครื่องจักร และอุปกรณ์ประกอบไฮดรอลิก (ธนากรณ์, 2547)

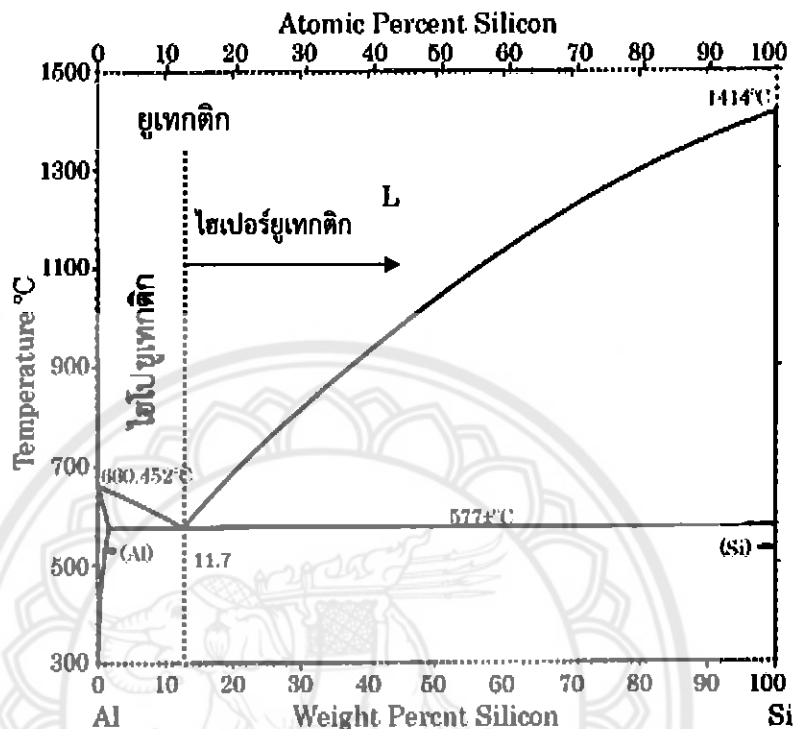


รูปที่ 2.3 แผนภาพวัฏภากของโลหะผสมอะลูมิเนียม-ทองแดง
ที่มา : King (1987)

2.2.4.2 โลหะหล่อผสมอะลูมิเนียม-ชิลิคอน

เนื่องจากชิลิคอนมีระบบผลึก และจุดหลอมเหลว ที่แตกต่างจากอะลูมิเนียมจึงทำให้ค่อนข้างมีข้อจำกัดในการรวมตัวอยู่มาก (มนัส, 2541) แสดงดังรูปที่ 2.4 เกิดปฏิกิริยาญูเทกติกที่อุณหภูมิ 577 องศาเซลเซียส ณ ส่วนผสมชิลิคอนร้อยละ 11.7 โดยน้ำหนัก ที่อุณหภูมิเดียวกัน ชิลิคอนสามารถละลายในอะลูมิเนียมได้เพียงร้อยละ 1.65 โดยน้ำหนัก และลดเหลือเพียงร้อยละ 0.05-0.008 โดยน้ำหนัก ที่อุณหภูมิ 250 องศาเซลเซียส (King, 1987) โลหะอะลูมิเนียม-ชิลิคอน ใช้ในการหล่อขึ้นรูปมากถึงร้อยละ 85-90 ของโลหะหล่อผสมอะลูมิเนียมทั้งหมด (อุมาრินทร์, 2548) เนื่องจากมีความสามารถในการหล่อตัวสูง โดยเฉพาะอย่างยิ่งเมื่อส่วนผสมเข้าใกล้ยูเทกติก นอกจากนี้ ข้อได้เปรียบของโลหะหล่อผสมกลุ่มนี้คือ ต้านทานการกัดกร่อนได้สูง ความสามารถทางการเชื่อมต่อ และชิลิคอนมีค่าสัมประสิทธิ์การขยายตัวต่ำ (Polmear, 1989) โครงสร้างของโลหะหล่อผสม

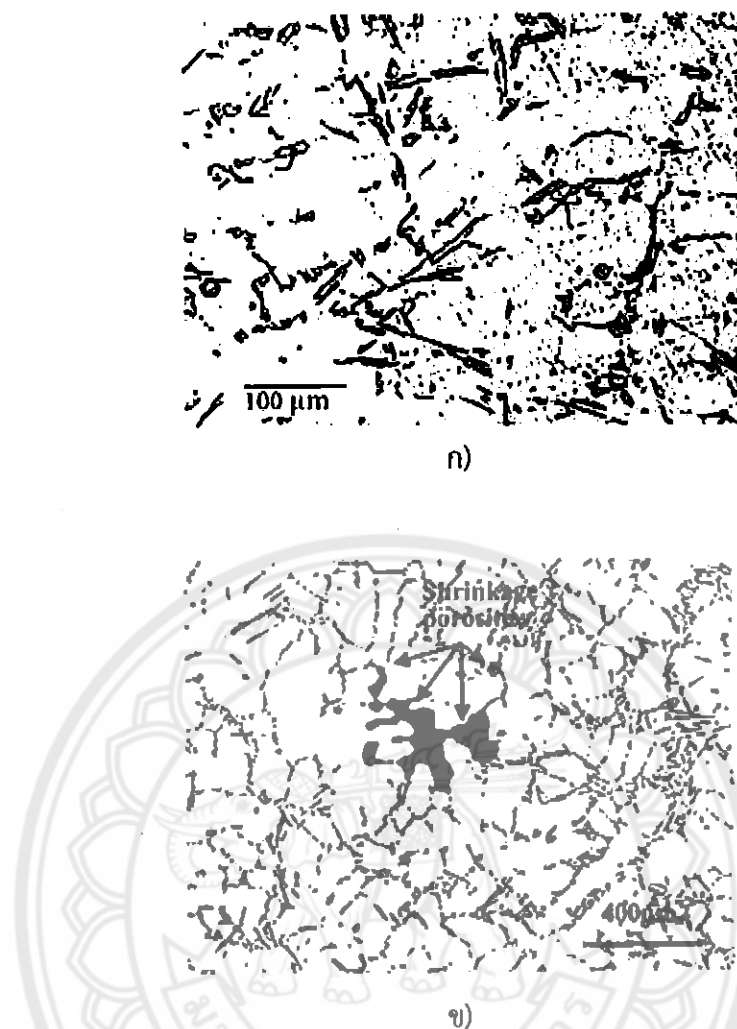
อะลูมิเนียม-ชิลิคอนแบ่งการศึกษาออกเป็น 3 ช่วงตามองค์ประกอบของชิลิคอน แสดงดังรูปที่ 2.4 ได้แก่ ไฮเปอร์ยูเทกติก ยูเทกติก และไฮเปอร์ยูเทกติก



รูปที่ 2.4 แผนภาพวัฏภากของอะลูมิเนียม-ชิลิคอน แสดงบริเวณที่มีองค์ประกอบเป็นไฮเปอร์ยูเทกติก ยูเทกติก และไฮเปอร์ยูเทกติก

ที่มา : Abd El-Salam et al. (2010)

ก. โครงสร้างในอะลูมิเนียมหล่อผสมอะลูมิเนียม-ชิลิคอนแบบไฮเปอร์ยูเทกติก
โลหะผสมอะลูมิเนียมที่มีองค์ประกอบแบบไฮเปอร์ยูเทกติกของอะลูมิเนียม-ชิลิคอน มีส่วนผสมของชิลิคอนต่ำกว่าร้อยละ 11.7 ซึ่งจะประกอบด้วยเพสปูร์มภูมิของอะลูมิเนียมที่ทยาน มีลักษณะการตกองเด่นไดร์ทในทุกทิศทุกทาง และมีโครงสร้างของยูเทกติกชิลิคอนที่มีลักษณะเป็นแผ่นแทรกตัวอยู่ระหว่างเด่นไดร์ท (ดังรูปที่ 2.5 ก) เนื่องจากโลหะผสมกลุ่มนี้มีช่วงการแข็งตัวกว้าง จึงสามารถพิ่งไฟที่เกิดจากการหดตัวของเด่นไดร์ทกระจายอยู่ทั่วไปในชิ้นงาน แสดงดังรูป 2.5 ข) โครงสร้างที่ทยานทำให้สมบัติทางกลไม่ดีนัก โลหะไฮเปอร์ยูเทกติก (Hypoeutectic) 2 ธาตุของโลหะผสมอะลูมิเนียม-ชิลิคอน จึงไม่เป็นที่นิยมมากนัก เนื่องจากมีข้อจำกัดของสมบัติทางกลอยู่มาก มักมีการผสมทองแดง หรือแมกนีเซียมเข้าไปด้วย เพื่อให้สามารถเพิ่มความแข็งแรงด้วยวิธีการตกตะกอนได้



รูปที่ 2.5 โครงสร้างทางจุลภาคของโลหะอะลูมิเนียมหล่อผสมแบบไฮเปิร์ยูเทกติก

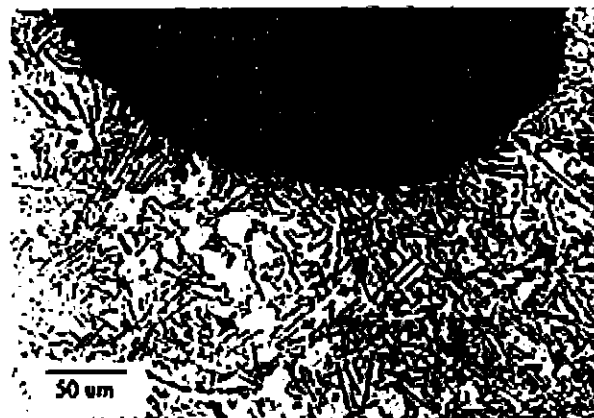
ก) ชิลิค่อนผสมร้อยละ 7 โดยน้ำหนัก (Pearce, 2548)

ข) ชิลิค่อนผสมร้อยละ 5 โดยน้ำหนัก (Ran et al., 2006)

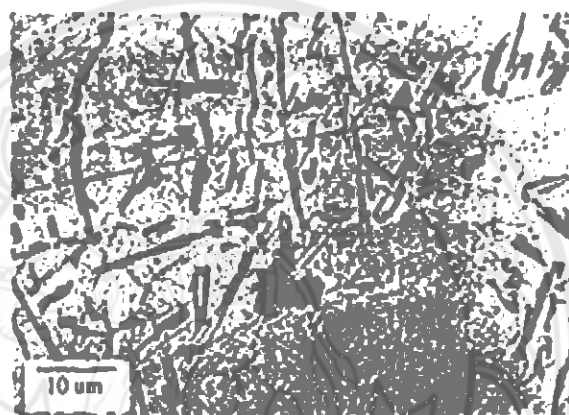
ที่มา : Pearce (2548) และ Ran et al. (2006)

๔. โครงสร้างในอะลูมิเนียมหล่อผสมอะลูมิเนียม-ชิลิค่อนแบบยูเทกติก

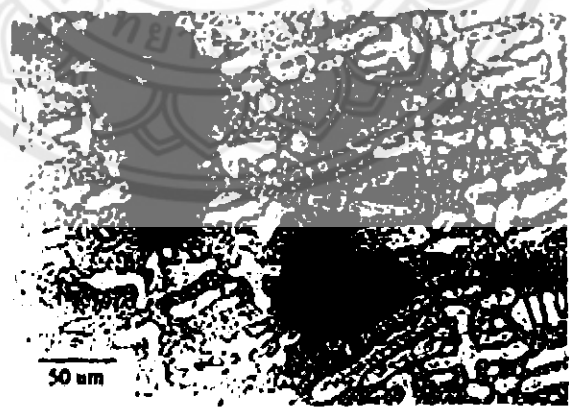
โลหะอะลูมิเนียมหล่อผสมแบบยูเทกติกของอะลูมิเนียม-ชิลิค่อน มีส่วนผสมของชิลิค่อนประมาณร้อยละ 11.7 ไม่สามารถเพิ่มความแข็งแรงจากการตกตะกอนได้ จึงต้องมีการเติมโลหะเจืออื่นๆ การเติมธาตุแมกนีเซียม หรือทองแดง เพื่อที่จะสามารถผ่านกรรมวิธีทางความร้อนได้ และทนต่อการกัดกร่อน โลหะอะลูมิเนียมหล่อผสมแบบยูเทกติกมีลักษณะของยูเทกติกชิลิค่อนที่ค่อนข้างหยาบ แสดงดังรูปที่ 2.6 ก) และ ข) แต่สามารถปรับขนาดให้ละเอียดขึ้นได้ โดยการเติมธาตุโซเดียม หรือสตรอรอนเซียมในน้ำโลหะเพียงร้อยละ 0.01-0.015 โดยน้ำหนัก จะทำให้จุดยูเทกติกเลื่อนจากร้อยละ 11.7 โดยน้ำหนักไปเป็นชิลิค่อนร้อยละ 13 โดยน้ำหนัก เพื่อหลีกเลี่ยงการเกิดชิลิค่อน-ปัตตูมภูมิ และทำให้ยูเทกติกชิลิค่อนละเอียดขึ้น แสดงดังรูปที่ 2.6 ค) และ ง)



(a)



(b)

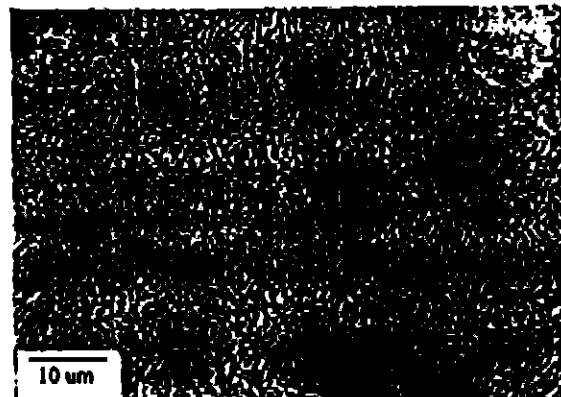


(c)

รูปที่ 2.6 โครงสร้างยูเทกติกของโลหะหล่อผสมอะลูมิเนียม-ซิลิคอน

- ก) ไม่ได้รับการปรับขนาดยูเทกติกซิลิคอน
- ข) ภาพถ่ายผลึกยูเทกติกซิลิคอนขนาดใหญ่
- ค) โครงสร้างที่ปรับปรุงขนาดของยูเทกติกซิลิคอนให้ละเอียดขึ้น

ที่มา : Cornell and Bhadeshia (1999)



ก)

รูปที่ 2.6 (ต่อ) โครงสร้างขุ้นเทกติกของโลหะหล่อผสมอะลูมิเนียม-ชิลิคอน

ก) ภาพถ่ายขยายผลักขุ้นเทกติกชิลิคอนหลังการปรับปรุง

ที่มา : Cornell and Bhadeshia (1999)

ก. โครงสร้างในอะลูมิเนียมหล่อผสมอะลูมิเนียม-ชิลิคอนแบบไฮเปอร์ยูเทกติก
โลหะอะลูมิเนียมหล่อผสมแบบไฮเปอร์ยูเทกติกของอะลูมิเนียม-ชิลิคอน
มีชิลิคอนอยู่มากกว่าร้อยละ 11.7 มีสมบัติทนต่อการเสียดสีได้ดี และมีค่าการขยายตัวเพราความ
ร้อนต่ำ ดังนั้นจึงมักนำไปใช้งานประเภทลูกสูบที่มีการสันดาปภายใน และเสือสูบเครื่องยนต์รถที่ผลิต
ด้วยการหล่อในแม่พิมพ์ถาวร ซึ่งใช้ได้โดยไม่ต้องมีปลอกสูบเหล็ก โครงสร้างทางจุลภาคของโลหะ
อะลูมิเนียมหล่อผสมที่มีองค์ประกอบไฮเปอร์ยูเทกติกมีลักษณะของชิลิคอนปฐมภูมิที่ทยานจึงมีการ
เติมพ้อสฟอรัส เพื่อลดขนาดของชิลิคอนปฐมภูมิให้ลະเอียดขึ้น แสดงดังรูปที่ 2.7

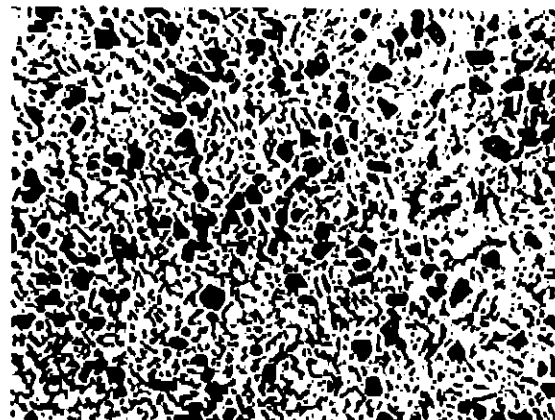


ก)

รูปที่ 2.7 โครงสร้างไฮเปอร์ยูเทกติกของโลหะหล่อผสมอะลูมิเนียม-ชิลิคอน ($\times 100$ เท่า)

ก) ไม่ได้รับการปรับขนาดชิลิคอนปฐมภูมิ

ที่มา : Polmear (1989)



(ก)

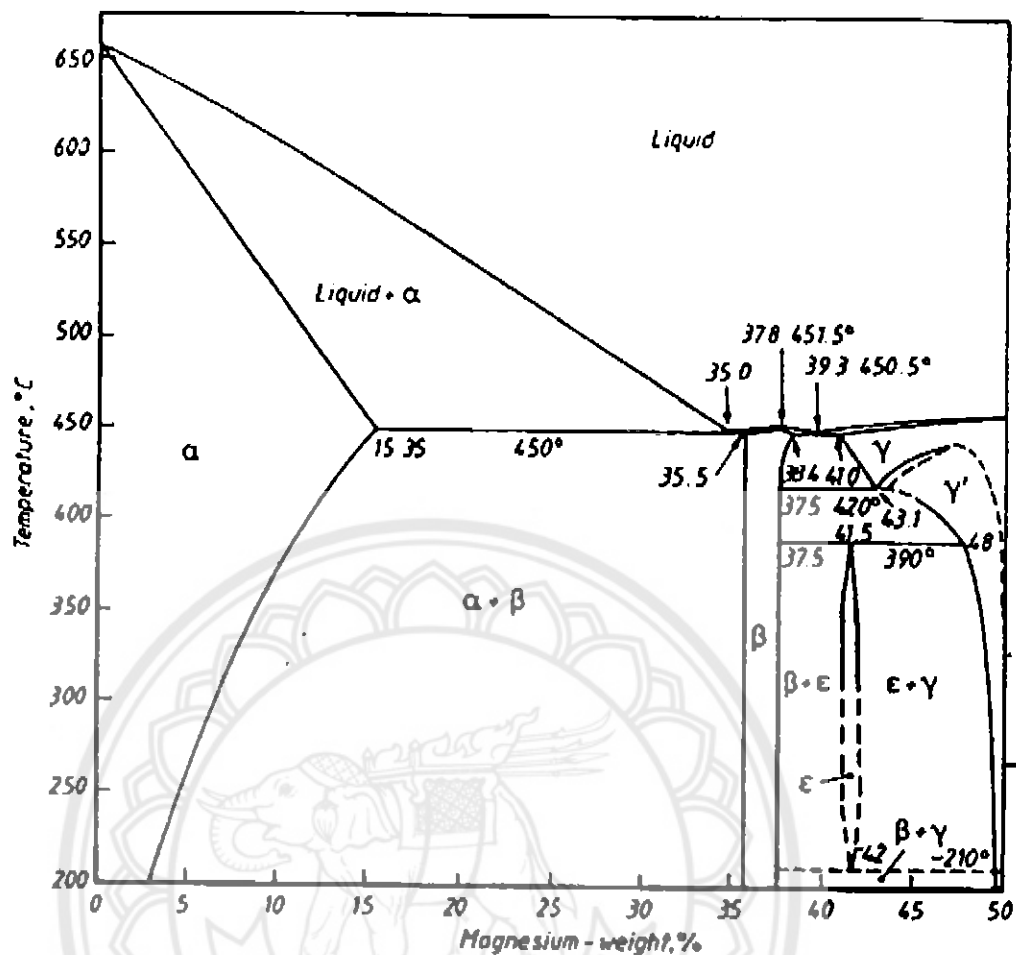
รูปที่ 2.7 (ต่อ) โครงสร้างไออกซ์เทกติกของโลหะหล่อผสมอะลูมิเนียม-ชิลิคอน ($\times 100$ เท่า)

ข) โครงสร้างที่เติมฟอสฟอรัสเพื่อปรับขนาดของชิลิคอนปฐมให้ลະເອຍຕື່ນ

ที่มา : Polmear (1989)

2.2.4.3 โลหะหล่อผสมอะลูมิเนียม-แมกนีเซียม

แมกนีเซียมเป็นโลหะที่มีน้ำหนักเบา และมีจุดหลอมเหลวต่ำอยู่ในช่วงเดียว กับอะลูมิเนียมมีค่า 651 องศาเซลเซียส แต่เนื่องจากมีระบบผลึกเป็นรูปเอกซ์โගนอล จึงทำให้การละลายในอะลูมิเนียมได้เพียงร้อยละ 3 โดยน้ำหนัก และได้สูงสุดร้อยละ 15.35 โดยน้ำหนักที่อุณหภูมิ 450 องศาเซลเซียส ซึ่งเป็นอุณหภูมิยูเทกติก ส่วนประกอบยูเทกติกมีแมกนีเซียมเท่ากับแมกนีเซียมร้อยละ 35 โดยน้ำหนัก โครงสร้างประกอบด้วยเฟส α -Al และ β -Mg₂Al₃ แสดงดังรูปที่ 2.8 (King, 1987) จากแผนภาพวัฏภาคสังเกตได้ว่า ค่าการละลายของแมกนีเซียมลดลงมาก เมื่ออุณหภูมิลดต่ำลง ดังนั้นจึงมีแนวโน้มที่จะตอบสนองต่อการอบชุบด้วยความร้อนเพื่อให้เกิดการตกตะกอนเพิ่มความแข็งได้ดี แต่โลหะหล่อผสมอะลูมิเนียม-แมกนีเซียม มีสมบัติทางด้านการหล่อไม่ดี เมื่อเทียบกับโลหะอะลูมิเนียม-ชิลิคอน (มนัส, 2541) จึงมีการใช้งานโลหะผสมแบบสามองค์ประกอบซึ่งจะได้กล่าวต่อไปนี้



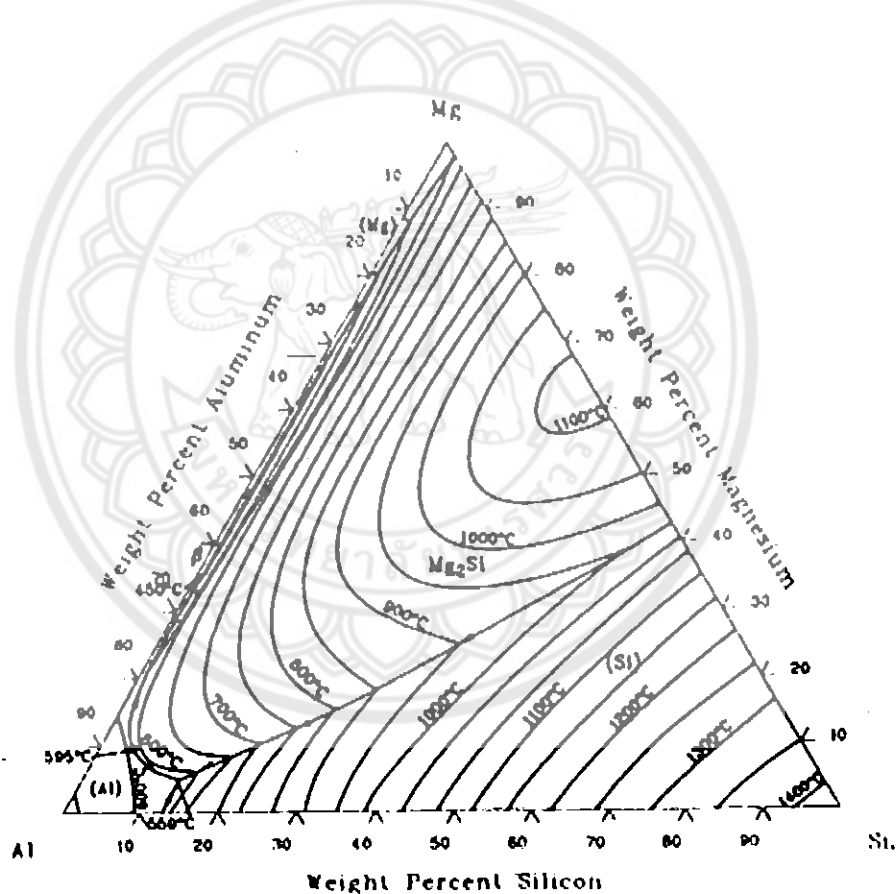
รูปที่ 2.8 แผนภาพวัฏภากของโลหะผสมอะลูมิเนียม-แมกนีเซียม

ที่มา : King (1987)

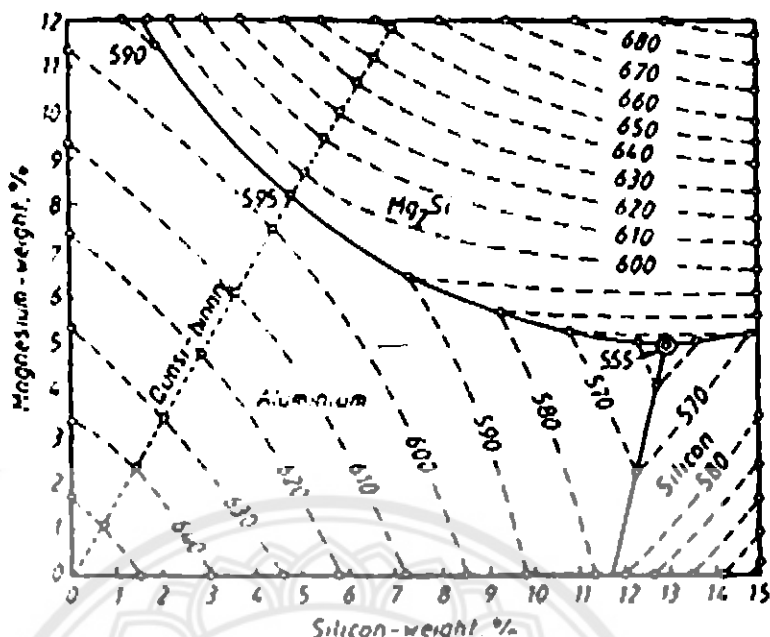
2.2.4.4 โลหะหล่อผสมอะลูมิเนียม-แมกนีเซียม-ซิลิคอน

โลหะหล่อผสมอะลูมิเนียม-แมกนีเซียม-ซิลิคอน เป็นโลหะผสมที่มีสมบัติด้านการหล่อตื้น และสามารถตอบสนองต่อการอบชุบแข็งด้วยความร้อนได้ดีอีกด้วย ซึ่งเป็นการรวมเอาสมบัติที่ดีของโลหะหล่อผสมอะลูมิเนียม-แมกนีเซียม และโลหะหล่อผสมอะลูมิเนียม-ซิลิคอน เข้าด้วยกัน เมื่อพิจารณาระหว่างแมกนีเซียมกับซิลิคอนแล้ว ปรากฏว่าจะรวมตัวกันเกิดเป็นสารประกอบระหว่างโลหะคือ แมกนีเซียมซิลิไซด์ (Mg_2Si) ที่มีซิลิคอนร้อยละ 37 โดยน้ำหนัก และช่วยปรับปรุงสมบัติทั้งด้านงานหล่อ และอบชุบแข็งด้วยความร้อนอีกด้วย (มนส, 2541) จากแผนภาพวัฏภากแบบองค์ประกอบสาม แสดงพื้นผิวลิกวิดัส (Liquidus Surface) ดังรูปที่ 2.9 จะสังเกตเห็นว่า โลหะหล่อผสมอะลูมิเนียม-แมกนีเซียม-ซิลิคอน สารประกอบทั้งสามธาตุจะไม่รวมกัน จะมีเพียงสารประกอบระหว่างโลหะของแมกนีเซียมซิลิไซด์เท่านั้น จากภาพขยายพื้นผิวลิกวิดส์บริเวณที่มีองค์ประกอบของอะลูมิเนียมสูงดังรูปที่ 2.10 จะเห็นว่าจุดยูเทกติกอยู่ที่อุณหภูมิ 595 องศาเซลเซียส บนเส้นสององค์ประกอบเทียม (Quasi-Binary) ประกอบด้วยแมกนีเซียมร้อยละ 8.15 โดยน้ำหนัก และซิลิคอน

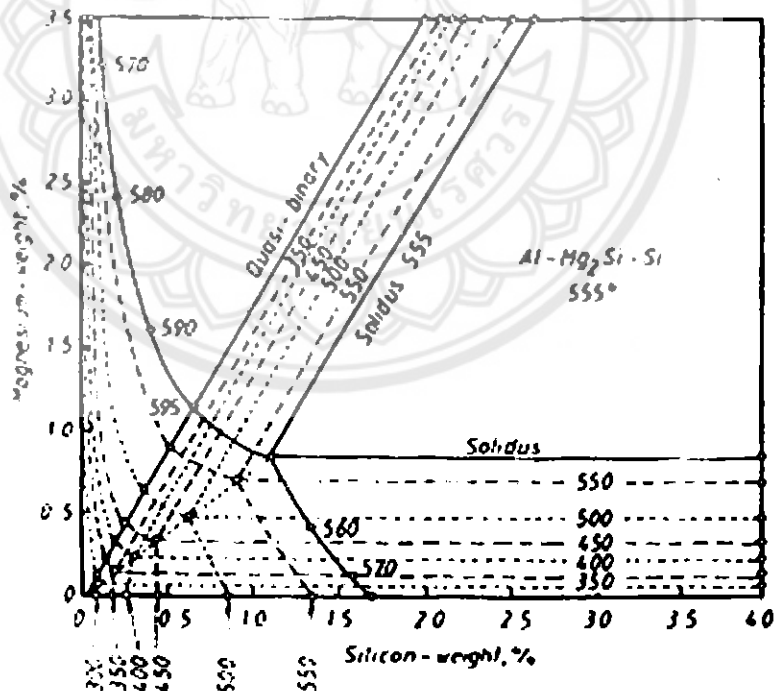
ร้อยละ 4.75 โดยน้ำหนัก จุดยูเทกติกของระบบสามองค์ประกอบบนพื้นผิวโลหะวิดัส ซึ่งประกอบไปด้วยเฟสของอะลูมิเนียม แมกนีเซียมชิลไชร์ด และชิลิคอนเกิดที่อุณหภูมิ 555 องศาเซลเซียส โดยมีส่วนผสมของแมกนีเซียมร้อยละ 4.97 โดยน้ำหนัก และชิลิคอนร้อยละ 12.95 โดยน้ำหนัก ความสามารถในการละลายสูงสุดของโลหะอะลูมิเนียม แมกนีเซียม ชิลิคอน ในสภาวะของแข็งพิจารณาได้จากพื้นผิวโซลิดัส (Solidus Surface) ดังรูปที่ 2.11 และพื้นที่โซลัวส์ (Solvus Surface) ซึ่งแสดงความสามารถในการละลาย ดังรูปที่ 2.12 ที่อุณหภูมิยูเทกติก 595 องศาเซลเซียส บนเส้นองค์ประกอบเที่ยม ประกอบด้วย แมกนีเซียมร้อยละ 1.13 โดยน้ำหนัก และชิลิคอนร้อยละ 0.67 โดยน้ำหนัก จุดยูเทกติกของระบบสามองค์ประกอบบนพื้นผิวโซลิดัส และโซลัวสมีอะลูมิเนียม แมกนีเซียม-ชิลไชร์ด และชิลิคอนขึ้นที่อุณหภูมิ 555 องศาเซลเซียส ประกอบด้วยแมกนีเซียมร้อยละ 0.85 โดยน้ำหนัก และชิลิคอนร้อยละ 1.10 โดยน้ำหนัก (King, 1987)



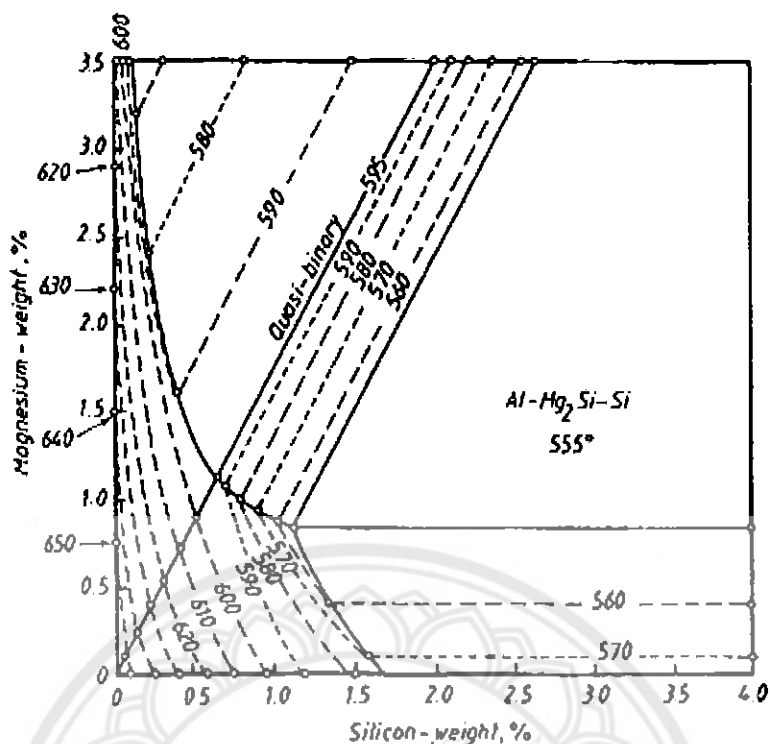
รูปที่ 2.9 แผนภาพวัฏภากแสดงพื้นผิวโลหะวิดัสของโลหะผสมอะลูมิเนียม-แมกนีเซียม-ชิลิคอน
ที่มา : ASM (2002)



รูปที่ 2.10 แผนภาพวัฏภากแสดงพื้นผิวลิควิดส์ของโลหะผสมอะลูมิเนียม-แมกนีเซียม-ซิลิคอน
ที่มา : King (1987)



รูปที่ 2.11 แผนภาพวัฏภากแสดงพื้นผิวลิควิดส์ของโลหะผสมอะลูมิเนียม-แมกนีเซียม-ซิลิคอน
ที่มา : King (1987)



รูปที่ 2.12 แผนภูมิวัฏภัณฑ์แสดงพื้นผิวโลว์สต์ ซึ่งแสดงความสามารถในการละลายของธาตุในโลหะ พสมอะลูมิเนียม-แมกนีเซียม-ซิลิคอน

ที่มา : King (1987)

2.2.5 อะลูมิเนียมพสมหล่อ เกรด A390

อะลูมิเนียมพสมหล่อ เกรด A390 เป็นอะลูมิเนียมพสมแบบไฮเปอร์ยูเทกติกซึ่งมีซิลิคอนมากกว่าร้อยละ 11.7 และมีธาตุหลักประกอบด้วย อะลูมิเนียม ซิลิคอน และทองแดง ซึ่งมีสมบัติที่ดีหลายประการ ได้แก่

2.2.5.1 ทนต่อการสึกหรอซึ่งเป็นผลมาจากการสร้างทางจุลภาคของอะลูมิเนียมพสมที่มีซิลิคอนบริสุทธิ์ซึ่งเป็นเพสที่มีความแข็งสูง มีการกระจายตัวในโครงสร้างยูเทกติกที่เหนียว และแกร่ง

2.2.5.2 ความสามารถในการหล่อที่ดี เป็นผลมาจากการที่อะลูมิเนียมพสมมีค่าความร้อนแ芳ของการหลอมเหลวที่สูง จึงทำให้อะลูมิเนียมพสมหลอมเหลวสามารถไหลเข้าแบบหล่อได้ดี

2.2.5.3 ความถ่วงจำเพาะต่ำ เนื่องจากซิลิคอนเป็นธาตุหนังที่ผสมลงในอะลูมิเนียมแล้วสามารถลดความถ่วงจำเพาะของอะลูมิเนียมพสมลงได้

2.2.5.4 มีค่าสัมประสิทธิ์การขยายตัวทางความร้อนต่ำ เนื่องจากซิลิคอนเป็นธาตุที่มีสัมประสิทธิ์การขยายเนื่องจากความร้อนต่ำ

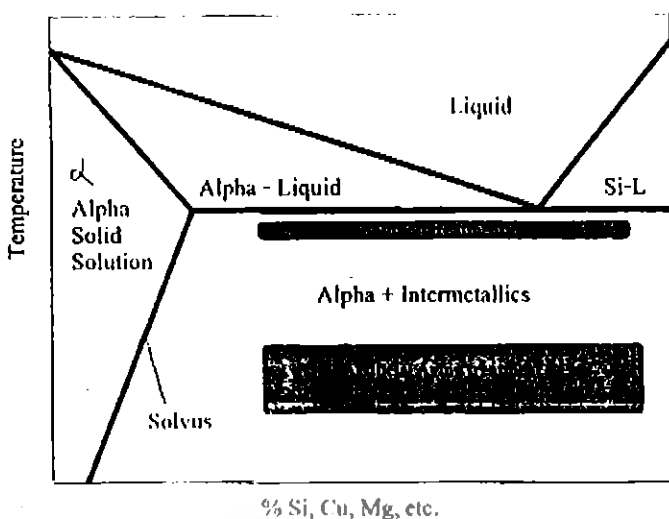
ทั้งนี้เป็นที่ทราบกันทั่วไปแล้วว่าอะลูมิเนียมพสมชนิดนี้มีขนาดชิลลิกอนปั๊มน้ำที่ละเอียด จะมีสมบัติที่ดีมากกว่าอะลูมิเนียมที่มีขนาดชิลลิกอนปั๊มน้ำที่ใหญ่ และทายาน การนำไปใช้งานเหมาะสมที่สุด กับงานที่ต้องการความทนทานต่อการสึกหรอ และความแข็งแรงสูง ใช้งานอย่างกว้างขวางใน อุตสาหกรรมผลิตชิ้นส่วนยานยนต์ เช่น ระบบอกรถ คุมล้อ และปลอกสูบ เป็นต้น (เชาวลิต, 2547-2548)

2.3 การเพิ่มความแข็ง และความแข็งแรงของอะลูมิเนียมพสมหล่อโดยกรรมวิธีทางความร้อน

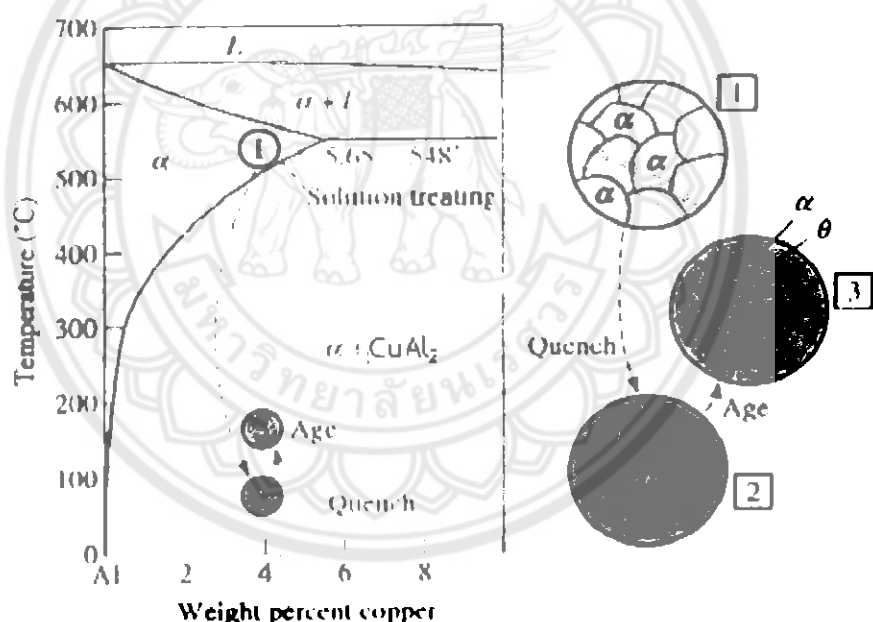
กรรมวิธีทางความร้อนของโลหะอะลูมิเนียมพสมหล่อได้มีการกำหนดสัญลักษณ์ของกระบวนการ โดยสมาคมงานหล่อโลหะอะลูมิเนียมแห่งสหรัฐอเมริกา ตามกระบวนการการให้ความร้อน (Pearce, 2002) ดังนี้

- F โลหะหลังหล่อที่ยังไม่ผ่านกระบวนการทางความร้อนใดๆ
- O โลหะหลังการบ่มแข็ง
- T4 โลหะผ่านการอบเป็นสารละลายของแข็ง (Solution Heat Treatment) ตามด้วย การบ่มแข็งตามธรรมชาติ
- T5 โลหะที่ผ่านการบ่มแข็งเที่ยม (Artificial Aging) เพียงอย่างเดียว
- T6 โลหะผ่านการอบเป็นสารละลายของแข็ง ตามด้วยการบ่มแข็งเที่ยม
- T7 โลหะผ่านการอบเป็นสารละลายของแข็ง ตามด้วยการปรับให้คงสภาพ (Stabilized)

นอกจากนี้ Buha และคณะ (2005, 2007) ได้เสนอแนวทางของกรรมวิธีทางความร้อน ที่ใช้ สัญลักษณ์ T6 ด้วยการบ่มแข็งที่อุณหภูมิต่ำ ซึ่งกรรมวิธีทางความร้อนของโลหะอะลูมิเนียมหล่อพสม ส่วนใหญ่ประกอบด้วย 3 กระบวนการย่อย ได้แก่ การทำเป็นสารละลายของแข็งที่อุณหภูมิสูง เพื่อ ปรับให่องค์ประกอบภายในเฟสปั๊มน้ำมิ α -Al ให้มีความเป็นเนื้อเดียวกันสม่ำเสมอ และเกิดเป็น สารละลายอิ่มตัวของแข็งยิ่งขึ้น จากนั้นทำให้เย็นตัวลงอย่างรวดเร็ว เพื่อรักษาสภาพของสารละลาย ของแข็งอิ่มตัวยิ่งขึ้นได้ ให้ได้ α -Al ที่เป็นสารละลายของแข็งอิ่มตัวยิ่งขึ้นที่อุณหภูมิห้อง และตาม ด้วยการบ่มแข็งที่อุณหภูมิต่ำ เพื่อให้สารละลายของแข็งอิ่มตัวยิ่งขึ้นเกิดตกตะกอนขึ้นภายใต้ เฟส α -Al โดยช่วงอุณหภูมิที่ใช้สามารถได้จากแผนภาพวัสดุศาสตร์ของโลหะพสมนั้น (ASM, 2002) ดังตัวอย่างรูปที่ 2.13 ซึ่งแสดงช่วงอุณหภูมิที่ใช้ในกรรมวิธีทางความร้อนของโลหะพสมอะลูมิเนียม (Pearce, 2548) และรูปที่ 2.14 แสดงลักษณะسمิ่อนเฟสต่างๆ ที่เกิดขึ้นจากการรั่วของโลหะพสมอะลูมิเนียม (Askeland, 1994)



รูปที่ 2.13 แผนภาพวัฏภากแสดงช่วงอุณหภูมิกรรมวิธีทางความร้อน
ที่มา : Pearce (2548)



รูปที่ 2.14 แผนภาพแสดงลักษณะเสมือนของเฟสที่เกิดขึ้นจากการกรรมวิธีทางความร้อน
ที่มา : Askeland (1994)

2.3.1 การอบเป็นสารละลายของแม็ง (Solution Heat Treatment)

จากลักษณะการเกิดเฟสตามแผนภาพวัฏภากรูปที่ 2.11 พบร่วมกันว่าความสามารถในการละลายของอะลูมิเนียม แมกนีเซียม และซิลิค่อนในสารละลายของแม็ง $\alpha\text{-Al}$ มีค่าลดลงตามแนวเส้นไฮโลวัส เมื่ออุณหภูมิตำลง กรณีของความไม่สมดุลทำให้ปริมาณการเกิดสารประกอบระหว่างโลหะมีสูงขึ้น ซึ่งเกิดระหว่างการเย็บตัวของงานหล่อซึ่งปฎิกริยาอยุ่เทกติกของการเปลี่ยนสภาพจากเหลว

ไปเป็นของแข็ง สารประกอบระหว่างโลหะเหล่านี้ มีลักษณะหยาบ อย่างไรก็ตามสามารถละลายกลับเข้าสู่โครงสร้างหลักได้ด้วยการอบช้าที่ระดับอุณหภูมิต่ำกว่าจุดยูเทกติกเล็กน้อย สำหรับสภาพสมดุลปริมาณสารประกอบระหว่างโลหะที่มีส่วนผสมเป็นยูเทกติกกี่ยังคงมีอยู่ แต่จะไม่เกิดผลกระทบที่เกี่ยวข้องกับระบบแต่อย่างใด อย่างไรก็ถือว่าเป็นสารละลายของแข็งนี้ อาจทำให้เกิดการเปลี่ยนแปลงลักษณะดังเดิมของโครงสร้างยูเทกติกที่เป็นเหลี่ยมมุมแหนบคม ไปเป็นลักษณะที่กลมมนมากขึ้นได้ การคงอุณหภูมิไว้ประมาณ 4–12 ชั่วโมง จะช่วยให้ความสามารถในการละลายของธาตุผสมเกิดขึ้นได้มากที่สุด และทำให้เกิดการกระจายตัวอย่างสม่ำเสมอของอะตอมที่เป็นตัวถูกละลายอยู่ภายในสารละลายของแข็งของ α -Al และเมื่ออุณหภูมิลงอย่างรวดเร็วจะกลย�回เป็นสารละลายของแข็ง อีมตัวยึงiyad อุณหภูมิสำหรับการอบเป็นสารละลายของแข็งจะใกล้เคียงกันกับการเกิดสารประกอบยูเทกติก โดยจะต่ำกว่าเล็กน้อย ดังนั้น จึงต้องมีความระมัดระวังเรื่องอุณหภูมิอย่างเข้มงวด เพื่อหลีกเลี่ยงการหลอมของวัสดุในระหว่างการอบ โดยทั่วไปจะใช้เตาที่มีการอัดอากาศภายในเตาตลอดเวลา เพื่อทำให้อุณหภูมิภายในเตามีการกระจายตัวอย่างสม่ำเสมอ งานหล่อที่ได้รับอุณหภูมิไม่สม่ำเสมอทั่วทั้งชิ้นงาน อาจเกิดความร้อนสะสมเฉพาะจุด และเกิดการหลอมเยพะจุดในบริเวณเล็กๆ ได้ เช่น บริเวณระหว่างโครงสร้างเดนไทร์ท นอกจากนี้การเกิดความร้อนสะสมสูงในชิ้นงานจะเกิดผลเสียอย่างถาวร อาจถึงขั้นสูญเสียสมบัติงานไม่สามารถนำกลับมาใช้งานได้ และสำหรับงานหล่อทั้งแบบเทปเป็นรูป (Gravity) และแบบใช้แรงดัน (Pressure) สามารถเกิดการแตกตะกอนได้โดยไม่ต้องผ่านการอบเป็นสารละลายของแข็ง เนื่องจากอัตราการเย็นตัวลงและการหล่อพลาเพียงสำหรับการละลายของอะตอมที่มากเกินพอกในโครงสร้างผลึก อย่างไรก็ตามเพื่อให้ได้ความแข็งแรงสูงสุดของชิ้นงานที่ขึ้นรูปด้วยกระบวนการหล่อแบบเทปเป็นรูป จึงมีความจำเป็นต้องผ่านการอบเป็นสารละลายของแข็งก่อนที่จะทำการบ่มแข็ง (Pearce, 2548)

2.3.2 การชุบน้ำ (Quenching)

เป็นการทำให้เย็นตัวลงอย่างรวดเร็ว ซึ่งมีวัตถุประสงค์เพื่อคงสภาพของการเป็นสารละลายของแข็งอีมตัวยึงiyad ณ อุณหภูมิสูง ให้เป็นสารละลายของแข็งอีมตัวยึงiyadที่อุณหภูมิท่องแต่เมื่อได้รับความร้อนเพียงเล็กน้อยจะคงบางส่วนจะเคลื่อนที่มารวมตัวกันตามบริเวณรอยต่อเกรน หรือในโครงสร้างพื้น (Matrix) การทำให้เย็นตัวลงอย่างรวดเร็ว สามารถทำได้หลายรูปแบบ เพื่อหลีกเลี่ยงการทำให้เกิดตะกอนที่มีผลให้สมบัติทางกล หรือสมบัติการต้านทานการกัดกร่อนยั่ง ส่วนใหญ่ชิ้นงานที่มีลักษณะเป็นแผ่น และที่ผ่านการขึ้นรูปแบบอัดฉีดจะทำให้เย็นตัวลงอย่างรวดเร็ว ด้วยการแช่น้ำเย็น หรือฉีดพ่นด้วยละอองของน้ำเย็น ส่วนชิ้นงานที่มีความซับซ้อน มีทั้งหนา และบางอยู่ในชิ้นเดียวกัน เช่น ชิ้นงานที่ได้จากการหล่อขึ้นรูป ใช้วิธีทำให้เย็น โดยแช่ในน้ำร้อนช่วง 65–80 องศาเซลเซียส ในน้ำเดือด หรือในสารละลายพอลิอัลกิลีนไกลคอล (Polyalkylene Glycol) หรือของเหลวอื่นๆ (ASM, 2002) เนื่องจากเป็นความเข้าใจว่า ที่ระดับอุณหภูมิต่างๆ ดังกล่าวจะช่วยให้

วัสดุมีอัตราการเย็นตัวที่เพียงพอ โดยไม่ทำให้เกิดความเดันตกค้างภายในชิ้นงานมากเกินไป (Pearce, 2002)

2.3.3 การบ่มแข็ง (Aging)

หลังจากผ่านการทำเป็นสารละลายของแข็ง และทำให้เย็นตัวลงอย่างรวดเร็วแล้ว ขั้นตอนต่อไปคือ การบ่มแข็งให้แข็ง ซึ่งสามารถทำได้ 2 วิธีคือ การบ่มแข็งธรรมชาติ (Natural Aging) ซึ่งเป็นการวางแผนที่จะใช้อุณหภูมิห้อง และการบ่มแข็งเทียม (Artificial Aging) โดยใช้อุณหภูมิสูงกว่า อุณหภูมิห้อง โลหะบางกลุ่มอยู่ในอุณหภูมิห้องเพียงไม่กี่วัน ก็สามารถเกิดตะกอน และทำให้มีค่าจุดคราบ (Yield) สูงเพียงพอสำหรับการนำไปใช้งานหลายประเภท แต่สำหรับโลหะบางกลุ่มต้องอาศัย ความร้อนในการเกิดตะกอน เพื่อเพิ่มความแข็ง และความแข็งแรง โดยเฉพาะในกลุ่มโลหะรีด และ โลหะหล่อ นอกจานี้ยังมีโลหะผสมอื่นที่ผ่านการบ่มแข็งแล้ว จะค่อยๆ เกิดตะกอนขึ้นภายหลัง หรือ ในขณะนำไปใช้งาน (ASM, 2002) ซึ่งรายละเอียดของทั้ง 2 วิธี มีดังนี้

2.3.3.1 การบ่มแข็งธรรมชาติ (Natural Aging)

โลหะที่บ่มแข็งด้วยวิธีนี้ทำในโลหะผสม ส่วนใหญ่อยู่ในกลุ่ม 2xx.x กลุ่ม 3xx.x ที่มีทองแดงเป็นส่วนผสม โดยประกอบด้วยการทำเป็นสารละลายของแข็ง ทำให้เย็นตัวลงอย่างรวดเร็ว และปล่อยให้เกิดตะกอนเพิ่มความแข็งแรงที่อุณหภูมิห้อง ส่วนผลิตภัณฑ์ที่มีค่าความต้านทานแรงตึงความเหนียว และสามารถต้านทานความล้าได้สูง โลหะผสมที่จะเพิ่มความแข็งด้วยวิธีนี้ เมื่อถูกทำให้เย็นตัวอย่างรวดเร็วแล้ว จะต้องมีอะตอมละลายอยู่อย่างอิ่มตัวยิ่งขวด เพื่อให้เกิดการตกตะกอนได้ภายในทันที และความแข็งแรงจะเพิ่มขึ้นอย่างรวดเร็วเช่นกัน และตะกอนนี้จะเริ่มเข้าสู่สภาพเสถียรใน 4–5 วัน อย่างไรก็ตามในโลหะผสมกลุ่ม 2xx.x และกลุ่ม 3xx.x จะไม่เสถียรที่อุณหภูมิห้อง และจะไม่มีการเปลี่ยนแปลงของสมบัติทางกลอยู่ตลอดเป็นเวลาหลายปี (ASM, 2002)

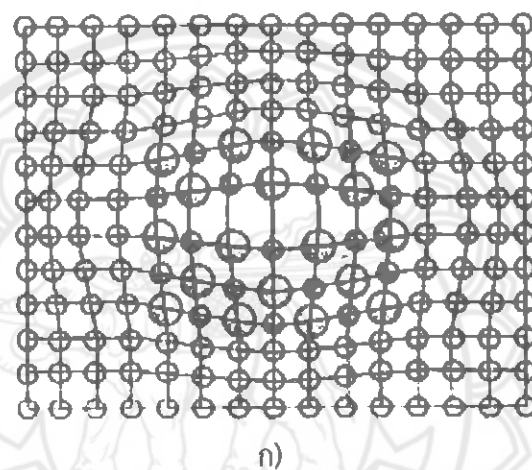
2.3.3.2 การบ่มแข็งเทียม (Artificial Aging)

โลหะอะลูминเนียมหล่อผสมส่วนใหญ่ต้องอาศัยความร้อนที่สูงกว่าอุณหภูมิห้อง ในการเกิดตะกอน จากการนี้โดยทั่วไปจะบ่มแข็งที่อุณหภูมิต่ำระหว่างช่วง 150–250 องศาเซลเซียส เป็นเวลานาน เพื่อให้ตะกอนที่เกิดในระหว่างการบ่มแข็งมีการกระจายตัวที่สม่ำเสมอ กัน (Pearce, 2002) ส่วนสมบัติทางกลสุดท้ายที่ต้องการขึ้นอยู่กับความสัมพันธ์ของอุณหภูมิกับเวลาที่ใช้ในการบ่มแข็ง ดังนั้นจึงต้องนำเวลาในการบ่มแข็งมาพิจารณาด้วยเสมอ นอกจากนี้ยังพิจารณาแบบของโลหะผสมที่ใช้ด้วย เพศที่แตกต่างกันจะแตกต่างกัน

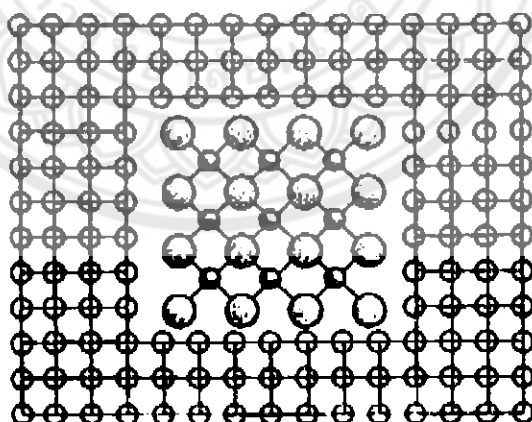
การทำให้อะลูมิเนียมมีความแข็งแรงในระดับที่ดีที่สุด จะต้องทำให้โครงสร้าง พื้น และตะกอนเกิดลักษณะโคเอร์เรนต์ (Coherent) หรือเกิดในลักษณะเซมิโคเอร์เรนต์ (Semi-Coherent) แสดงดังรูปที่ 2.15 ก) และมีการกระจายตัวของตะกอนอย่างสม่ำเสมอ ชิ้นงานจะมี ความเดันสูงเป็นพิเศษ เพราะติดสโตเลชัน (Dislocation) เคลื่อนที่ผ่านตะกอนลักษณะดังกล่าวได้ยาก

ความเครียดที่เกิดจากแรงเนื่องจึงสูง ซึ่งลักษณะตะกอนที่เกิดขึ้นดังกล่าวมีขนาดประมาณ 10–100 นาโนเมตร (มนัส, 2541)

การบ่มแข็งนานขึ้นจะส่งผลให้สมบัติความแข็งลดลง เรียกว่า การบ่มนานเกินพอดี (Overaging) โดยตะกอนจะลดลง แล้วแทนที่ด้วยอนุภาคที่ใหญ่ โดยจะมีการแยกชัดเจนระหว่าง โครงสร้างพื้น กับผิวของตะกอน แสดงดังรูปที่ 2.15 ข) ซึ่งแสดงลักษณะตะกอนอินโค-ไฮเรนต์ (Incoherent) ในโครงสร้างหลัก และมีแนวโน้มที่ทำให้ความแข็งแรงที่เกิดขึ้น ไม่เต็มประสิทธิภาพ ซึ่งอาจเป็นเพราะซ่องว่างระหว่างอะตอมที่เพิ่มขึ้น และจำนวนตะกอนลดลง สมบัติทางกลจึงลดลง (Pearce, 2002)



ก)



ข)

รูปที่ 2.15 โครงสร้างพื้น และลักษณะการเกิดตะกอน

ก) ลักษณะตะกอนแบบโคไฮเรนต์

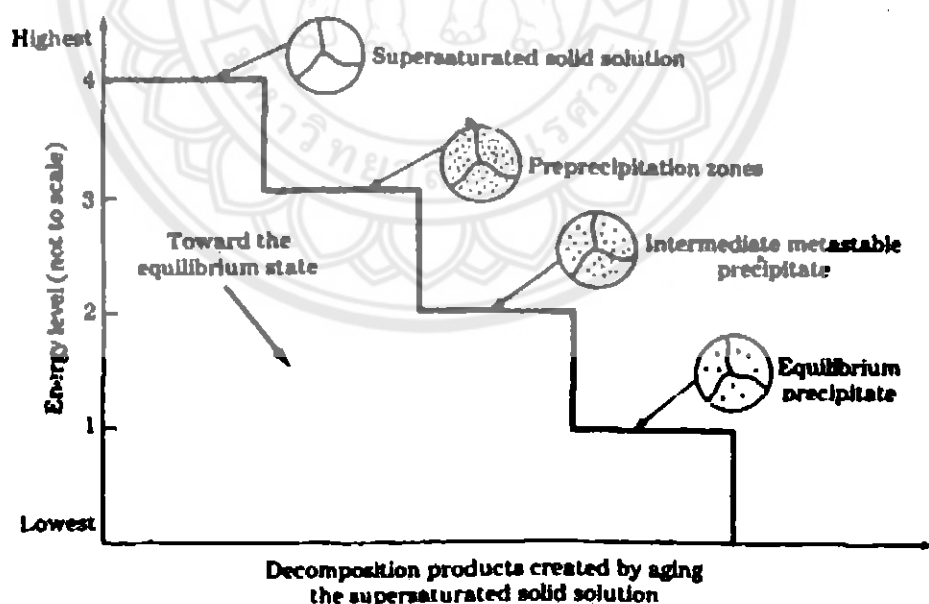
ข) ลักษณะตะกอนแบบอินโคไฮเรนต์

ที่มา : Askeland (1994)

2.3.4 การเปลี่ยนแปลงโครงสร้างภายในของสารละลายของแข็งอิ่มตัวยังไงในระหว่างการบ่มแข็ง

โลหะผสมที่ผ่านกระบวนการเพิ่มความแข็งด้วยกลไกการตกตะกอนแล้ว ในขั้นตอนแรกจะอยู่ในสภาพสารละลายของแข็งอิ่มตัวยังไง ในสภาวะนี้โลหะผสมจะมีพลังงานสูงมาก แสดงดังรูปที่ 2.16 ที่ระดับพลังงานเท่ากับ 4 ที่ระดับพลังงานนี้โลหะผสมจะไม่อยู่ตัว และมีแนวโน้มที่จะมีการเปลี่ยนแปลงจากสารละลายของแข็งอิ่มตัวยังไงไปยังเฟสที่มีพลังงานต่ำกว่า ซึ่งอาจจะเป็น Metastable Phase หรือเฟสสมดุล (Equilibrium Phases) อื่นโดยเกิดขึ้นเอง

เมื่อโลหะผสมที่อยู่ในสภาพสารละลายอิ่มตัวยังไงถูกทำการบ่มแข็งที่อุณหภูมิค่อนข้างต่ำ ซึ่งมีพลังงานกระตุ้นค่อนข้างน้อย อะตอมอาจจะเกิดการรวมตัวกันเป็นกลุ่ม ซึ่งเรียกว่า Precipitation Zones หรือ GP Zones แสดงด้วยจุดดำๆ ตั้งในระดับพลังงาน 3 ของรูปที่ 2.16 และเมื่อทำการบ่มแข็งต่อไป หรือมีพลังงานกระตุ้นมากเพียงพอโดยการเพิ่มอุณหภูมิในการบ่มแข็งบริเวณ GP Zones นี้จะมีจุดดำๆ ที่ใหญ่ขึ้น (Intermediate Metastable Precipitation) ตั้งแสดงในรูปที่ 2.16 และถ้ายังมีการบ่มแข็งที่อุณหภูมิสูงต่อไป หรือมีพลังงานกระตุ้นสูงขึ้นเพียงพอ Intermediate Metastable Precipitation เหล่านี้จะเปลี่ยนเป็นเฟสที่มีความสมดุลมากขึ้น ตั้งแสดงในระดับพลังงาน 1 (รศ. แม้น และสมชัย, 2544) ของรูปที่ 2.16

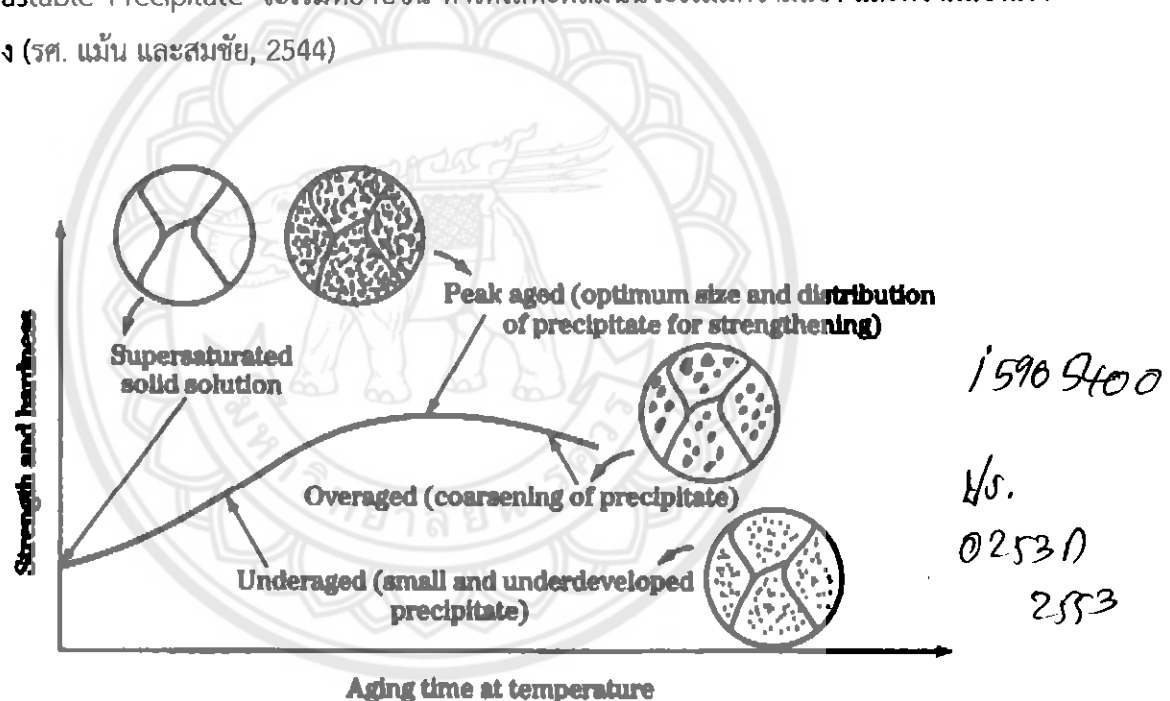


รูปที่ 2.16 การเปลี่ยนแปลงโครงสร้างภายในของโลหะผสมที่สามารถทำการเพิ่มความแข็งด้วยกลไกการตกตะกอน และถูกทำให้อยู่ในสภาพสารละลายของแข็งอิ่มตัวยังไงโดยการบ่มแข็ง

ที่มา : รศ. แม้น และสมชัย (2544)

2.3.5 ผลของเวลาในการทำการบ่มแข็งต่อความแข็ง และความแข็งแรงของโลหะผสมที่สามารถถูกเพิ่มความแข็งด้วยกลไกการตกตะกอน

ผลของการบ่มแข็งต่อความแข็งของโลหะผสมที่ผ่านขั้นตอนการอบละลาย และชุบน้ำสามารถแสดงได้ด้วยเส้นโค้ง (Aging Curve) กราฟของเส้นโค้งการบ่มแข็งเป็นการแสดงความสัมพันธ์ระหว่างความแข็ง และความแข็งแรงกับเวลาในการบ่มแข็ง ที่อุณหภูมิคงที่เดียว ตัวอย่างแสดงดังรูปที่ 2.17 จะเห็นได้ว่าความแข็ง และความแข็งแรงของสารละลายของแข็งอิมตัวยาดึงเท่ากับจุดตัดบนแกน X ที่เวลาเท่ากับศูนย์ เมื่อเวลาในการบ่มแข็งเพิ่มขึ้น ในบริเวณ GP Zones จะเริ่มเกิดขึ้นและขนาดก่อคือๆ ใหญ่ขึ้น ทำให้โลหะผสมนั้นมีความแข็ง และความแข็งแรงเพิ่มขึ้น แต่ความหน่วงลดลง (รูปที่ 2.17) จนกระทั่งมีค่าสูงสุด เมื่ออุณหภูมิในการบ่มแข็งสูงเพียงพอ ในช่วงนี้จะเป็นช่วงที่เกิด Intermediate Metastable Precipitate และถ้ายังมีการบ่มแข็งต่อไป Intermediate Metastable Precipitate จะเริ่มหายาไป ทำให้โลหะผสมนั้นจะเริ่มมีความแข็ง และความแข็งแรงลดลง (รศ. แม้น และสมชัย, 2544)



รูปที่ 2.17 เส้นโค้งในการบ่มแข็ง (ความแข็ง และความแข็งแรงกับเวลา) ที่อุณหภูมนึงของโลหะผสมที่สามารถทำการเพิ่มความแข็งด้วยกลไกการตกตะกอนได้

ที่มา : รศ. แม้น และสมชัย (2544)

2.4 กล้องจุลทรรศน์แบบแสง (Optical Microscope)

กล้องจุลทรรศน์แบบแสงที่มีใช้กันอย่างแพร่หลายในปัจจุบันนี้ สามารถที่จะช่วยให้มนุษย์มองเห็นรายละเอียดได้สูงสุดในระดับของช่วงแสงที่มนุษย์มองมองเห็นได้ คือ 400-700 นาโนเมตร เพียงเท่านั้น (หรือที่ดีที่สุดก็อยู่ในช่วงระดับความละเอียด 200-400 นาโนเมตร) (วิธุ, 2553)

วิธีการใช้กล้องจุลทรรศน์แบบแสง

ก. ตั้งลำกล้องให้ตรง

ข. เปิดไฟเพื่อให้แสงเข้าลำกล้องได้เต็มที่

ค. หมุนเลนส์ไกลัวตุ๊ ให้เลนส์ที่มีกำลังขยายต่ำสุดอยู่ในตำแหน่งแนวของลำกล้อง

ง. นำสไลด์ที่จะศึกษาวางบนแท่นวางวัตุ โดยปรับให้อยู่กลางบริเวณที่แสงผ่าน

จ. ค่อยๆ หมุนปุ่มปรับภาพขยายให้กล้องเลื่อนชิ้นชาๆ เพื่อหาระยะภาพ แต่ต้องระวังไม่ให้เลนส์ไกลัวตุ๊กระแทบกับสไลด์ตัวอย่าง เพราะจะทำให้เลนส์แตกได้

ฉ. ปรับภาพให้ชัดเจนขึ้นด้วยปุ่มปรับภาพละเอียด ถ้าวัตุที่ศึกษาไม่มีอยู่ตรงกลางให้เลื่อนสไลด์ให้มาอยู่ตรงกลาง

ช. ถ้าต้องการให้ภาพขยายใหญ่ขึ้นให้หมุนเลนส์ ไกลัวตุ๊ที่มีกำลังขยายสูงกว่าเดิมมาอยู่ในตำแหน่งแนวของลำกล้อง จากนั้นปรับภาพให้ชัดเจนด้วยปุ่มปรับภาพละเอียดเท่านั้น ห้ามปรับภาพด้วยปุ่มปรับภาพขยาย เพราะจะทำให้ระยะของภาพ หรือจุดโฟกัสของภาพเปลี่ยนไป

ช. บันทึกกำลังขยายโดยหาได้จากผลคูณของกำลังขยายของเลนส์ไกลัวตุ๊กับกำลังขยายของเลนส์ไกลัตตา

การเตรียมตัวอย่างสำหรับกล้องจุลทรรศน์อิเล็กตรอนแบบแสง

ก. นำชิ้นงานมาขัดกระดาษทรายเบอร์ 180, 320, 500, 1000

ข. นำชิ้นงานไปชั้ดคละເອີ້ດ

ค. ตรวจสอบโครงสร้าง

2.5 กล้องจุลทรรศน์อิเล็กตรอนแบบส่องกราด (Scanning Electron Microscope)

กล้องจุลทรรศน์อิเล็กตรอนแบบส่องกราด เป็นเทคนิคเฉพาะทางที่ได้รับการพัฒนาขึ้นเพื่อใช้ศึกษาโครงสร้าง และสมบัติบางประการของสาร ค่าความชัดลึก (Spatial Resolution) สูงกว่ากล้องจุลทรรศน์แบบแสง ทั้งนี้เป็นเพราะกล้องจุลทรรศน์อิเล็กตรอนแบบส่องกราด ใช้สมบัติคลื่นของอิเล็กตรอน ซึ่งมีความยาวคลื่นสั้นกว่า ทำให้กล้องจุลทรรศน์อิเล็กตรอนแบบส่องกราดมีอำนาจ역 (resolution) ได้ถึง 0.2 นาโนเมตร และด้วยความสามารถในการบีบลำอิเล็กตรอนให้เป็นมุมแคบๆ ได้ ทำให้ภาพที่ได้มีความชัดลึกสูง นอกจากนี้กล้องจุลทรรศน์อิเล็กตรอนแบบส่องกราดยังสามารถใช้ร่วมกับเทคนิคอื่นๆ เช่น Energy Despersive Spectrometry (EDXS) และ Wavelength Dispersive Spectrometry (WED) เพื่อให้ข้อมูลในเชิงเคมีอิกด้วย และในโครงงานวิจัยนี้เครื่องกล้องจุลทรรศน์อิเล็กตรอนแบบส่องกราด จะติดตั้งอุปกรณ์ที่เรียกว่า EDXS เพื่อตรวจหาธาตุในตัวอย่างโดยใช้หลักการของรังสีเอกซเรย์แสดงผลในรูปแบบของตัวเลข กราฟ และวิเคราะห์ปริมาณ

กล้องจุลทรรศน์อิเล็กตรอนแบบส่องกราด เป็นกล้องที่ใช้ส่องดูวัตถุขนาดเล็กมากๆ ให้เห็นในภาย ขึ้นได้กว่าเดิมถึงสองแสนเท่า กล้องจุลทรรศน์อิเล็กตรอนแบบส่องกราดเป็นประโยชน์มากในการศึกษาค้นคว้าทางการแพทย์ โลหะวิทยา และวิทยาศาสตร์ อีกหลายสาขา (บัญชา และศุภกาญจน์, 2544)

2.5.1 การวิเคราะห์ด้วยกล้องจุลทรรศน์อิเล็กตรอนแบบส่องกราด

สามารถวิเคราะห์ได้ 2 ลักษณะ คือ

2.5.1.1 การดูลักษณะของพื้นผิวของตัวอย่าง ซึ่งสามารถดูความแตกต่างของพื้นผิวโดย ขึ้นอยู่กับลักษณะของ Detector ได้ โดยแบ่งเป็น

ก. ภาพที่ได้จากสัญญาณ Secondary Electron จะได้ภาพที่เป็นลักษณะ พื้นผิวของตัวอย่างที่มีความสูงต่ำ ชรุชระ ที่เกิดขึ้นจริงบนตัวอย่าง และสามารถวัดขนาดต่างๆ บน ตัวอย่างนั้นได้

ข. ภาพที่ได้จากสัญญาณ Back Scattered Electron จะได้ภาพที่มีลักษณะ เป็นภาพพื้นผิวของวัตถุ แต่ให้ความแตกต่างบนพื้นผิวของวัตถุนั้น ธาตุที่มีเลขอะตอมสูงกว่าจะมีเฟสที่ สว่าง กว่าธาตุที่มีเลขอะตอมต่ำกว่า

2.5.1.2 การวิเคราะห์ธาตุสามารถใช้ข้อมูลได้เป็น 2 ลักษณะ คือ หาธาตุที่มีอยู่ใน ตัวอย่างว่ามีธาตุใดบ้าง โดยแสดงออกมาเป็นกราฟ และบอกเป็นเปอร์เซ็นต์ของธาตุนั้นๆ และ สามารถบอกเป็นพื้นที่ว่าบริเวณใดมีธาตุใดอยู่บ้าง

2.5.2 ลักษณะของตัวอย่าง และชนิดของกล้องจุลทรรศน์อิเล็กตรอนแบบส่องกราด

สำหรับกล้องจุลทรรศน์อิเล็กตรอนแบบส่องกราด แบบที่มีต้องการสภาพความเป็น สัญญาณสูง การเตรียมตัวอย่างที่จะศึกษาต้องแห้ง ไม่มีความชื้น และไม่ปนเปื้อนสารจำพวก ไฮโดรคาร์บอน (เช่น น้ำมัน) เพราะเมื่อขึ้นงานอยู่ภายในได้สภาวะสัญญาณ ความชื้น หรือสาร ไฮโดรคาร์บอนจะแตกตัวเป็นโมเลกุลเล็กๆ ขัดขวางเส้นทางของอิเล็กตรอนทำให้ภาพที่ได้มีชัดเจน อีกทั้งโมเลกุลเหล่านี้อาจไปเกาะยังส่วนต่างๆ ของกล้อง เช่น ผิวของแหล่งกำเนิดอิเล็กตรอน เป็นเหตุ ให้แหล่งกำเนิดอิเล็กตรอนมีอายุการใช้งานสั้นลง

การเตรียมตัวอย่างสำหรับกล้องจุลทรรศน์อิเล็กตรอนแบบส่องกราด

ก. การเตรียมตัวอย่างในแบบทั่วไป

ก.1 อยู่ในสถานะของแข็งทุกลักษณะ เช่น เป็นผง เป็นแผ่น เป็นแท่ง ฯลฯ

ก.2 ถ้ามีขนาดใหญ่ต้องตัดส่วนที่จะดูให้เล็กอยู่ที่ประมาณ 1 ลูกบาศก์เซนติเมตร

ก.3 ต้องแห้งไม่มีความชื้น ไม่มีการระเหยของสารใดๆ และไม่มีการทุบกระเจาของ

ตัวอย่าง

ก.4 ถ้าตัวอย่างมีการนำไฟฟ้าดิจิสมาร์ตนำเข้าเครื่องกล้องจุลทรรศน์อิเล็กตรอนแบบส่องกราด ได้โดย

ก.5 ถ้าตัวอย่างไม่มีการนำไฟฟ้า หรือนำได้เพียงบางจุด จะต้องมีการนำไปเคลือบทอง

ข. การเตรียมตัวอย่างในแบบตัวอย่างที่ไม่นำไฟฟ้า

ข.1 โดยทั่วไปจะเหมือนการเตรียมตัวอย่างแบบทั่วไป

ข.2 ต้องมีการเคลือบทองกีสมาร์ตนำเข้ากล้องจุลทรรศน์อิเล็กตรอนแบบส่องกราดได้

ข.3 การใช้งานในระบบนี้จะใช้ได้ยากกว่าแบบปกติ และเสียเวลามากกว่าแบบปกติดังนั้นจึงสามารถทำให้ได้บางกรณีเท่านั้น

การเคลือบผิวน้ำขึ้นงานด้วยพิล์มที่นำไฟฟ้าบางๆ (ประมาณ 100 อังสตรอม) ซึ่งวัสดุที่นิยมนิยมนำมาใช้เคลือบผิวได้แก่ ทอง ทองผสมแพลทินัม และคาร์บอน การเคลือบด้วยทอง หรือทองผสมแพลทินัมจะให้ได้ภาพที่คมชัดกว่าการเคลือบด้วยคาร์บอน แต่จะทำให้ข้อมูลทางเคมีของเทคนิค EDXS ปิดเบื้องไปได้ในกรณีที่ต้องการวิเคราะห์องค์ประกอบทางเคมี

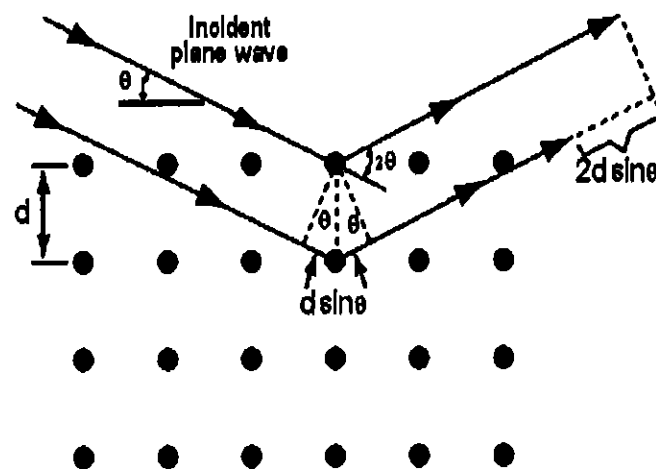
สำหรับตัวอย่างที่ไม่นำไฟฟ้าอาจไม่ต้องทำการเคลือบได้ โดยเลือกให้ความต่างศักย์น้อยๆ (ต่ำกว่า 3kV) ซึ่งภายในจะไม่เกิดการสะสมประจุที่ผิว (Charging) เนื่องจากปริมาณกระแสเข้าให้เท่ากับกระแสออก หรือเลี่ยงไปใช้กล้องจุลทรรศน์อิเล็กตรอนแบบส่องกราดแบบสูญญากาศตู้แทน (บัญชา และศุภกาญจน์, 2544)

2.6 เครื่องเอกซเรย์ดิฟแฟร์กโนมิเตอร์ (X-Ray Diffractometer)

เป็นเครื่องมือที่ใช้ในการศึกษาโครงสร้างผลึกที่ไม่ทำลายสารตัวอย่าง (Non-destructive method) โดยใช้หลักการเลี้ยวเบนของรังสีเอกซ์ที่ตกกระทบหน้าผลึก ของสารตัวอย่างที่มุ่งต่างๆ กัน ผลการวิเคราะห์ที่ได้จะถูกนำมาเปรียบเทียบกับฐานข้อมูลมาตรฐาน เพื่อระบุองค์ประกอบของสารตัวอย่าง

2.6.1 หลักการ และวิธีการวิเคราะห์

วัสดุที่เป็นผลึก คือวัสดุที่มีการจัดเรียงตัวของอะตอมภายในโครงสร้างอย่างเป็นระเบียบ ซึ่งการจัดเรียงตัวของอะตอมภายในผลึกจะมีลักษณะเป็นระนาบเส้นตรงนานกัน ซึ่งแต่ละระนาบจะอยู่ห่างกันเป็นระยะ d ซึ่งค่าระยะห่าง d จะมีค่าแตกต่างกันไปขึ้นกับธรรมชาติของผลึก ในปี ค.ศ. 1912 W.H. Bragg และ W.L. Bragg ได้เสนอแนวคิดว่าเมื่อรังสีเอกซ์ ตกกระทบบนนาบของอะตอมภายในผลึกที่มุ่งตกรอบ Theta รังสีเอกซ์บางส่วนจะเกิดการสะท้อนกลับ (เลี้ยวเบน) ที่มุ่งสะท้อน Theta เท่ากับมุ่งตกรอบ แสดงดังในรูปที่ 2.18



รูปที่ 2.18 Bragg's Law

ที่มา : http://orionift.tripod.com/physics_phunnies.htm (2553)

2.6.2 สมบัติเฉพาะของเครื่องเอกซเรย์ดิฟแฟรนก์โนมิเตอร์ (X-Ray Diffractometer)

- 2.6.2.1 เพื่อศึกษา และวิเคราะห์วัสดุว่ามีสารประกอบชนิดใดบ้าง
- 2.6.2.2 เพื่อศึกษาการเปลี่ยนแปลงของสารผสมหลังทำปฏิกิริยา
- 2.6.2.3 เพื่อศึกษาการเปลี่ยนแปลงโครงสร้างของสารประกอบ
- 2.6.2.4 สามารถศึกษาการเปลี่ยนแปลงของวัสดุตั้งแต่อุณหภูมิห้องจนถึง 1700 องศาเซลเซียส



รูปที่ 2.19 เครื่องเอกซเรย์ดิฟแฟรนก์โนมิเตอร์

2.6.3 การเตรียมตัวอย่าง สามารถทำได้ 3 วิธี ดังนี้

2.6.3.1 การเตรียมตัวอย่างแบบมาตรฐาน กรณีที่มีตัวอย่างในปริมาณมาก

ก. นำแผ่นจับยึดชิ้นงานติดกับแผ่นแก้วด้านใดด้านหนึ่งด้วยเทปไปรษณีย์

ข. บดผงตัวอย่างให้มีความละเอียดมากที่สุดผ่านตะแกรง 45 มีโครเมต์

หรือเท่าที่บดได้ royaling ช่องหลุมใส่ชิ้นงานใช้แผ่นแก้วกดตัวอย่างเบาๆ พอประมาณ แล้วปิดตัวอย่าง ที่เกินทิ้ง นำฝาหลังปิดเข้ากับที่จับยึดชิ้นงาน

ค. แกะเทปไปรษณีย์ด้วยแผ่นแก้วออกแล้วนำแผ่นจับยึดชิ้นงานเสียบเข้าแทนกับยึดตัวอย่างที่เครื่อง ระวังอย่าให้นิ้วโดนบริเวณที่มีตัวอย่าง

2.6.3.2 การเตรียมตัวอย่างที่มีปริมาณน้อย

ก. ทาเจาร์บี (Super grease) ลงบนแผ่นสไลเดอร์

ข. โรยผงตัวอย่างลงบนสไลเดอร์ แล้วใช้นิ้วมือเคาะด้านข้างเพื่อให้ตัวอย่าง

กระจายทั่วบริเวณที่ทาเจาร์บี

ค. ใช้แผ่นสไลเดอร์ตัดแนวตัวอย่างให้เป็นเส้นตรง แล้วนำแผ่นตัวอย่างเสียบเข้า กับแทนยึดตัวอย่างที่เครื่อง

2.6.3.3 การเตรียมตัวอย่างที่เป็นชิ้น

ก. ตัดตัวอย่างใหม่ขนาดความหนา 2.00 มิลลิเมตร

ข. ใช้ด้านหน้าที่เรียบที่สุดเสียบเข้ากับแทนยึดตัวอย่างได้เลย

2.7 การทดสอบความแข็ง (Hardness Test)

การทดสอบความแข็ง เป็นการวัดความต้านทานต่อรอยขีด รอยขูดขีด หรือการเปลี่ยนรูปภาร (Plastic Deformation) ของวัสดุ ซึ่งความแข็งของวัสดุขึ้นอยู่กับความแข็งแรงของโครงสร้างพื้นฐาน (ASTM B557, 2001) มีวิธีการทดสอบหลายวิธีที่นิยม เช่น บริเนลล์ (Brinell Hardness Test) ร็อกแวร์ล์ (Rockwell Hardness Test) วิกเกอร์ส (Vickers Hardness Test) และนูป (Knoop Hardness Tester) เป็นต้น วิธีการทั้งหมดนี้นิยมใช้กันทั่วไปในการทดสอบความแข็งทางวิศวกรรม และแต่ละวิธีมีกฎพื้นฐานเดียวกัน คือความแข็งวัดจากการอยกตัวที่เกิดขึ้นด้วยการให้น้ำหนักกดลงบนหัว กัดที่ผิวของวัสดุในช่วงเวลาจำกัดโดยในการทดสอบครั้งนี้จะใช้วิธีการทดสอบแบบบริเนลล์ (Brinell Hardness Test)

การทดสอบความแข็งแบบบริเนลล์ (Brinell Hardness Test)

การทดสอบความแข็งแบบบริเนลล์ ประกอบด้วยการกดวัสดุทดสอบด้วยลูกบล็อกเหล็กกล้าชุบ แข็ง หรือลูกบล็อกคาร์ไบด์ ขนาดเส้นผ่านศูนย์กลาง 10 มิลลิเมตร ภายใต้ภาระ 3000 กิโลกรัมแรง สำหรับวัสดุที่อ่อนสามารถลดภาระที่ 1500 กิโลกรัมแรง หรือ 500 กิโลกรัมแรง เพื่อหลีกภัยกต ที่มากเกิน ปกติจะคงภาระไว้ 10-15 วินาที ในกรณีเหล็กหล่อ และเหล็กกล้า และอย่างน้อย 30 วินาที ในกรณีโลหะอื่นๆ ขนาดเส้นผ่านศูนย์กลางของรอยกดที่เหลืออยู่บนวัสดุทดสอบ จะถูกวัดโดย

กล้องขยายกำลังต่ำ ค่าความแข็งคำนวณจากการหารหารที่ใช้ด้วยพื้นที่ผิวของรอยกด จะใช้สูตรคำนวณแสดงดังสมการที่ 2.1

$$BHN = \frac{\text{แรงที่ใช้กด}}{\text{พื้นที่ของรอยกด}} = \frac{P}{(\pi D/2)(D - \sqrt{D^2 - d^2})} \quad (2.1)$$

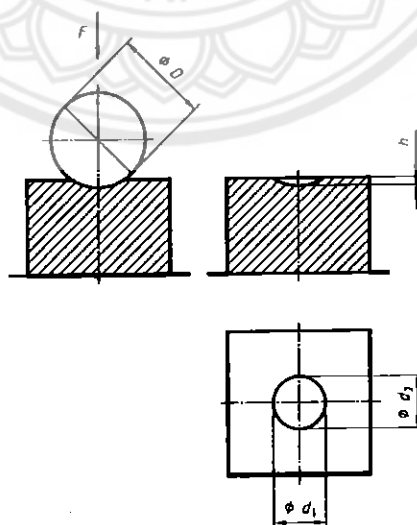
เมื่อ BHN = ค่าความแข็งบริเนลล์

P = ภาระ หน่วย กิโลกรัมแรง

D = ขนาดเส้นผ่านศูนย์กลางหัวกด หน่วย มิลลิเมตร

d = ขนาดเส้นผ่านศูนย์กลางรอยกด หน่วย มิลลิเมตร

การทดสอบความแข็งแบบบริเนลล์ ขนาดเส้นผ่านศูนย์กลางของรอยกดที่ใช้คำนวณ เป็นค่าเฉลี่ยจากการอ่านค่าสองครั้งตั้งฉากกัน การแสดงค่าความแข็งแบบบริเนลล์สามารถแสดงให้เห็นสภาวะของการทดสอบ เช่น 75 HB 10/500/30 หมายความว่า ค่าความแข็ง 75 ใช้ลูกบอลเหล็ก ขนาดเส้นผ่านศูนย์กลาง 10 มิลลิเมตร ภาระ 500 กิโลกรัมแรง เป็นระยะเวลา 30 วินาที สำหรับการทดสอบโลหะที่มีความแข็งมาก อาจใช้ลูกบอลหั่งสแตนคาร์บีดแทนลูกบอลเหล็ก เพื่อเปรียบเทียบการทดสอบความแข็งบริเนลล์กับวิธีการทดสอบความแข็งแบบอื่นๆ ลูกบอลเหล็กของบริเนลล์สามารถสร้างรอยกดที่ลึก และกว้าง ดังนั้นการทดสอบความแข็งจะเฉลี่ยความแข็งปริมาณเนื้อวัสดุที่มากกว่า ซึ่งจะให้ความถูกต้องกับโครงสร้างเกรนที่ขับช้อน และไม่สม่ำเสมอในความเป็นเนื้อเดียวกันของวัสดุ วิธีนี้ดีที่สุดเพื่อหาความแข็งมหาศาล โดยเฉพาะวัสดุที่โครงสร้างไม่เป็นเนื้อเดียวกัน (มอก., 2547)



รูปที่ 2.20 หลักการทดสอบความแข็งแบบบริเนลล์

ที่มา : มอก. (2547)

2.9 งานวิจัยที่เกี่ยวข้อง

Yucel Birol (2008) ได้ทำการศึกษาสมบัติทางกลของอะลูมิเนียมผสานชนิดไฮเปอร์ยูเทกติกของ A390 ที่ผ่านการหล่อแบบกึ่งแข็งโดยวิธีรังเทหล่อเย็น และการขึ้นรูปแบบ Thixoforming โดยชิ้นงานที่ผ่านการหล่อทั้ง 2 แบบนั้น ได้นำมาทำการมวิธีทางความร้อนด้วยขั้นตอนการอบละลายที่อุณหภูมิ 500 องศาเซลเซียส เป็นเวลา 6 ชั่วโมง และวนนำไปบ่มแข็งที่อุณหภูมิ 175 องศาเซลเซียส เป็นเวลา 6 ชั่วโมง จากนั้นนำไปทดสอบความแข็ง ผลการทดลองพบว่า ชิ้นงานอะลูมิเนียม A390 ที่ผ่านการขึ้นรูปแบบ Thixoforming มีค่าความแข็งสูงกว่าชิ้นงานอะลูมิเนียม A390 ที่ผ่านการหล่อแบบกึ่งแข็งโดยวิธีรังเทหล่อเย็น เนื่องจากชิ้นงานอะลูมิเนียม A390 ที่ผ่านการขึ้นรูปแบบ Thixoforming โครงสร้างทางจุลภาคมีลักษณะเป็นแบบกลมๆ จึงทำให้มีค่าความแข็งที่สูงกว่า

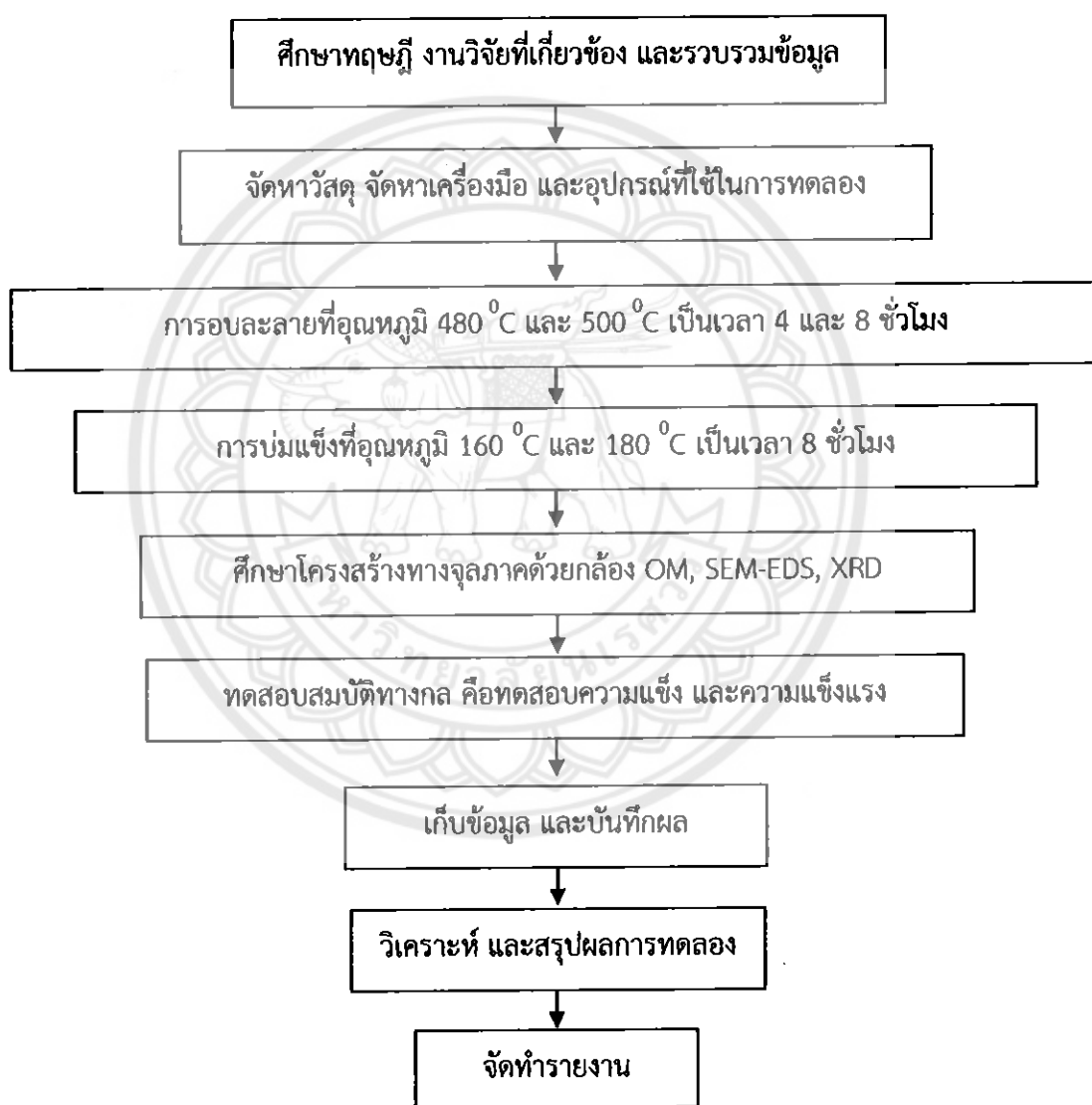
M. Gupta และ E.J. Lavernia (1995) ได้ทำการศึกษาผลของการขึ้นรูปโดยการหล่อแบบด้วยเดิม การขึ้นรูปแบบ Spray-Deposited ที่มีผลต่อโครงสร้างทางจุลภาค และสมบัติความแข็ง หลังผ่านกรรมวิธีทางความร้อนของชิ้นงานอะลูมิเนียม-ซิลิคอน A390 โดยการอบละลายที่อุณหภูมิ 480, 490, 500 องศาเซลเซียส เป็นเวลา 1, 3 และ 5 ชั่วโมงตามลำดับ และวนนำมารอบน้ำ จากการศึกษาโครงสร้างทางจุลภาคด้วยกล้องจุลทรรศน์แบบแสง พบว่าชิ้นงานที่ผ่านการขึ้นรูปโดยการหล่อแบบด้วยเดิมจะมีเฟสยูเทกติกอะลูมิเนียม-ซิลิคอนที่มีลักษณะเป็นแท่งยาว ปลายแหลม และชิ้นงานที่ขึ้นรูปแบบ Spray-Deposited มีเฟสยูเทกติกอะลูมิเนียม-ซิลิคอน ที่มีลักษณะกลมมนกรวยอยู่บนเฟสแอลฟ่า-อะลูมิเนียม และจากการทดสอบความแข็งแบบวิกเกอร์ส พบว่าชิ้นงานที่ขึ้นรูปแบบ Spray-Deposited ซึ่งผ่านการอบละลายที่อุณหภูมิ 480 องศาเซลเซียส เป็นเวลา 1 ชั่วโมงมีค่าความแข็งสูงสุด และชิ้นงานที่ผ่านการขึ้นรูปโดยการหล่อแบบด้วยเดิมซึ่งผ่านการอบละลายที่อุณหภูมิ 500 องศาเซลเซียส เป็นเวลา 3 ชั่วโมงมีความแข็งสูงสุด

บทที่ 3

วิธีการดำเนินโครงการ

3.1 ขั้นตอน และระเบียบวิธีวิจัยที่ใช้ในการทำโครงการ

ในการศึกษาผลของกรรมวิธีทางความร้อนต่อโครงสร้างทางจุลภาค และสมบัติทางกลของอะลูมิเนียมผสมหล่อ เกรด A390 ขั้นตอนการดำเนินงาน แสดงดังรูปที่ 3.1 ดังต่อไปนี้



3.2 วัสดุ และอุปกรณ์

3.2.1 วัสดุที่ใช้ในงานวิจัย

อะลูมิเนียมพสมหล่อ เกรด A390 ที่ขึ้นรูปโดยวิธีการหล่อแบบแม่พิมพ์ภาว (Gravity Die Casting) ซึ่งมีส่วนผสมทางเคมี แสดงดังตารางที่ 3.1

ตารางที่ 3.1 ส่วนผสมทางเคมีของอะลูมิเนียมพสมหล่อ เกรด A390

| ธาตุ | ร้อยละโดยน้ำหนัก | ธาตุ | ร้อยละโดยน้ำหนัก |
|------|------------------|------|------------------|
| Si | 17.4463 | Cr | 0.0906 |
| Cu | 5.0106 | Pb | 0.0431 |
| Fe | 1.0417 | Ti | 0.0324 |
| Mg | 0.5410 | Sn | 0.0177 |
| Zn | 0.3427 | V | 0.0093 |
| Mn | 0.2369 | P | 0.0058 |
| Ni | 0.1619 | Al | Balance |

3.2.2 อุปกรณ์ที่ใช้ในการทดลอง และวิเคราะห์ผลการทดลอง

3.2.2.1 อุปกรณ์ในการเตรียมชิ้นงาน

- ก. เครื่องตัดชิ้นงาน
- ข. เตาอบอุณหภูมิสูง
- ค. เครื่องขัดโลหะ
- ง. กระดาษทราย เบอร์ 180, 320, 500 และ 1000
- จ. ผงขัดอะลูมินาความละเอียด 1 และ 0.3 มิครอน

3.2.2.2 สารเคมี

- ก. ไฮโดรฟูโรอลิค (HF)
- ข. น้ำกลั่น

3.2.2.3 อุปกรณ์ในการวิเคราะห์ผลการทดลอง

- ก. กล้องจุลทรรศน์แบบแสง (Optical Microscope)
- ข. กล้องจุลทรรศน์อิเล็กตรอนแบบส่องกราด (Scanning Electron Microscopy : SEM)
- ค. เครื่องเอกซเรย์ดิฟแฟร์กโนมิเตอร์ (X-ray diffractometer: XRD)
- ง. เครื่องทดสอบความแข็งแบบบรินเนลล์ (Brinell Hardness Test)
- จ. เครื่องทดสอบความแข็งแรง (Tensile Test)

3.3 ขั้นตอนการดำเนินการวิจัย

3.3.1 ศึกษาทฤษฎี และรวมรวมข้อมูล

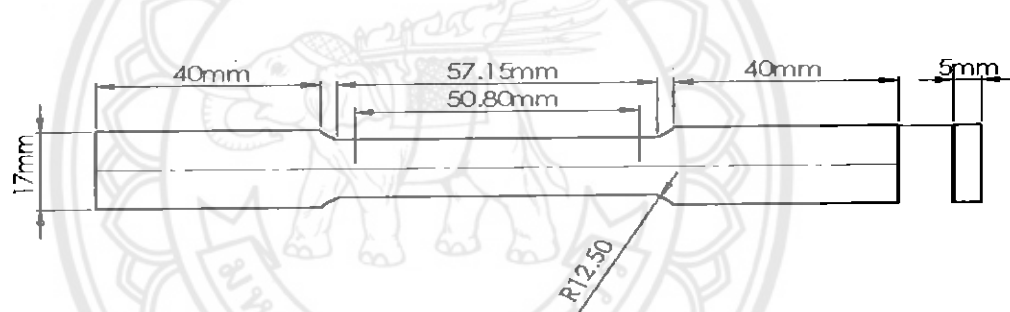
- ทฤษฎีเกี่ยวกับการหล่อแบบแม่พิมพ์ถาวร
- ทฤษฎีเกี่ยวกับอัลูมิเนียมผสมหล่อ
- ทฤษฎีเกี่ยวกับกรรมวิธีทางความร้อนโดยการตกгонของอนุภาคขนาดเล็ก

3.3.2 การจัดหาวัสดุคุณภาพที่ใช้ในการทดลอง

อัลูมิเนียมผสมหล่อที่ใช้ในการทดลองคือ เกรด A390 และผ่านการหล่อแบบแม่พิมพ์ถาวร

3.3.3 นำชิ้นงานอะลูมิเนียมผสมที่ผ่านการหล่อมาตัดให้ได้ขนาดตามต้องการ

นำชิ้นงานอะลูมิเนียมผสมหล่อ เกรด A390 มาตัดให้ได้ขนาดตามที่ต้องการตามมาตรฐาน ASTM B557 ดังแสดงในรูปที่ 3.2



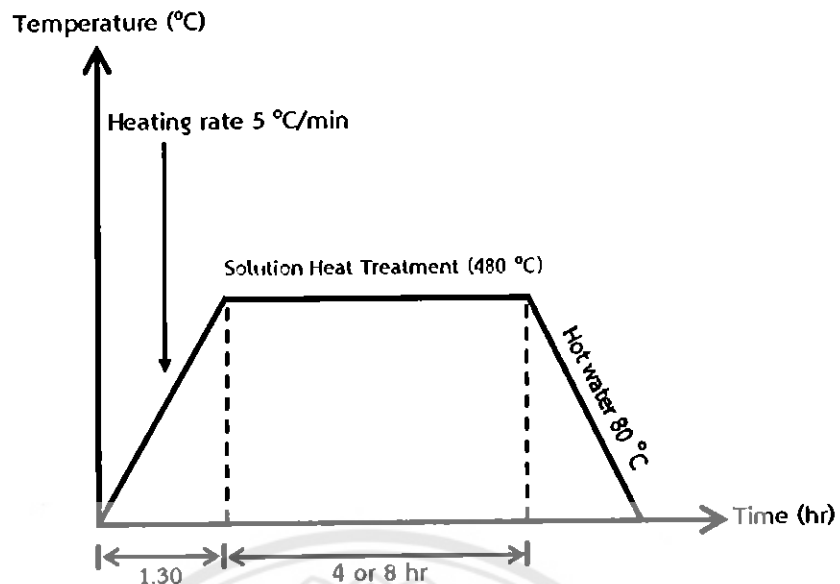
รูปที่ 3.2 ชิ้นงานที่นำไปทดสอบแรงดึง

3.3.4 กรรมวิธีทางความร้อนโดยการตกгонของอนุภาคขนาดเล็ก (Precipitation Hardening)

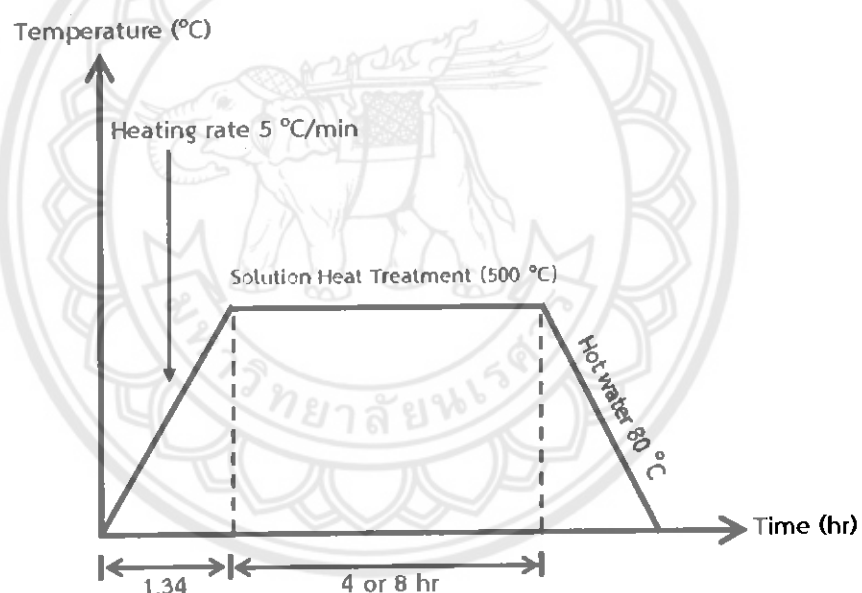
นำชิ้นงานที่ผ่านการหล่อ มาผ่านกรรมวิธีทางความร้อน ซึ่งประกอบด้วย

3.3.4.1 การอบละลาย (Solution Heat Treatment)

นำชิ้นงานไปทำการกรรมวิธีทางความร้อนโดยวิธีการอบละลายที่อุณหภูมิ 480 และ 500 องศาเซลเซียส เป็นเวลา 4 และ 8 ชั่วโมงตามลำดับ และออกมานอกเตา นำมาชุบน้ำที่อุณหภูมิ 80 องศาเซลเซียส แล้วนำมาทดสอบความแข็ง เพื่อหาค่าความแข็งสูงสุด ไปทำการบ่มแข็ง แสดงดังรูปที่ 3.3 และ รูปที่ 3.4



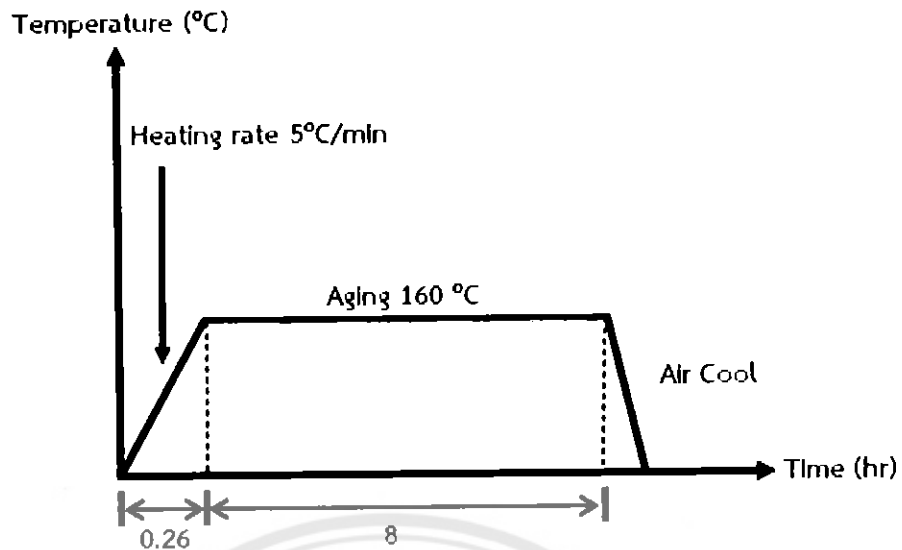
รูปที่ 3.3 การอบละลายที่อุณหภูมิ 480 องศาเซลเซียส เป็นเวลา 4 และ 8 ชั่วโมง



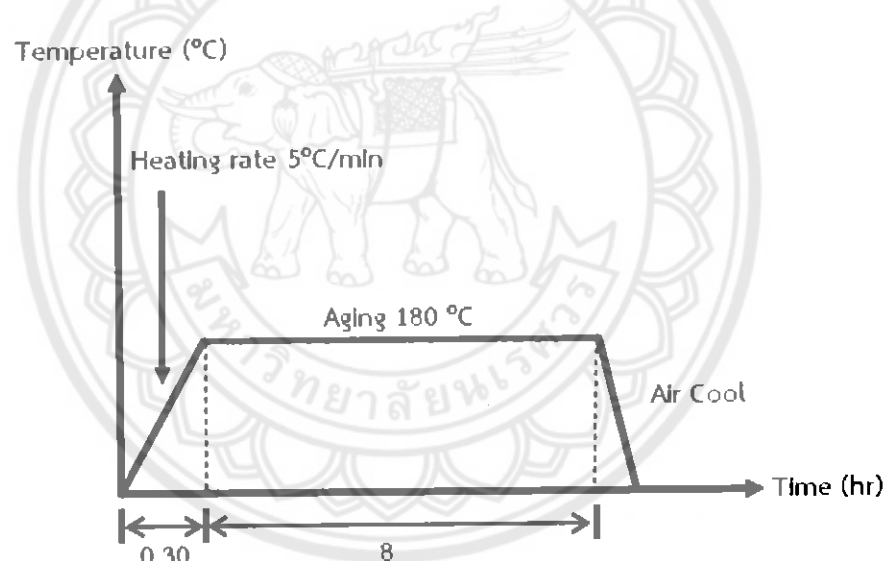
รูปที่ 3.4 การอบละลายที่อุณหภูมิ 500 องศาเซลเซียส เป็นเวลา 4 และ 8 ชั่วโมง

3.3.4.2 การบ่มแข็ง (Aging)

นำขึ้นงานที่ผ่านการอบละลาย และเมื่อนำไปทดสอบความแข็งแล้วมีค่าความแข็งสูงสุดมาทำการรวมวิธีทางความร้อนด้วยการบ่มแข็งที่อุณหภูมิ 160 และ 180 องศาเซลเซียส เป็นเวลา 8 ชั่วโมง และปล่อยให้เย็นตัวในอากาศ แสดงดังรูปที่ 3.5 และรูปที่ 3.6



รูปที่ 3.5 การบ่มแข็งที่อุณหภูมิ 160 องศาเซลเซียส เป็นเวลา 8 ชั่วโมง



รูปที่ 3.6 การบ่มแข็งที่อุณหภูมิ 180 องศาเซลเซียส เป็นเวลา 8 ชั่วโมง

3.3.5 ศึกษาโครงสร้างทางจุลภาค

3.3.5.1 การศึกษาโครงสร้างทางจุลภาคด้วยกล้องจุลทรรศน์แบบแสง

นำชิ้นงานก่อน และหลังผ่านกรรมวิธีทางความร้อน มาศึกษาโครงสร้างทางจุลภาคด้วยกล้องจุลทรรศน์แบบแสง เพื่อดูโครงสร้างทางจุลภาคโดยรวมของชิ้นงาน
ขั้นตอนการศึกษาโครงสร้างทางจุลภาค

- นำชิ้นงานก่อน และหลังผ่านกรรมวิธีทางความร้อน (Solution Heat Treatment and Aging) มาขัดด้วยกระดาษทราย จากเบอร์เทียนไปหาเบอร์ละเอียด ดังนี้ 180, 320, 500 และ 1000 ตามลำดับ

- นำชิ้นงานที่ผ่านการขัดในขั้นต้นมาขัดละเอียดด้วยผงอะลูมีนา (Alumina) ขนาด 1 และ 0.3 ไมครอน ตามลำดับ

- นำชิ้นงานที่ผ่านการขัดละเอียดมา กัดกรดไฮโดรฟูออลิค ร้อยละ 48 ในน้ำกลั่น 100 มิลลิลิตร โดยการนำชิ้นงานจุ่มลงในกรดแล้วล้างด้วยน้ำสะอาด เช็ด และเป่าให้แห้ง

- นำชิ้นงานที่กัดกรดเรียบร้อยแล้ว มาตรวจสอบโครงสร้างทางจุลภาคด้วยกล้องจุลทรรศน์แบบแสง (Optical Microscope)

3.3.5.2 การศึกษาลักษณะทางสัณฐานวิทยาด้วยกล้องจุลทรรศน์อิเล็กตรอนแบบส่องกราด

นำชิ้นงานก่อน และหลังผ่านกรรมวิธีทางความร้อนมาดูลักษณะทางสัณฐานวิทยาด้วยกล้องจุลทรรศน์อิเล็กตรอนแบบส่องกราด เพื่อดูโครงสร้างของชิ้นงานที่กำลังขยายสูง

ขั้นตอนการศึกษาลักษณะทางสัณฐานวิทยา

- นำชิ้นงานก่อน และหลังผ่านกรรมวิธีทางความร้อน มาขัดด้วยกระดาษจากเบอร์เทาไปหาละเอียด ดังนี้ 180, 320, 500 และ 1000 ตามลำดับ

- นำชิ้นงานที่ผ่านการขัดในขั้นต้นมาขัดละเอียดด้วยผงอะลูมีนา (Alumina) ขนาด 1 และ 0.3 ไมครอน ตามลำดับ

- นำชิ้นงานที่ขัดละเอียดแล้วมา กัดกรดด้วยกรดไฮโดรฟูออลิค ร้อยละ 48 ในน้ำกลั่น 100 มิลลิลิตร โดยการนำชิ้นงานจุ่มลงในกรดแล้วล้างด้วยน้ำสะอาด เช็ด และเป่าให้แห้ง

- นำชิ้นงานที่ผ่านการกัดกรดแล้ว มาตรวจสอบลักษณะสัณฐานวิทยาด้วยกล้องจุลทรรศน์อิเล็กตรอนแบบส่องกราด

- ใช้เทคนิคการวัดการกระจายพลังงานของรังสีเอกซ์ (EDXS) มาวิเคราะห์หาธาตุที่ตำแหน่งต่างๆ บนชิ้นงานก่อน และหลังผ่านกรรมวิธีทางความร้อน โดยจะเน้นที่เฟสแอลฟะอะลูมิเนียม (α -Al) เฟสซิลิคอนปูนภูมิ เฟสยูเก็ติกอะลูมิเนียม-ซิลิคอน และเฟสคอปเปอร์อะลูมิไนต์ ($CuAl_2$)

3.3.5.3 การศึกษาโครงสร้างผลึก และชนิดของสารประกอบด้วยเทคนิคการเลี้ยวเบนของรังสีเอกซ์

นำชิ้นงานก่อน และหลังผ่านกรรมวิธีทางความร้อน มาศึกษาโครงสร้างผลึก และชนิดของสารประกอบด้วยเทคนิคการเลี้ยวเบนของรังสีเอกซ์

ขั้นตอนการวิเคราะห์ตัวอย่าง

- นำชิ้นงานก่อน และหลังผ่านกรรมวิธีทางความร้อน มาขัดด้วยกระดาษจากเบอร์เทาไปหาละเอียด ดังนี้ 180, 320, 500 และ 1000 ตามลำดับ

- นำชิ้นงานที่ผ่านการขัดในขั้นต้นมาขัดละเอียดด้วยผงอะลูมีนา (Alumina) ขนาด 1 ไมครอน

- นำชิ้นงานไปตัดให้มีความหนาประมาณ 5 มิลลิเมตร
- นำชิ้นงานที่ได้ไปศึกษาโครงสร้างผลึก และชนิดของสารประกอบด้วยเทคนิคการเลี้ยงเบนของรังสีเอกซ์

3.3.6 ทดสอบสมบัติทางกล

3.3.6.1 การทดสอบความแข็ง

ทำการทดสอบความแข็งของชิ้นงานก่อน และหลังผ่านกรรมวิธีทางความร้อน โดยใช้เครื่องทดสอบความแข็งแบบบริเนลล์ โดยกดลงบนชิ้นงาน 10 จุดแบบสุ่ม จุดละประมาณ 15 วินาที แล้วหาค่าเฉลี่ย

ขั้นตอนการทดสอบความแข็งแบบบริเนลล์

- นำชิ้นงานก่อน และหลังผ่านกรรมวิธีทางความร้อน มาขัดด้วยกระดาษจากเบอร์หยาบไปหาละเอียด ดังนี้ 180, 320, 500 และ 1000 ตามลำดับ
- นำชิ้นงานที่ผ่านการขัดในขั้นตอนมาขัดละเอียดด้วยผงอะลูมินา (Alumina) ขนาด 1 มิลลิเมตร
- ใช้เครื่องวัดความแข็งแบบบริเนลล์ โดยมีน้ำหนักกด 62.5 กิโลกรัม กดลงบนชิ้นงาน 10 จุดแบบสุ่ม จุดละประมาณ 15 วินาที

3.3.6.2 การทดสอบความแข็งแรง

ทำการทดสอบความแข็งแรงของชิ้นงานก่อน และหลังผ่านกรรมวิธีทางความร้อนโดยใช้เครื่องทดสอบแรงดึง จำนวนชิ้นงานทั้งหมด 9 ชิ้นงาน

ขั้นตอนการทดสอบแรงดึง

- นำชิ้นงานในสภาพหล่อ, สภาพหลังการอบละลายที่อุณหภูมิ 500 องศาเซลเซียส เป็นเวลา 4 ชั่วโมง และสภาพหลังการอบละลายที่อุณหภูมิ 500 เป็นเวลา 4 ชั่วโมงผ่านการบ่มแข็งที่อุณหภูมิ 180 องศาเซลเซียส เป็นเวลา 8 ชั่วโมง ขึ้นรูปให้มีขนาดตามมาตรฐาน ASTM B557 สภาพหละ 3 ชิ้นงาน

- ใช้เครื่องทดสอบแรงดึง น้ำหนักดึง 50 กิโลนิวตัน ดึงชิ้นงานด้วยความเร็ว 5 มิลลิเมตรต่อนาที

3.3.7 วิเคราะห์ และสรุปผลการทดลอง

นำข้อมูลที่ได้มาวิเคราะห์ความสัมพันธ์ระหว่างโครงสร้างทางจุลภาค และสมบัติทางกล ของชิ้นงานก่อน และหลังผ่านกรรมวิธีทางความร้อน แล้วทำการสรุปผลการทดลอง

3.3.8 จัดทำรายงาน

จัดทำเอกสารรวมผลการทดลอง และสรุปผลการทดลอง

บทที่ 4

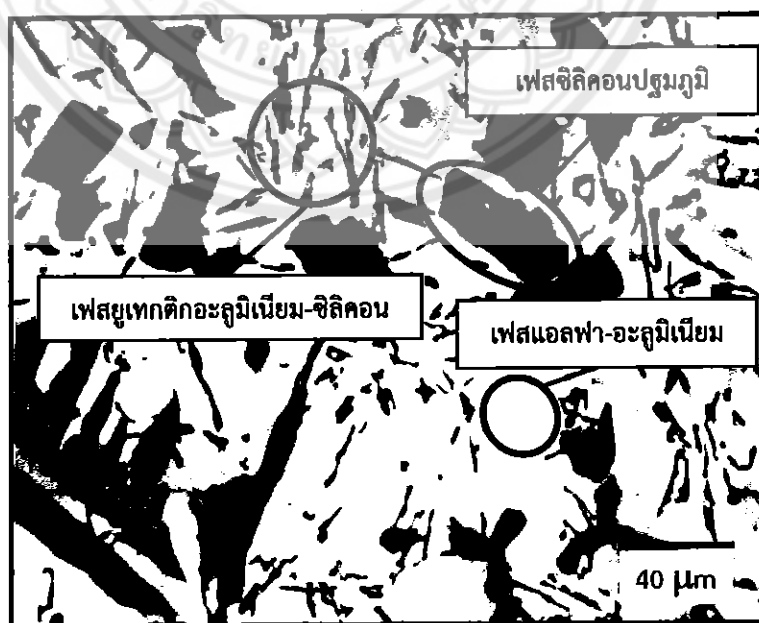
ผลการทดลอง และการวิเคราะห์

ในบทนี้จะกล่าวถึงผลการทดลอง และวิเคราะห์ผลการทดลองของชิ้นงานก่อน และหลังผ่านกรรมวิธีทางความร้อนต่อโครงสร้างทางจุลภาค และสมบัติทางกลของอะลูมิเนียมผสมหล่อ เกรด A390 ดังรายละเอียดต่อไปนี้

4.1 ผลการศึกษาอะลูมิเนียมผสมหล่อ เกรด A390 ในสภาพหล่อ

4.1.1 การศึกษาโครงสร้างทางจุลภาค

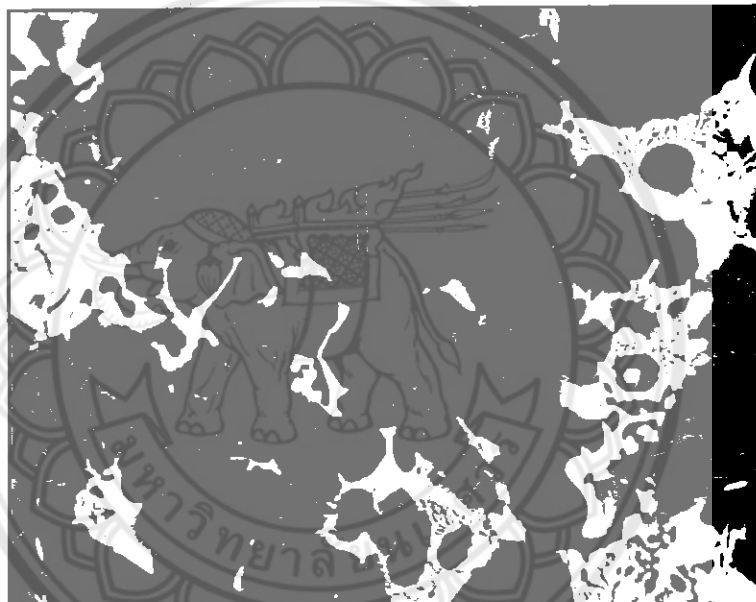
การศึกษาโครงสร้างทางจุลภาคของชิ้นงานอะลูมิเนียมผสมหล่อ เกรด A390 (อะลูมิเนียม-ซิลิคอน-ทองแดง) ซึ่งเป็นอะลูมิเนียมผสมแบบไฮเปอร์ยูเทกติก ที่ได้ผ่านการขึ้นรูปด้วยวิธีการหล่อแบบแม่พิมพ์ถาวร (Gravity Die Casting) จากการศึกษาด้วยกล้องจุลทรรศน์แบบแสง พบร้าโครงสร้างทางจุลภาคประกอบด้วย เฟสซิลิคอนปฐมภูมิมีลักษณะเป็นแผ่นสีเทาเข้มขนาดใหญ่ เฟสแอลfa-อะลูมิเนียม (α -Al) เป็นสีขาว เฟสยูเทกติกอะลูมิเนียม-ซิลิคอนมีลักษณะเป็นแท่งยาว ปลายแหลม และบริเวณที่เป็นสีเทาอ่อน แสดงดังรูปที่ 4.1 และการนับร้อยละโดยพื้นที่ของเฟส ยูเทกติกอะลูมิเนียม-ซิลิคอน พบว่ามีปริมาณเฟสยูเทกติกอะลูมิเนียม-ซิลิคอนร้อยละ 41.684 โดยพื้นที่ของชิ้นงานในสภาพหล่อ ดังตารางที่ 4.5



รูปที่ 4.1 โครงสร้างทางจุลภาคของชิ้นงานในสภาพหล่อจากกล้องจุลทรรศน์แบบแสง

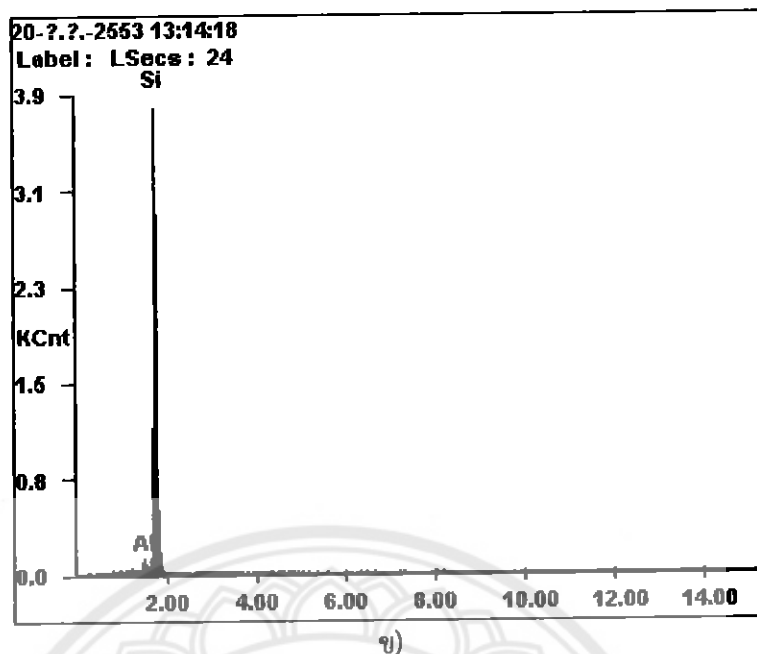
4.1.2 การศึกษาลักษณะทางสัณฐานวิทยา

การศึกษาลักษณะทางสัณฐานวิทยาด้วยกล้องจุลทรรศน์อิเล็กตรอนแบบส่องกราดที่กำลังขยายสูงขึ้น ทำให้เห็นเฟสซิลิค่อนปฐมภูมิที่ชัดลึกขึ้น โดยเฟสซิลิค่อนปฐมภูมิที่มีลักษณะเป็นแผ่นสีเทาขนาดใหญ่ เมื่อทำการวิเคราะห์การกระจายตัวของธาตุด้วยเทคนิคการวัดการกระจายพลังงานของรังสีเอกซ์ (EDXS) พบว่าเฟสซิลิค่อนปฐมภูมิในสภาพหล่อ มีองค์ประกอบของธาตุซิลิค่อน และอะลูมิเนียม แสดงดังรูปที่ 4.2 ซึ่งพบว่ามีธาตุซิลิค่อนในปริมาณสูง เนื่องจากเมื่อเกิดการเย็นตัวของชิ้นงาน ผลึกของซิลิค่อนจะเกิดขึ้นก่อน และมีปริมาณมากขึ้น โดยมีปริมาณของอะลูมิเนียมบางส่วนที่ละลายอยู่ในซิลิค่อน จึงทำให้เห็นการวิเคราะห์องค์ประกอบของธาตุทั้งซิลิค่อน และอะลูมิเนียม แสดงดังตารางที่ 4.1



ก)

รูปที่ 4.2 การวัดการกระจายพลังงานของรังสีเอกซ์ (EDXS) บริเวณเฟสซิลิค่อนปฐมภูมิในสภาพหล่อ ก) ภาพ Back Scattered Electron Image (BEI) ของเฟสซิลิค่อนปฐมภูมิของชิ้นงานในสภาพหล่อ

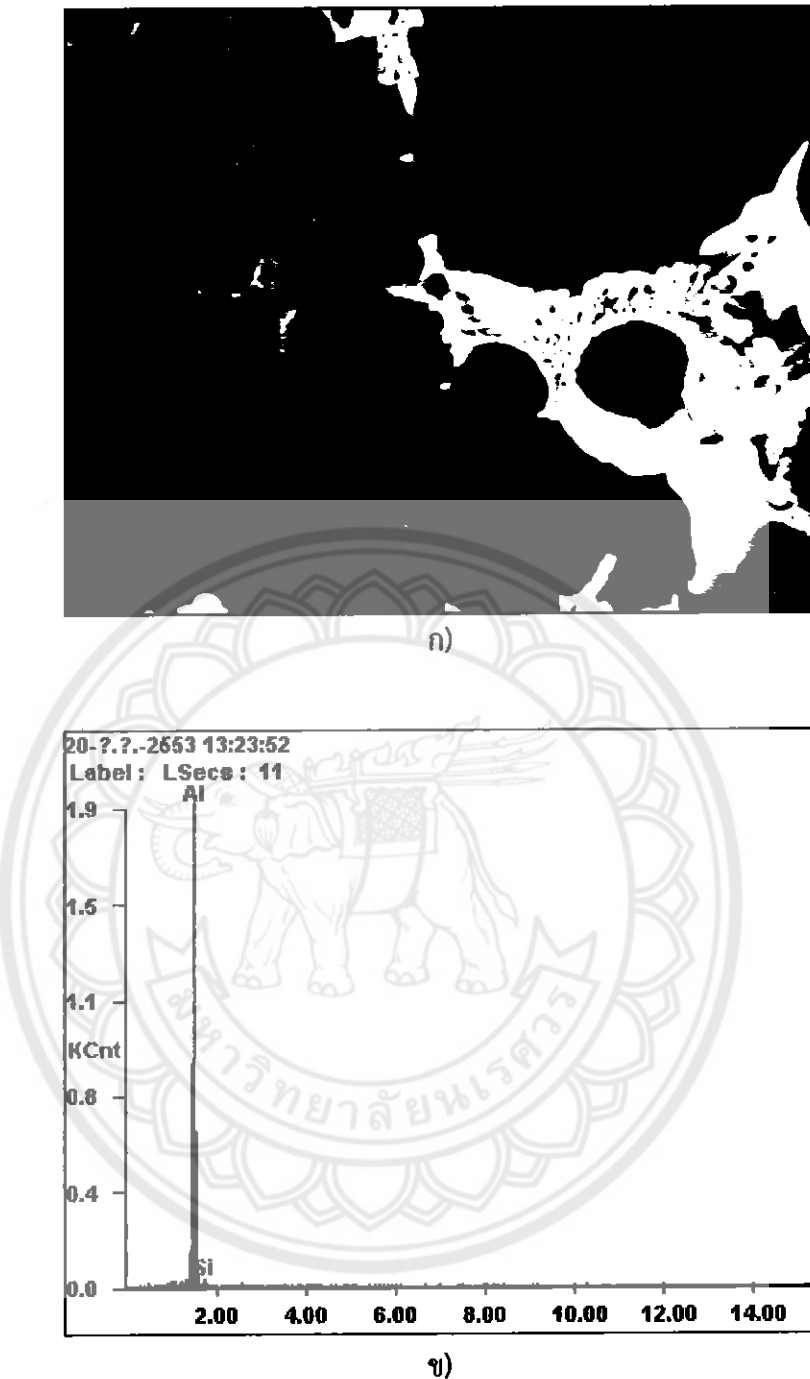


รูปที่ 4.2 (ต่อ) การวัดการกระจายพลังงานของรังสีเอกซ์ (EDXS) บริเวณเฟสซิลิคอนปฐมภูมิในสภาพหล่อ
ข) สเปกตรัมของเฟสซิลิคอนปฐมภูมิของชิ้นงานในสภาพหล่อ

ตารางที่ 4.1 การวิเคราะห์องค์ประกอบของธาตุเฟสซิลิคอนปฐมภูมิของชิ้นงานในสภาพหล่อ

| ธาตุ | ร้อยละโดยน้ำหนัก |
|-------------|------------------|
| ซิลิคอน | 97.65 |
| อะลูมิเนียม | 02.35 |

การศึกษาลักษณะทางสัณฐานวิทยาของเฟสแอลฟा-อะลูมิเนียม และการวิเคราะห์การกระจายตัวของธาตุด้วยเทคนิคการวัดการกระจายพลังงานของรังสีเอกซ์ (EDXS) พบว่าเฟสแอลฟ่า-อะลูมิเนียม มีองค์ประกอบของธาตุอะลูมิเนียม และซิลิคอน แสดงดังรูปที่ 4.3 โดยมีธาตุอะลูมิเนียม ในปริมาณสูง เนื่องจากเฟสแอลฟ่า-อะลูมิเนียม มีธาตุหลัก คืออะลูมิเนียม และในเฟสนี้ผลึกของซิลิคอนบางส่วนและลายอยู่ในอะลูมิเนียมจึงทำให้เห็นการวิเคราะห์องค์ประกอบของธาตุทั้งอะลูมิเนียม และซิลิคอน แสดงดังตารางที่ 4.2



รูปที่ 4.3 การวัดการกระจายพลังงานของรังสีเอกซ์ (EDXS) เฟสแอลฟा-อะลูมิเนียมในสภาพหล่อ
ก) ภาพ BEI ของเฟสแอลฟ่า-อะลูมิเนียม ของชิ้นงานในสภาพหล่อ
ข) สเปกตรัมของธาตุเฟสแอลฟ่า-อะลูมิเนียม ของชิ้นงานในสภาพหล่อ

ตารางที่ 4.2 การวิเคราะห์องค์ประกอบของธาตุของเฟสแอลฟा-อะลูมิเนียมในสภาพหล่อ

| ธาตุ | ร้อยละโดยน้ำหนัก |
|-------------|------------------|
| อะลูมิเนียม | 98.83 |
| ซิลิคอน | 01.17 |

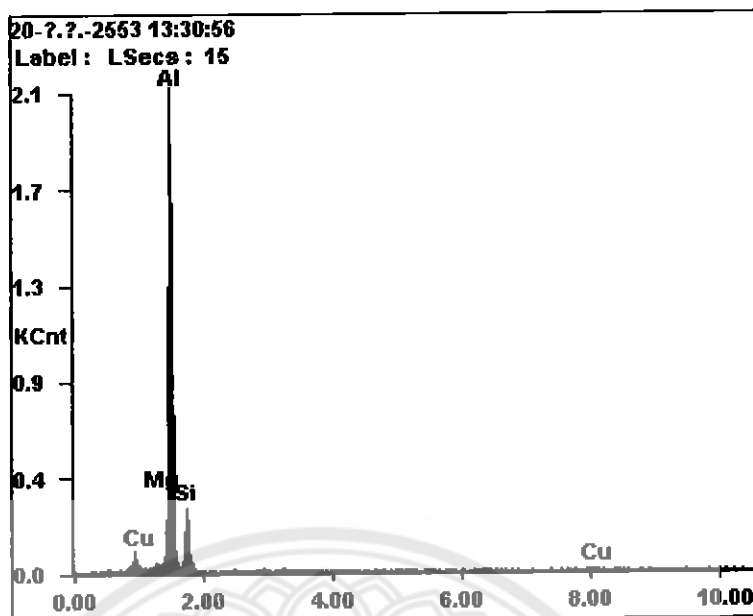
การศึกษาลักษณะทางสัณฐานวิทยาทำให้มองเห็นเฟสยูเทกติกอะลูมิเนียม-ซิลิคอนได้ชัดเจนมากยิ่งขึ้น ซึ่งเฟสยูเทกติกอะลูมิเนียม-ซิลิคอนที่มีลักษณะเป็นแท่งยาว ปลายแหลม เมื่อวิเคราะห์การกระจายตัวของธาตุด้วยเทคนิคการวัดการกระจายพลังงานของรังสีเอกซ์ (EDXS) พบว่ามีองค์ประกอบของธาตุอะลูมิเนียม ซิลิคอน ทองแดง และแมgnีเซียม แสดงดังรูปที่ 4.4 โดยมีธาตุอะลูมิเนียม และซิลิคอนในปริมาณสูง เนื่องจากเฟสยูเทกติกอะลูมิเนียม-ซิลิคอนเกิดจากของแข็ง ที่สลับกันอยู่ระหว่างซิลิคอน และอะลูมิเนียม จึงทำให้มีธาตุทองแดง และแมgnีเซียมบางส่วนละลายอยู่ในเฟสยูเทกติกอะลูมิเนียม-ซิลิคอนจึงทำให้เห็นการวิเคราะห์องค์ประกอบของธาตุทั้งอะลูมิเนียม ซิลิคอน ทองแดง และแมgnีเซียม แสดงดังตารางที่ 4.3



ก)

รูปที่ 4.4 การวัดการกระจายพลังงานของรังสีเอกซ์ (EDXS) เฟสยูเทกติกอะลูมิเนียม-ซิลิคอน ในสภาพหล่อ

ก) ภาพ BEI ของเฟสยูเทกติกอะลูมิเนียม-ซิลิคอนของชิ้นงานในสภาพหล่อ



ข)

รูปที่ 4.4 (ต่อ) การวัดการกระจายพลังงานของรังสีเอกซ์ (EDXS) บริเวณเฟสยูเทกติกอะลูมิเนียม-ชิลิคอนในสภาพหล่อ

ข) สเปกตรัมของธาตุเฟสยูเทกติกอะลูมิเนียม-ชิลิคอนของชิ้นงานในสภาพหล่อ

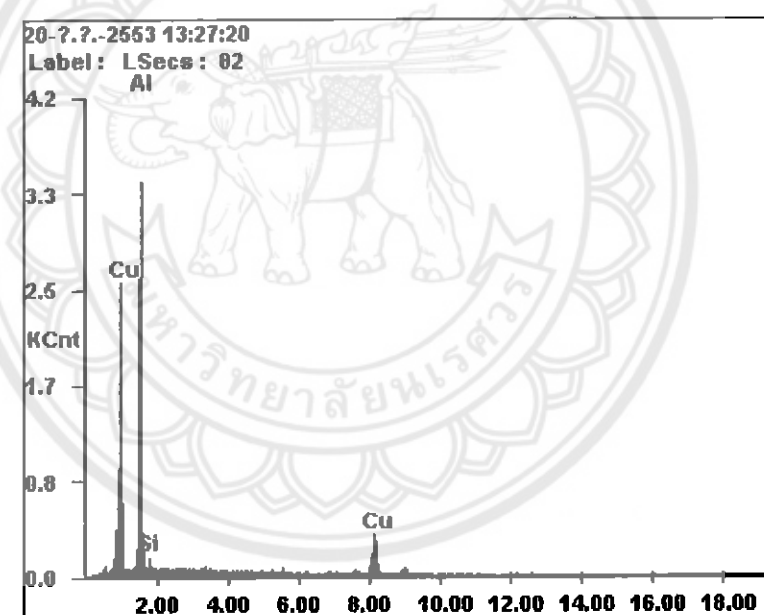
ตารางที่ 4.3 การวิเคราะห์องค์ประกอบของธาตุเฟสยูเทกติกอะลูมิเนียม-ชิลิคอนของชิ้นงานในสภาพหล่อ

| ธาตุ | ร้อยละโดยน้ำหนัก |
|-------------|------------------|
| อะลูมิเนียม | 71.08 |
| ชิลิคอน | 24.20 |
| ทองแดง | 03.23 |
| แมกนีเซียม | 01.48 |

การศึกษาลักษณะทางสัณฐานวิทยา และวิเคราะห์การกระจายตัวของธาตุด้วยเทคนิคการวัดการกระจายพลังงานของรังสีเอกซ์ (EDXS) พบว่ามีองค์ประกอบของธาตุอะลูมิเนียม ทองแดง และชิลิคอน แสดงดังรูปที่ 4.5 พบว่ามีธาตุอะลูมิเนียม และทองแดงในปริมาณสูง เนื่องจากทองแดงเป็นโลหะที่มีระบบผลึกเป็น FCC เมื่อกันกับอะลูมิเนียมจึงสามารถละลายได้ดีในอะลูมิเนียม และธาตุชิลิคอนละลายอยู่น้อยมากจึงทำให้เห็นการวิเคราะห์องค์ประกอบของธาตุทั้งอะลูมิเนียม ทองแดง และชิลิคอน แสดงดังตารางที่ 4.4



ก)



ข)

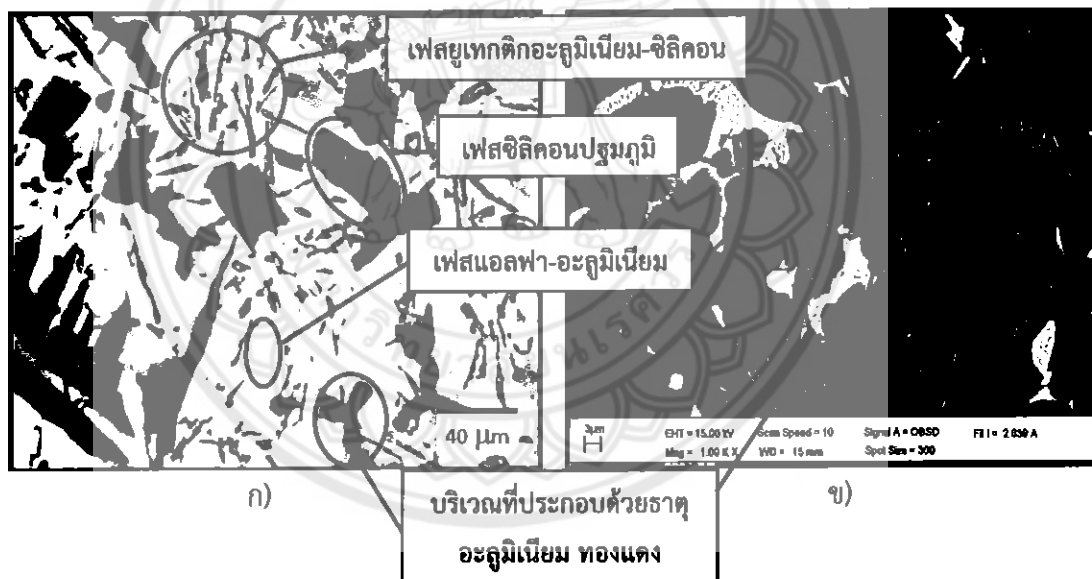
รูปที่ 4.5 การวัดการกระจายพลังงานของรังสีเอกซ์ (EDXS) บริเวณของธาตุอะลูมิเนียม ทองแดง และซิลิค่อน ชิ้นงานในสภาพหล่อ

- ก) ภาพ BEI ของธาตุอะลูมิเนียม ทองแดง และซิลิค่อน ของชิ้นงานในสภาพหล่อ
- ข) สเปกตรัมของธาตุของอะลูมิเนียม ทองแดง และซิลิค่อน ของชิ้นงานในสภาพหล่อ

ตารางที่ 4.4 การวิเคราะห์องค์ประกอบของธาตุของอะลูมิเนียม ทองแดง และซิลิโคน ของชิ้นงานในสภาพหล่อ

| ธาตุ | ร้อยละโดยน้ำหนัก |
|-------------|------------------|
| อะลูมิเนียม | 65.59 |
| ทองแดง | 32.03 |
| ซิลิโคน | 02.38 |

จากการศึกษาโครงสร้างทางจุลภาคด้วยกล้องจุลทรรศน์แบบแสง และกล้องจุลทรรศน์อิเล็กตรอนแบบส่องกราด พบเพสดังนี้ เฟสซิลิโคนปูร์มูนี เฟสแอลฟ้า-อะลูมิเนียม เฟสยูเทกติก อะลูมิเนียม-ซิลิโคน และบริเวณที่เป็นสีเทาอ่อนพบว่าประกอบด้วยธาตุอะลูมิเนียม ทองแดงเป็นหลัก และซิลิโคนเล็กน้อย แสดงดังรูปที่ 4.6 ก) กล้องจุลทรรศน์แบบแสง และ ข) กล้องจุลทรรศน์อิเล็กตรอนแบบส่องกราด

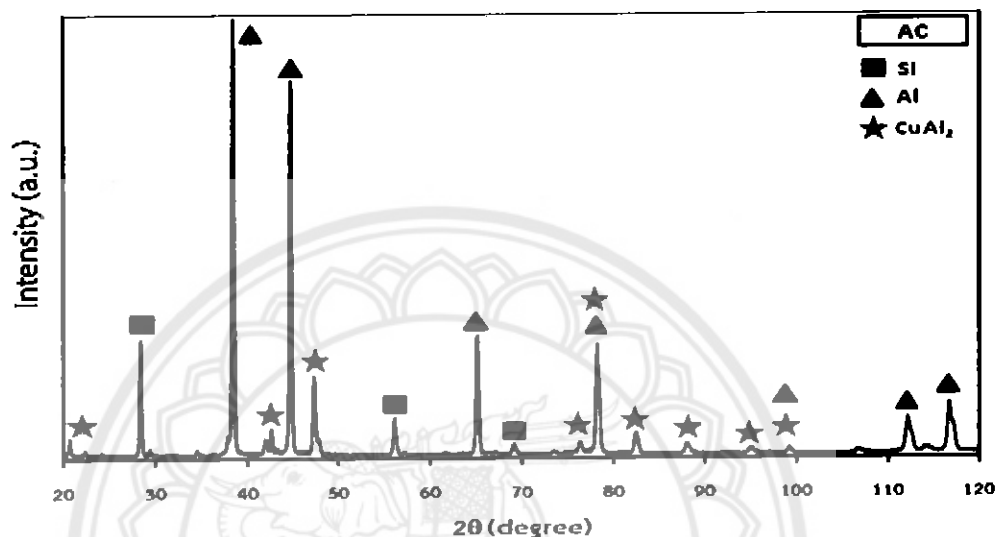


รูปที่ 4.6 โครงสร้างทางจุลภาคของชิ้นงานในสภาพหล่อ

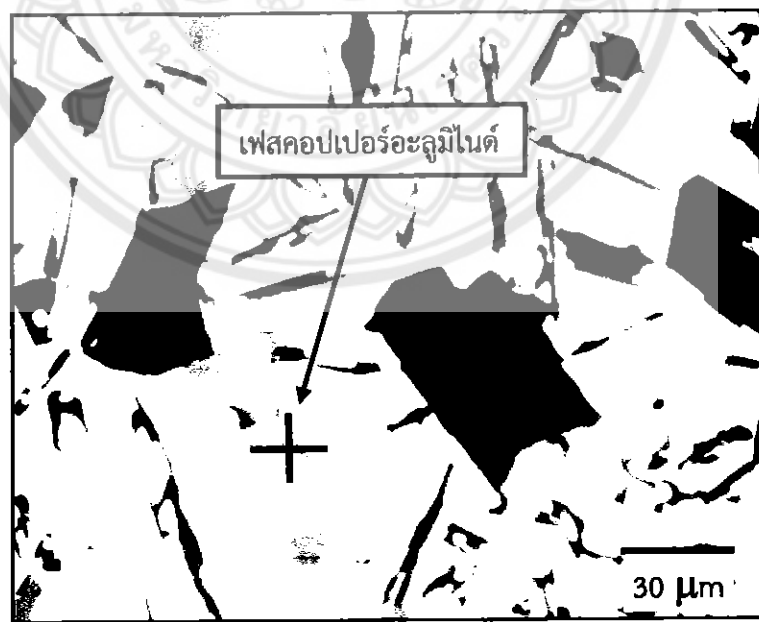
- ก) โครงสร้างทางจุลภาคของชิ้นงานในสภาพหล่อจากกล้องจุลทรรศน์แบบแสง
- ข) ลักษณะทางสัณฐานวิทยาของชิ้นงานในสภาพหล่อจากกล้องจุลทรรศน์อิเล็กตรอนแบบส่องกราด

4.1.3 การศึกษาโครงสร้างผลึก และชนิดของสารประกอบ

การศึกษาโครงสร้างผลึก และชนิดของสารประกอบด้วยเทคนิคการเลี้ยวเบนของรังสี-เอกซ์ (XRD) ของชิ้นงานในสภาพหล่อ พบว่าชิ้นงานประกอบด้วยเฟสซิลิค่อน อะลูมิเนียม และเฟส คอปเปอร์อะลูมิโน่ (CuAl₂) แสดงดังรูปที่ 4.7 โดยจากกล้องจุลทรรศน์แบบแสงจะสังเกตเห็นเฟส คอปเปอร์อะลูมิโน่เป็นสีเทาอ่อน แสดงดังรูปที่ 4.8



รูปที่ 4.7 การเลี้ยวเบนของรังสี-เอกซ์ของชิ้นงานในสภาพหล่อ



รูปที่ 4.8 โครงสร้างทางจุลภาคของชิ้นงานในสภาพหล่อ

4.1.4 การศึกษาสมบัติทางกลของชิ้นงานในสภาพหล่อ

4.1.4.1 ผลการทดสอบความแข็ง

จากการทดสอบความแข็งของชิ้นงานอะลูมิเนียมผสมหล่อ เกรด A390 ในสภาพหล่อ ด้วยเครื่องวัดความแข็งแบบบรินอล์ (Brinell Hardness Test) ในการวัดค่าความแข็งจะนำชิ้นงานแต่ละชิ้น มาวัดความแข็งแบบสุ่มจำนวน 10 จุด โดยใช้หัวกดลูกบอล น้ำหนักกด 62.5 กิโลกรัม ใช้เวลากด 15 วินาทีต่อจุด พบร่วมค่าความแข็งของชิ้นงานมีค่าเฉลี่ยเท่ากับ 131.760 HB และมีค่าส่วนเบี่ยงมาตรฐานเท่ากับ 3.444 ดังตารางที่ ค.1

4.1.4.2 ผลการทดสอบความแข็งแรง

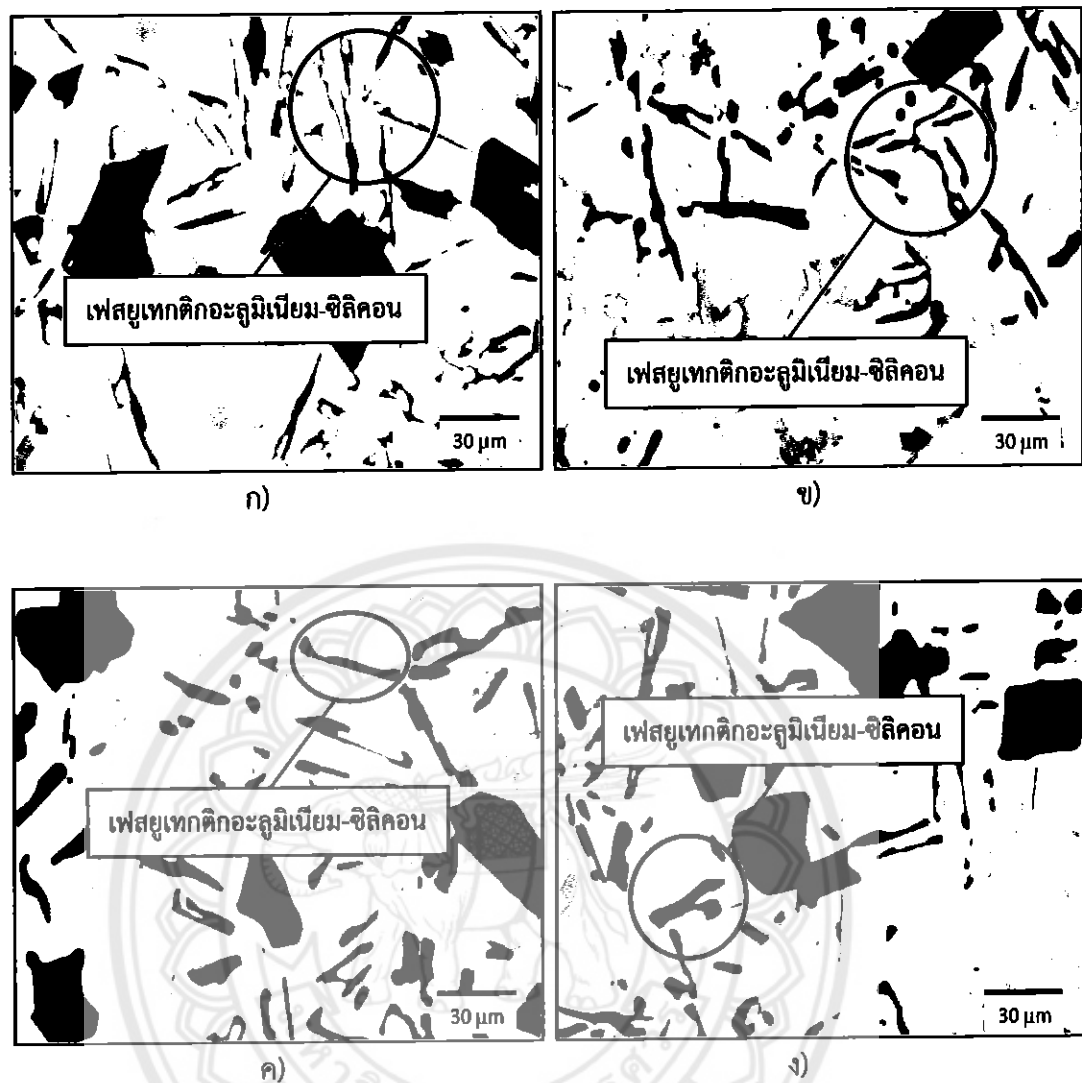
ผลการศึกษาความแข็งแรงของชิ้นงานอะลูมิเนียมผสมหล่อ เกรด A390 ในสภาพหล่อ ด้วยเครื่องทดสอบแรงดึง (Tensile Test) การวัดค่าความแข็งแรงจะนำชิ้นงานที่ขึ้นรูปตามมาตรฐาน ASTM B557 พบร่วมค่าความแข็งแรงเท่ากับ 95.817 MPa ดังตารางที่ ค.2

4.2 ผลการศึกษาอะลูมิเนียมผสมหล่อ A390 หลังผ่านการอบละลาย

เมื่อนำชิ้นงานหลังผ่านการอบละลายที่อุณหภูมิ 480 องศาเซลเซียส และ 500 องศาเซลเซียส เป็นเวลา 4 และ 8 ชั่วโมงตามลำดับ จากนั้นนำไปซุบน้ำที่อุณหภูมิ 80 องศาเซลเซียส ได้ผลการทดลองดังต่อไปนี้

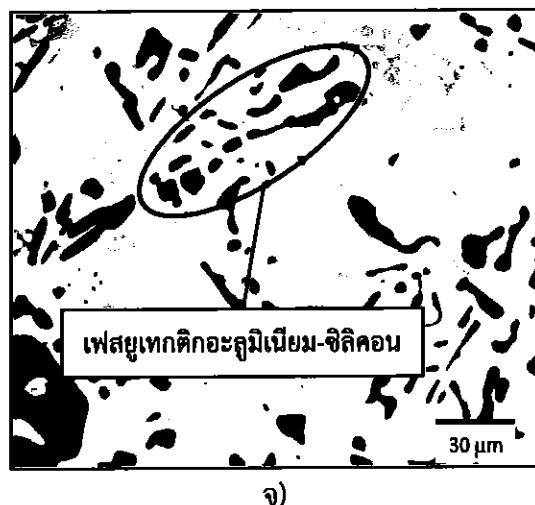
4.2.1 ผลการศึกษาโครงสร้างทางจุลภาค

จากการศึกษาโครงสร้างทางจุลภาคของชิ้นงานในสภาพหล่อ และหลังผ่านการอบละลาย แสดงดังรูปที่ 4.9 ก) - จ) ในขั้นตอนการอบละลายส่งผลให้มีการแพร่ของอะtomชิลิคอนออกจากเฟสยูเทกติกอะลูมิเนียม-ชิลิคอน และละลายเข้าในเฟสแอลฟा-อะลูมิเนียม (King, 1987) เมื่อพิจารณาร่วมกับเฟสไดอะแกรมของอะลูมิเนียม-ชิลิคอน บอกได้ว่าเมื่ออุณหภูมิของชิ้นงานเพิ่มขึ้นทำให้อะtomของชิลิคอนสามารถเคลย้ายเข้าในเฟสแอลฟ่า-อะลูมิเนียมได้มากขึ้น ซึ่งสอดคล้องกับรูปร่างและลักษณะของเฟสยูเทกติกอะลูมิเนียม-ชิลิคอน โดยชิ้นงานในสภาพหล่อ เฟสยูเทกติกอะลูมิเนียม-ชิลิคอน มีรูปร่างเป็นแท่งยาว ปลายแหลม ดังแสดงในรูปที่ 4.9 ก) เมื่อชิ้นงานผ่านขั้นตอนการอบละลาย พบร่วมค่ารูปร่างของเฟสยูเทกติกอะลูมิเนียม-ชิลิคอนมีการเปลี่ยนแปลงรูปร่างจากที่มีลักษณะเป็นแท่งยาว ปลายแหลม เป็นรูปสามเหลี่ยม แสดงในรูปที่ 4.9 ข) และการนับร้อยละโดยพื้นที่ของเฟสยูเทกติกอะลูมิเนียม-ชิลิคอน พบร่วมค่ารูปร่างของชิ้นงานหลังการอบละลาย ดังตารางที่ ข.5



รูปที่ 4.9 โครงสร้างทางจุลภาคของชิ้นงานสภาพหล่อ และหลังผ่านการอบละลาย ชุบน้ำที่อุณหภูมิ 80 องศาเซลเซียส จากกล่องจุลทรรศน์แบบแสง

- ก) ชิ้นงานในสภาพหล่อ
- ข) ชิ้นงานหลังผ่านการอบละลายที่อุณหภูมิ 480 องศาเซลเซียส เป็นเวลา 4 ชั่วโมง
- ค) ชิ้นงานหลังผ่านการอบละลายที่อุณหภูมิ 500 องศาเซลเซียส เป็นเวลา 4 ชั่วโมง
- ง) ชิ้นงานหลังผ่านการอบละลายที่อุณหภูมิ 480 องศาเซลเซียส เป็นเวลา 8 ชั่วโมง

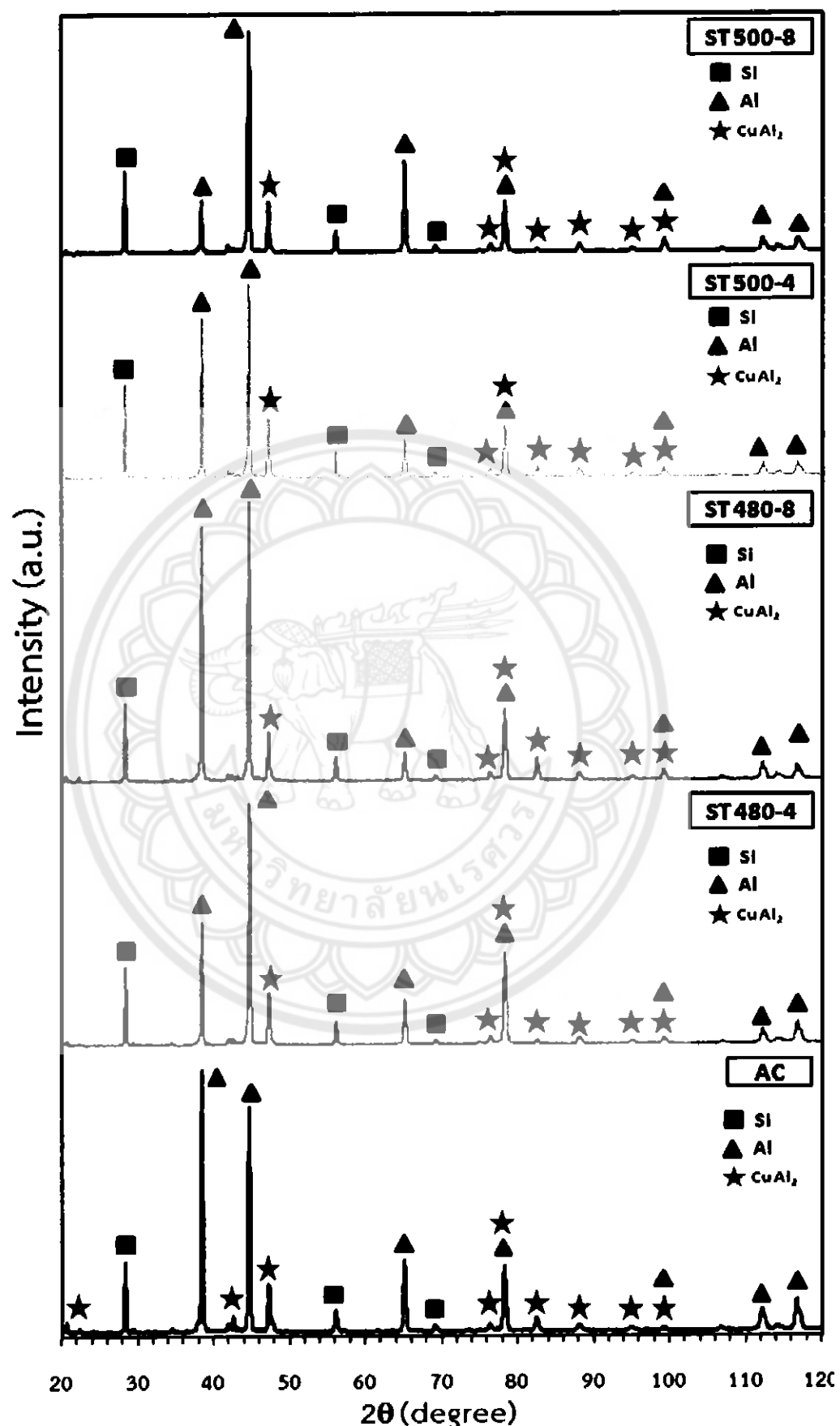


จ)

รูปที่ 4.9 (ต่อ) โครงสร้างทางจุลภาคของชิ้นงานสภาพหล่อ และหลังผ่านการอบละลาย ชุบน้ำที่ อุณหภูมิ 80 องศาเซลเซียส จากกล้องจุลทรรศน์แบบแสง
จ) ชิ้นงานหลังผ่านการอบละลายที่อุณหภูมิ 500 องศาเซลเซียส เป็นเวลา 8 ชั่วโมง

4.2.2 การศึกษาโครงสร้างผลึก และชนิดของสารประกอบ

จากการศึกษาโครงสร้างผลึก และชนิดของสารประกอบด้วยเทคนิคการเลี้ยวเบนของ รังสีเอกซ์ (XRD) ของชิ้นงานหลังผ่านการอบละลายที่อุณหภูมิ 480 และ 500 องศาเซลเซียส เป็น เวลา 4 และ 8 ชั่วโมง ตามลำดับ พบร่วมกันของเฟสซิลิคอนกับปรากฎฐาน เช่นเดียวกับชิ้นงานในสภาพหล่อ รวมถึงเฟสอะลูมิเนียม และเฟสคอปเปอร์อะลูมิโนไดออกไซด์ แต่ผลจากการอบละลายทำให้พิเศษ ของเฟสคอปเปอร์อะลูมิโนไดออกไซด์หายไปบางพื้นที่ เนื่องจากขั้นตอนการอบละลายทำให้เฟสคอปเปอร์อะลูมิ- โนไดออกไซด์บางส่วนละลายเข้าในเฟสแอลฟ่า-อะลูมิเนียม (มนัส, 2541) เมื่อทำให้ชิ้นงานเย็นตัวอย่างรวดเร็ว โดยการชุบลงในน้ำที่อุณหภูมิ 80 องศาเซลเซียส เฟสคอปเปอร์อะลูมิโนไดออกไซด์ที่เกินจุดอิ่มตัวที่ อุณหภูมิท้องจึงถูกกักกออยู่ในเฟสแอลฟ่า-อะลูมิเนียม และไม่มีโอกาสเคลื่อนที่แยกตัวออกจากเฟส แอลฟ่า-อะลูมิเนียมเป็นเฟสใหม่ แสดงดังรูปที่ 4.10

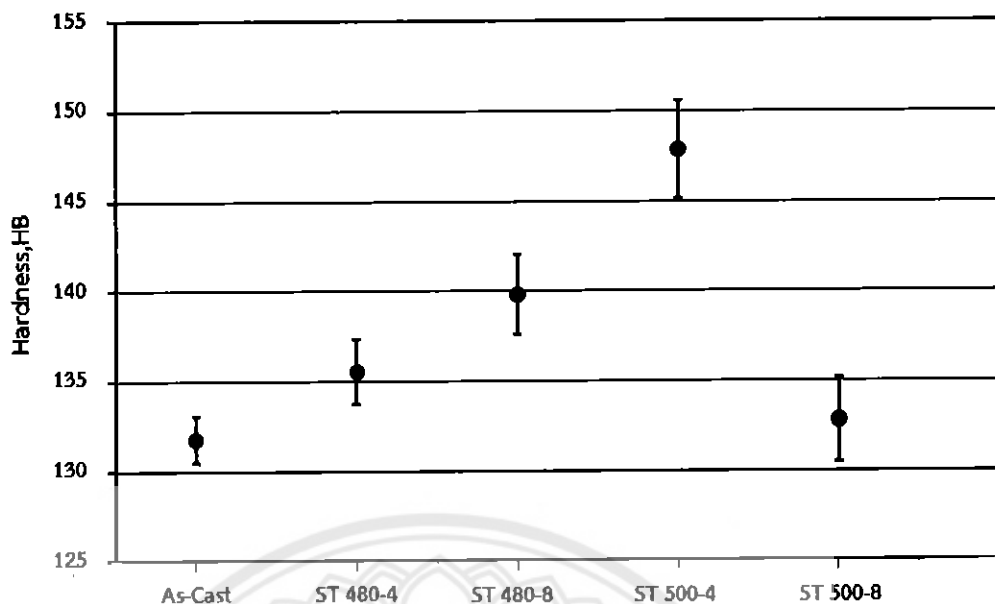


รูปที่ 4.10 การเดี้ยงเบนของรังสีเอกซ์ของขั้นงานหลังผ่านการอบ燔ถาย

4.2.3 การศึกษาสมบัติทางกลของขึ้นงานที่ผ่านการอบละลาย

4.2.3.1 ผลการทดสอบความแข็ง

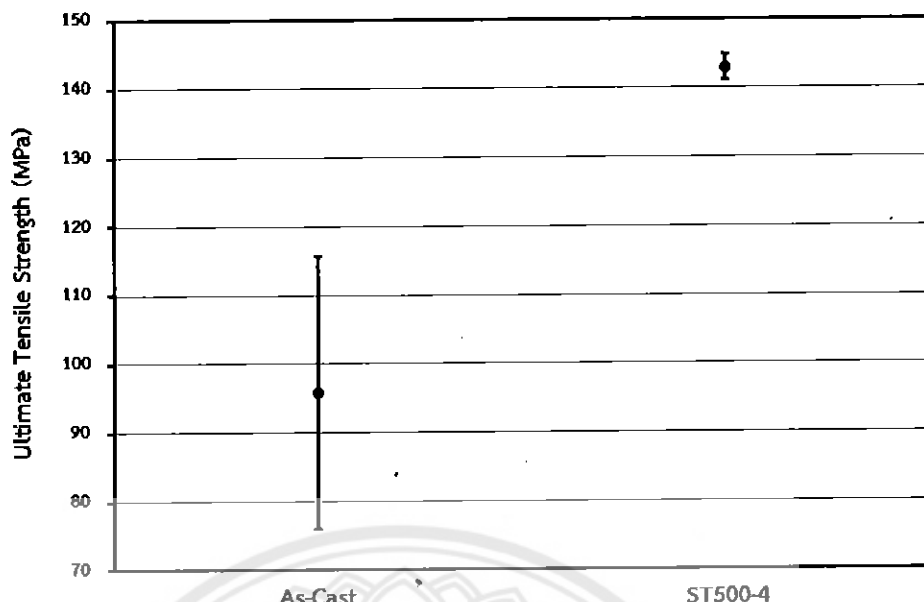
จากการทดสอบความแข็งของขึ้นงานในสภาพหล่อเม็ดค่าเท่ากับ 131.76 HB และหลังผ่านการอบละลายที่อุณหภูมิ 480 องศาเซลเซียส เป็นเวลา 4 และ 8 ชั่วโมง ตามลำดับ มีค่าความแข็งเฉลี่ยเท่ากับ 135.552 HB และ 139.826 HB ตามลำดับ และขึ้นงานหลังผ่านการอบละลายที่อุณหภูมิ 500 องศาเซลเซียส เป็นเวลา 4 และ 8 ชั่วโมง มีค่าความแข็งเฉลี่ยเท่ากับ 147.854 HB และ 132.804 HB ตามลำดับ ดังตารางที่ ค.ง และแสดงดังรูปที่ 4.11 จากผลการทดสอบความแข็งของขึ้นงานหลังผ่านการอบละลายพบว่าที่อุณหภูมิ 500 องศาเซลเซียส เป็นเวลา 4 ชั่วโมง มีค่าความแข็งสูงสุดเท่ากับ 147.854 HB เมื่อเปรียบเทียบความแข็งระหว่างขึ้นงานในสภาพหล่อ กับขึ้นงานหลังผ่านการอบละลายทำให้ทราบว่าความแข็งของขึ้นงานหลังผ่านการอบละลายมีค่าเพิ่มขึ้น เนื่องจากขึ้นงานหลังผ่านการอบละลายจะทำให้ธาตุซิลิคอนแพร์อกจากเฟสญูเทกติก อะลูมิเนียม-ซิลิคอนละลายเข้าเป็นเนื้อเดียวกับเฟสแอลฟा-อะลูมิเนียม จึงทำให้รูปร่างเฟสญูเทกติก อะลูมิเนียม-ซิลิคอนมีการเปลี่ยนแปลงรูปร่างจากเดิมที่มีลักษณะเป็นแท่งยาว ปลายแหลม เปลี่ยนไป มีลักษณะเป็นกลมมนขึ้น และเฟสครอบเปอร์อะลูมิโนไดบีบาร์ส่วนกีละลายเข้าเป็นเนื้อเดียวกับเฟส แอลฟ่า-อะลูมิเนียมเช่นเดียวกัน จากนั้นก็ทำให้ขึ้นงานเย็บตัวโดยการขับน้ำ้ที่อุณหภูมิ 80 องศาเซลเซียส เนื่องจากการเย็บตัวที่เกิดขึ้นทำให้อะตอมของธาตุซิลิคอน และคอปเปอร์อะลูมิโนต์ที่เกินจุดอิ่มตัวที่อุณหภูมิห้องจึงถูกกักอยู่ในเฟสแอลฟ่า-อะลูมิเนียม และไม่มีโอกาสเคลื่อนที่ออกจากเฟส แอลฟ่า-อะลูมิเนียมเพื่อเกิดเฟสใหม่ได้อีก อะตอมของซิลิคอน และคอปเปอร์อะลูมิโนต์ถือเป็นสิ่งแฝกกลมเนื้ออยู่ในเฟสแอลฟ่า-อะลูมิเนียมทำให้การเรียงตัวของอะตอมอะลูมิเนียมบิดเบี้ยวไปจากที่ควรจะเป็นก่อให้เกิดความเครียดขึ้น และส่งผลให้ขึ้นงานมีแรงต้านทานต่อแรงทางกลที่มากกว่าทำได้มากขึ้น และในทางตรงกันข้ามที่อุณหภูมิ 500 องศาเซลเซียส เป็นเวลา 8 ชั่วโมงมีค่าความแข็งลดลง เนื่องจากอะตอมของซิลิคอน และคอปเปอร์อะลูมิโนต์จะถูกกักอยู่ในเฟสแอลฟ่า-อะลูมิเนียม ได้น้อยที่สุด จึงทำให้มีปริมาณเฟสญูเทกติกอะลูมิเนียม-ซิลิคอนที่มากที่สุดในการอบละลาย และแสดงดังตารางที่ ข.5 โดยขึ้นงานหลังผ่านการอบละลายที่อุณหภูมิ 500 องศาเซลเซียส เป็นเวลา 4 ชั่วโมง เป็นอุณหภูมิ และเวลาที่ส่งผลให้มีความแข็งของขึ้นงานสูงสุด จึงนำมาทำการบ่มแข็งที่อุณหภูมิ 160 องศาเซลเซียส และ 180 องศาเซลเซียส เป็นเวลา 8 ชั่วโมง ตามลำดับ



รูปที่ 4.11 ค่าความแข็งของชิ้นงานในสภาพหล่อ และชิ้นงานหลังผ่านการอบละลาย

4.2.3.2 ผลการทดสอบความแข็งแรง

จากการทดสอบความแข็งแรงด้วยเครื่องทดสอบแรงดึง ของชิ้นงานหลังผ่านการอบละลายที่อุณหภูมิ 500 องศาเซลเซียส เป็นเวลา 4 ชั่วโมง จากนั้นนำไปขึ้นร้อนที่อุณหภูมิ 80 องศาเซลเซียส มาทดสอบความแข็งแรงเนื่องจากมีความแข็งสูงสุด พบร้าค่าความแข็งแรงของชิ้นงานเพิ่มขึ้นจากชิ้นงานในสภาพหล่อ มีค่าเท่ากับ 95.817 MPa หลังการอบละลายมีค่าเท่ากับ 142.980 MPa ดังตารางที่ ค.2 และแสดงดังรูปที่ 4.12 จะเห็นได้ว่าค่าความแข็งแรงเพิ่มขึ้นเมื่อเทียบกับค่าความแข็ง สาเหตุที่เพิ่มขึ้นสามารถอธิบายได้ในลักษณะเดียวกันกับการเพิ่มขึ้นของค่าความแข็ง



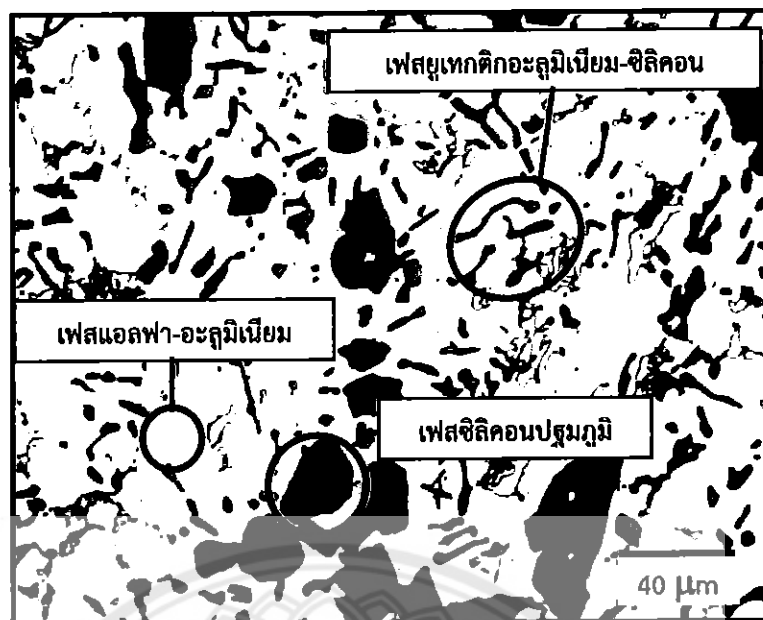
รูปที่ 4.12 ค่าความแข็งแรงของชิ้นงานก่อน และหลังการอบละลายที่อุณหภูมิ 500 องศาเซลเซียส เป็นเวลา 4 ชั่วโมง

4.3 ผลการศึกษาอะลูมิเนียมพสมหล่อ A390 หลังผ่านการบ่มแข็ง

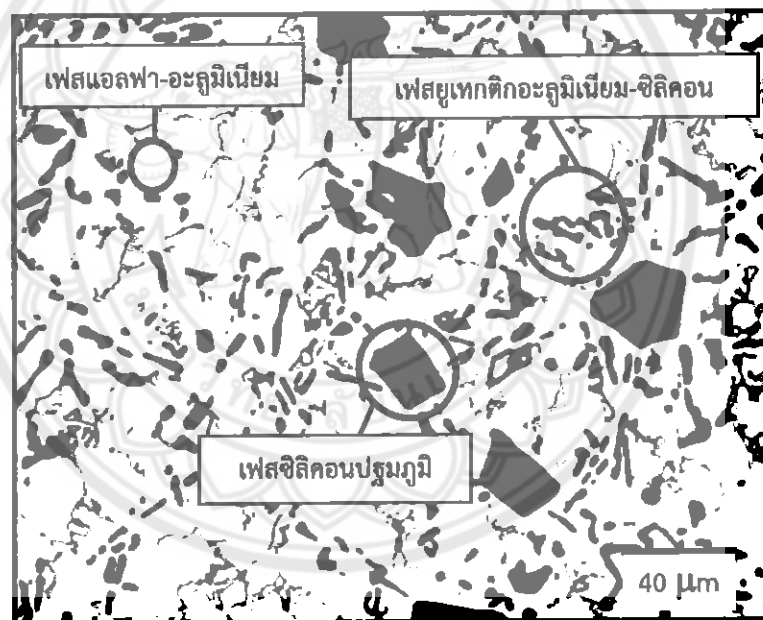
เมื่อนำชิ้นงานหลังผ่านการอบละลายที่อุณหภูมิ 500 องศาเซลเซียส เป็นเวลา 4 ชั่วโมง จากนั้นนำไปชุบน้ำที่อุณหภูมิ 80 องศาเซลเซียส มาทำการบ่มแข็งที่อุณหภูมิ 160 องศาเซลเซียส และ 180 องศาเซลเซียส เป็นเวลา 8 ชั่วโมง แล้วปล่อยให้เย็นตัวในอากาศ ได้ผลการทดสอบดังต่อไปนี้

4.3.1 การศึกษาโครงสร้างทางจุลภาค

การศึกษาโครงสร้างทางจุลภาคของชิ้นงานอะลูมิเนียมพสมหล่อ A390 เห็นได้ว่าทุกสภาวะมีโครงสร้างทางจุลภาคที่เหมือนกัน โดยระยะเวลาในขั้นตอนการบ่มแข็งจะไม่มีผลต่อโครงสร้างทางจุลภาคของชิ้นงาน เนื่องจากงานวิจัยที่ผ่านมาพบว่ามีการตกตะกอนของอนุภาคคopolymerอะลูมิโนิดที่เกิดการตกตะกอนขึ้นในเฟสแอลฟा-อะลูมิเนียมมีขนาดเล็กในระดับนาโนเมตร (Mitsuda et al., 2011) จึงไม่สามารถศึกษาได้ด้วยกล้องจุลทรรศน์แบบแสง ทำให้ไม่เห็นความแตกต่างของโครงสร้างทางจุลภาคหลังการอบละลายกับการบ่มแข็ง แสดงดังรูปที่ 4.13 ก) - ข) และจากการนับร้อยละโดยพื้นที่ของเฟสยูเทกติกอะลูมิเนียม-ชิลลิคอนพบว่ามีปริมาณเฟสยูเทกติกอะลูมิเนียม-ชิลลิคอนร้อยละ 37.483 โดยพื้นที่ของชิ้นงานบ่มแข็ง ดังตารางที่ ข.5



n)

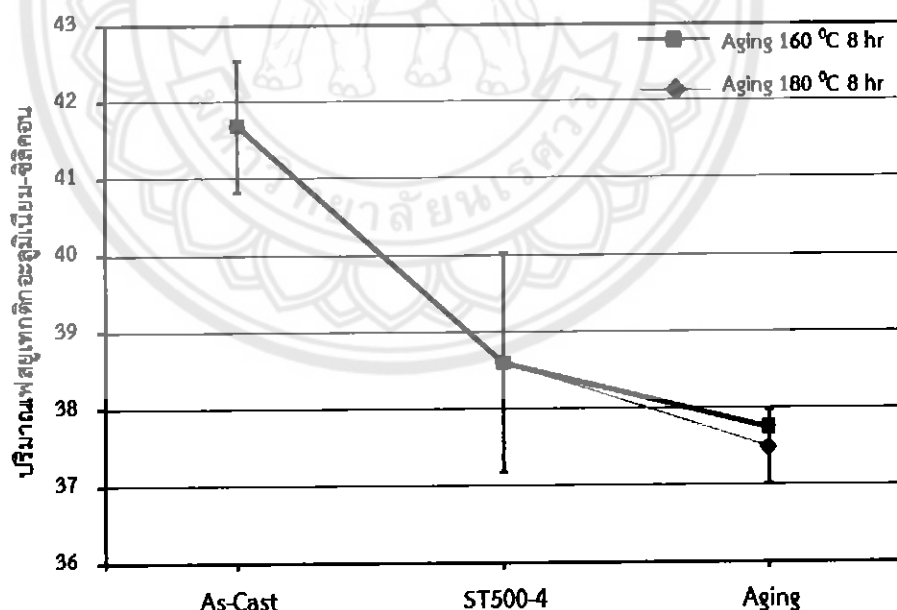


x)

รูปที่ 4.13 โครงสร้างทางจุลภาคของชิ้นงานหลังผ่านการบ่มแข็ง แล้วปล่อยให้เย็นตัวในอากาศ
จากกล่องจุลทรรศน์แบบแสง

- ก) ชิ้นงานหลังผ่านการบ่มแข็งที่อุณหภูมิ 160 องศาเซลเซียส เป็นเวลา 8 ชั่วโมง
- ข) ชิ้นงานหลังผ่านการบ่มแข็งที่อุณหภูมิ 180 องศาเซลเซียส เป็นเวลา 8 ชั่วโมง

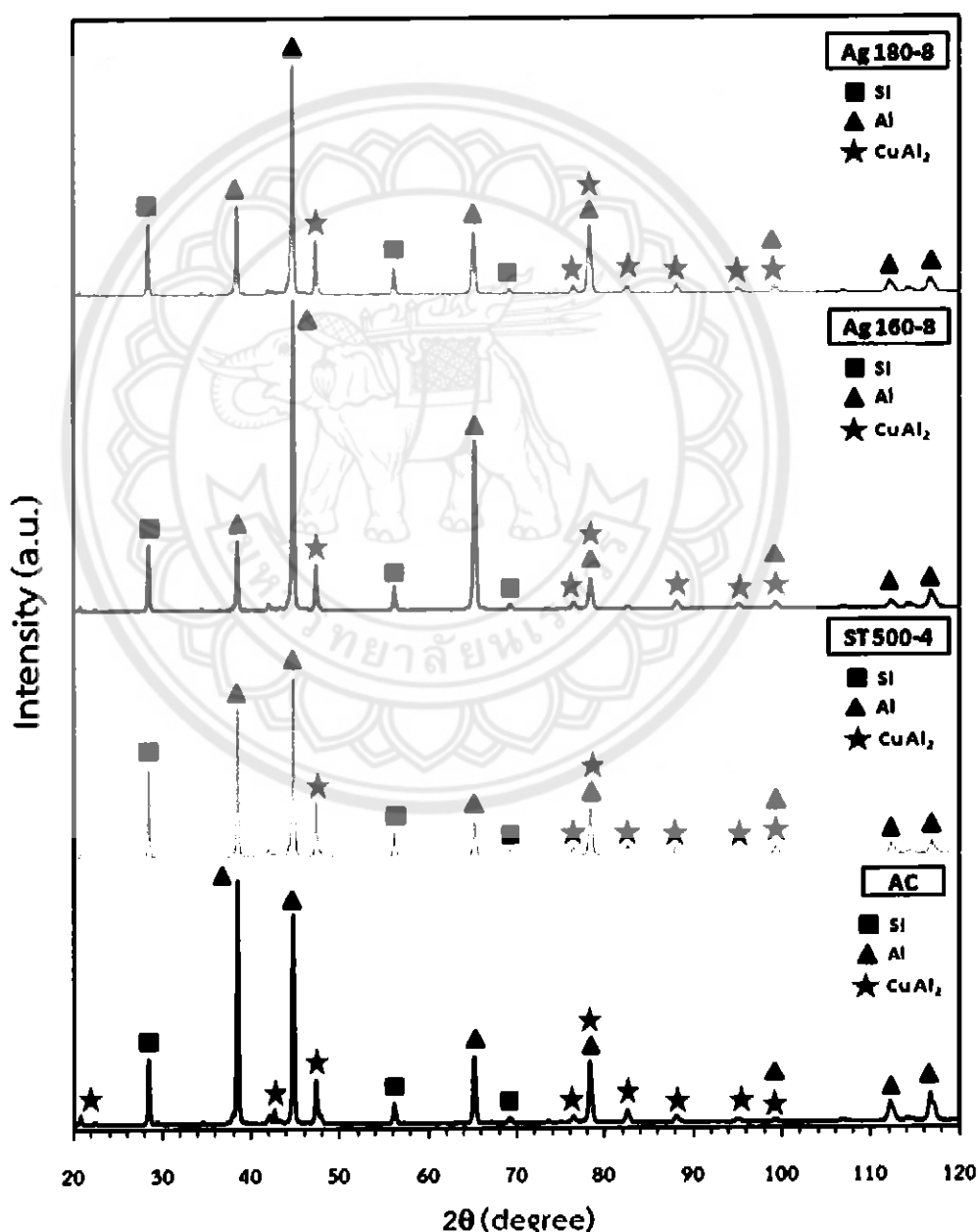
รูปที่ 4.14 พบว่าปริมาณเฟสยูเทกติกอะลูมิเนียม-ชิลิคอนของชิ้นงานในสภาพหล่อเม็ดอยละ 41.684 โดยพื้นที่ของชิ้นงานในสภาพหล่อ ชิ้นงานหลังผ่านการอบละลายที่อุณหภูมิ 500 องศาเซลเซียส เป็นเวลา 4 ชั่วโมง มีปริมาณเฟสยูเทกติกอะลูมิเนียม-ชิลิคอนร้อยละ 38.597 และ ชิ้นงานหลังผ่านการบ่มแข็งที่อุณหภูมิ 160 องศาเซลเซียส และ 180 องศาเซลเซียส เป็นเวลา 8 ชั่วโมง มีปริมาณเฟสยูเทกติกอะลูมิเนียม-ชิลิคอนร้อยละ 37.746 และ 37.483 โดยพื้นที่ของชิ้นงาน บ่มแข็ง ตามลำดับ ดังตารางที่ ข.5 เมื่อทำการเปรียบเทียบปริมาณเฟสยูเทกติกอะลูมิเนียม-ชิลิคอน พบว่าชิ้นงานในสภาพหล่อเม็ดมีปริมาณเฟสยูเทกติกอะลูมิเนียม-ชิลิคอนสูงกว่าชิ้นงานหลังผ่านกรรมวิธีทางความร้อน เนื่องจากชิ้นงานในสภาพหล่อเฟสยูเทกติกอะลูมิเนียม-ชิลิคอน มีรูปร่างเป็นแท่งยาว ปลายแหลม ชิ้นงานหลังผ่านขั้นตอนการอบละลาย พบร้าเฟสยูเทกติกอะลูมิเนียม-ชิลิคอนมีการเปลี่ยนแปลงรูปร่างจากที่มีลักษณะเป็นแท่งยาว ปลายแหลม เปลี่ยนไปมีลักษณะเป็นกลมมนมากขึ้น เนื่องจากการอบละลาย และการบ่มแข็งทำให้อะตอมของชิลิคอนละลายเข้าสู่เฟสแอลฟ่า-อะลูมิเนียม จึงทำให้พบเฟสยูเทกติกอะลูมิเนียม-ชิลิคอนในปริมาณน้อยลง เมื่อทำการนับร้อยละโดยพื้นที่ของเฟสยูเทกติกอะลูมิเนียม-ชิลิคอนหลังการอบละลาย และการบ่มแข็งมีข้อมูลอยู่ในกลุ่มเดียวกันแต่หลังการบ่มแข็งค่าเฉลี่ยปริมาณเฟสยูเทกติกอะลูมิเนียม-ชิลิคอนต่ำกว่าการอบละลาย แสดงดังรูปที่ 4.14



รูปที่ 4.14 ปริมาณของเฟสยูเทกติกอะลูมิเนียม-ชิลิคอนของชิ้นงานก่อน และหลังผ่านกรรมวิธีทางความร้อน

4.3.2 การศึกษาโครงสร้างผลึก และชนิดของสารประกอบ

จากผลของการศึกษาโครงสร้างผลึก และชนิดของสารประกอบด้วยเทคนิคการเลี้ยวเบนของรังสีเอกซ์ (XRD) ของชิ้นงานหลังผ่านการอบละลายที่อุณหภูมิ 500 องศาเซลเซียส เป็นเวลา 4 ชั่วโมง จำนวนน้ำมันการบ่มแข็งที่อุณหภูมิ 160 องศาเซลเซียส และ 180 องศาเซลเซียส เป็นเวลา 8 ชั่วโมง แล้วปล่อยให้เย็นตัวในอากาศ พบร่วมกับเฟสซิลิคอน อะลูมิเนียม และเฟสคอปเปอร์-อะลูมิโนด เมื่อเทียบกับชิ้นงานที่ผ่านการอบละลาย เนื่องจากกรรมวิธีทางความร้อนมีอุณหภูมิที่ต่ำ จึงไม่มีการเกิดเฟสใหม่ขึ้น แสดงดังรูปที่ 4.15

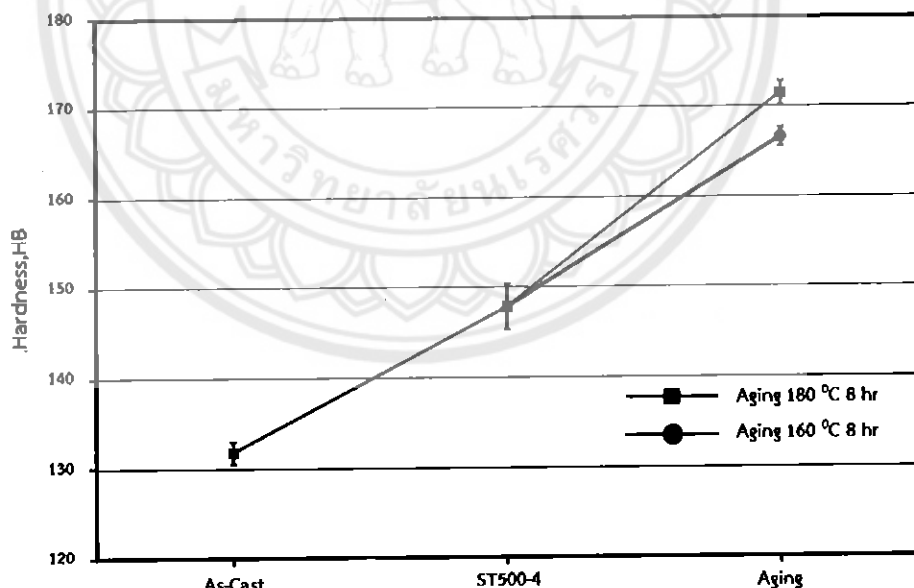


รูปที่ 4.15 การเลี้ยวเบนของรังสีเอกซ์ของชิ้นงานหลังผ่านการบ่มแข็ง

4.3.3 การศึกษาสมบัติทางกลของชิ้นงานหลังผ่านการบ่มแข็ง

4.3.3.1 ผลการทดสอบความแข็ง

จากการทดสอบความแข็งของชิ้นงานในสภาพหล่อ มีค่าเท่ากับ 131.76 HB และหลังผ่านการอบคลายที่อุณหภูมิ 500 องศาเซลเซียส เป็นเวลา 4 ชั่วโมง และขุบน้ำที่อุณหภูมิ 80 องศาเซลเซียส มีค่าความแข็งเท่ากับ 147.85 HB จากนั้นนำมาผ่านการบ่มแข็ง ที่อุณหภูมิ 160 องศาเซลเซียส และ 180 องศาเซลเซียส เป็นเวลา 8 ชั่วโมง แล้วปล่อยให้เย็นตัวในอากาศ พบร่วมมีค่าความแข็งเฉลี่ยเท่ากับ 166.593 HB และ 171.453 HB ตามลำดับ ดังตารางที่ ค.1 และแสดงดังรูปที่ 4.16 จากผลการทดสอบความแข็ง พบร่วมชิ้นงานหลังผ่านการบ่มแข็งที่อุณหภูมิ 180 องศาเซลเซียส เป็นเวลา 8 ชั่วโมง มีค่าความแข็งสูงสุด เมื่อเปรียบเทียบความแข็งหลังการอบคลายที่อุณหภูมิ 500 องศาเซลเซียส เป็นเวลา 4 ชั่วโมง เนื่องจากการบ่มแข็งทำให้อุณภูมิของคอเปอร์อะลูมิเนียมนั้นเกิดความไม่เสถียรพยา丫头 ก่อตัวเป็นเฟสใหม่ โดยอุณหภูมิ และเวลาการบ่มแข็งมีผลต่อการแตกตะbonของอนุภาคคอเปอร์อะลูมิเนียม (Mitsuda et al., 2011) ทำให้ชิ้นงานสามารถต้านทานการเคลื่อนที่ของดิสโลเคชันได้มากขึ้น ส่งผลให้ชิ้นงานมีความแข็งเพิ่มขึ้น ซึ่งสอดคล้องกับผลการทดลอง

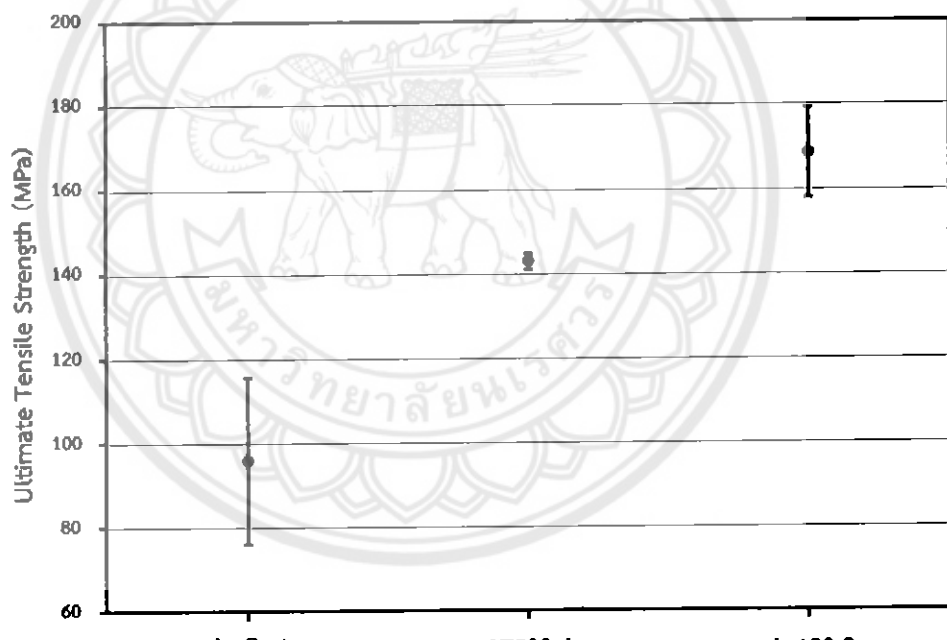


รูปที่ 4.16 ค่าความแข็งของชิ้นงานก่อน และหลังผ่านกรรมวิธีทางความร้อน

4.3.3.2 ผลการทดสอบความแข็งแรง

จากผลการทดสอบความแข็งแรงพบว่าการอบละลายที่อุณหภูมิ 500 องศาเซลเซียส เป็นเวลา 4 ชั่วโมง และผ่านการบ่มแข็งที่อุณหภูมิ 180 องศาเซลเซียส เป็นเวลา 8 ชั่วโมง มีค่าความแข็งแรงสูงสุด จึงเลือกชิ้นงานที่ผ่านขั้นตอนดังกล่าวมาทดสอบความค่าความแข็งแรงของชิ้นงานพบว่ามีค่าเท่ากับ 168.588 MPa ดังตารางที่ ค.2

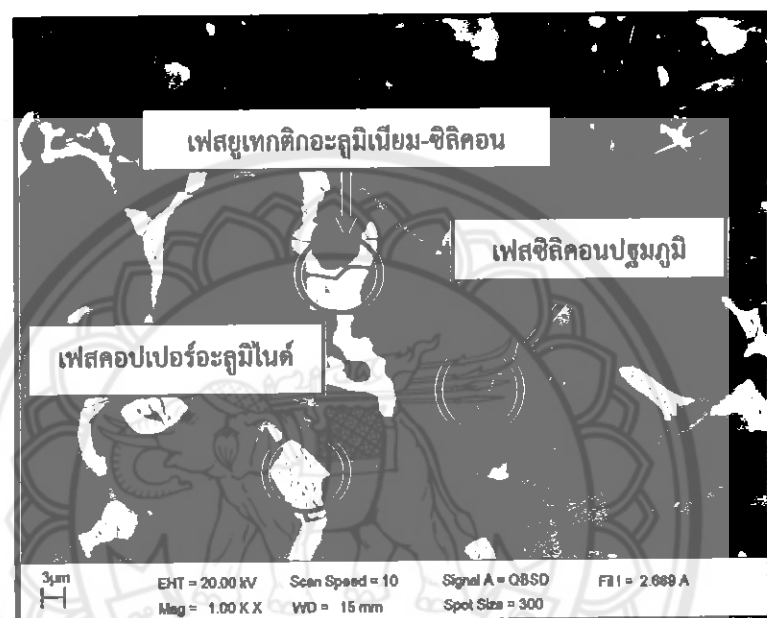
เมื่อนำค่าความแข็งแรงของชิ้นงานในสภาพหล่อ ชิ้นงานหลังการอบละลายที่ อุณหภูมิ 500 องศาเซลเซียส เป็นเวลา 4 ชั่วโมง และชิ้นงานหลังผ่านการบ่มแข็งที่อุณหภูมิ 180 องศาเซลเซียส เป็นเวลา 8 ชั่วโมง มาเปรียบเทียบกัน พบว่าจากช่วงข้อมูลทำให้เห็นค่าความแข็งแรงแตกต่างกันอย่างชัดเจน ค่าความแข็งแรงของชิ้นงานในสภาพหล่อ มีค่าต่ำสุด และค่าความแข็งแรงเพิ่มขึ้นเมื่อชิ้นงานได้ผ่านขั้นตอนการอบละลาย และค่าความแข็งแรงมีค่าสูงสุด เมื่อชิ้นงานได้ผ่านขั้นตอนการบ่มแข็ง แสดงดังรูปที่ 4.17 จะเห็นได้ว่าค่าแข็งแรงเพิ่มขึ้นเมื่อกับค่าความแข็ง สาเหตุที่เพิ่มขึ้นสามารถอธิบายได้ในลักษณะเดียวกันกับการเพิ่มขึ้นของค่าความแข็ง



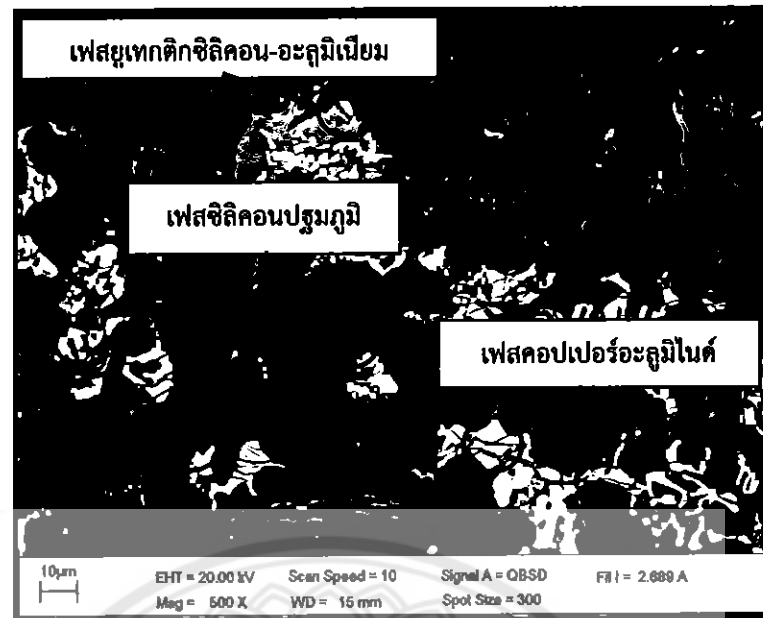
รูปที่ 4.17 ค่าความแข็งแรงของชิ้นงานก่อน และหลังกรรมวิธีทางความร้อน

4.3.4 การวิเคราะห์ตำแหน่งการแตกหักของชิ้นงานทดสอบแรงดึง

จากการศึกษาโครงสร้างจุลภาคจากกล้องจุลทรรศน์อิเล็กตรอนแบบส่องกราด ของชิ้นงานทดสอบแรงดึง พบร่วมกับการแตกบริเวณเฟสซิลิคอนปฐมภูมิ เฟสยูเทกติกอะลูมิเนียม-ซิลิคอน และเฟสคอปเปอร์อะลูมิโน่ แสดงดังรูปที่ 4.18-4.19 เมื่อจากเฟสซิลิคอนปฐมภูมิมี เฟสยูเทกติกอะลูมิเนียม-ซิลิคอนมีฐานซิลิคอนผสานอยู่ด้วย และเฟสคอปเปอร์อะลูมิโน่ มีฐานทองแดง ผสานอยู่ จึงทำให้เฟสแบบนี้ประจำ และชิ้นงานแตกหักได้ง่าย เมื่อได้รับแรงกระทำ



รูปที่ 4.18 ภาพถ่าย BEI ของโครงสร้างทางจุลภาค และผล EDXS ของชิ้นงานในสภาพหล่อที่ผ่านการทดสอบแรงดึงจากกล้องจุลทรรศน์อิเล็กตรอนแบบส่องกราด



รูปที่ 4.19 ภาพถ่าย BEI ของโครงสร้างทางจุลภาค และผล EDXS ของชิ้นงานหลังผ่านกรรมวิธีทางความร้อน ที่ผ่านการทดสอบแรงดึงจากกล้องจุลทรรศน์อิเล็กตรอนแบบส่องกราด

บทที่ 5

บทสรุป และข้อเสนอแนะ

5.1 บทสรุปของโครงงาน

5.1.1 ชิ้นงานในสภาพหล่อ โครงสร้างทางจุลภาคประกอบด้วยเฟสซิลิคอนปฐมภูมิ เฟสแอลฟ่า-อะลูมิเนียม (α -Al) เฟสคوبเปอร์อะลูมิไนด์ ($CuAl_2$) และเฟสยูเทกติกอะลูมิเนียม-ซิลิค่อนเป็นแท่งยาว ปลายแหลม มีค่าความแข็งเท่ากับ 131.760 HB และความแข็งแรงเท่ากับ 95.817 MPa และการนับร้อยละโดยพื้นที่ของเฟสยูเทกติกอะลูมิเนียม-ซิลิค่อน พบร่วมมีปริมาณเฟสยูเทกติกอะลูมิเนียม-ซิลิค่อนร้อยละ 41.684 โดยพื้นที่ของชิ้นงานในสภาพหล่อ

5.1.2 ชิ้นงานหลังผ่านขั้นตอนการอบละลาย โครงสร้างทางจุลภาคประกอบด้วยเฟสซิลิคอนปฐมภูมิ เฟสแอลฟ่า-อะลูมิเนียม เฟสคوبเปอร์อะลูมิไนด์ และเฟสยูเทกติกอะลูมิเนียม-ซิลิค่อนเป็นแท่งยาว ปลายมีลักษณะเป็นกลมมนขึ้น และค่าความแข็งของการอบละลายที่อุณหภูมิ 480 และ 500 องศาเซลเซียส เป็นเวลา 4 และ 8 ชั่วโมง มีค่าเท่ากับ 135.552 HB, 139.826 HB, 147.854 HB และ 132.804 HB ตามลำดับ และขั้นตอนการอบละลายพบว่าที่อุณหภูมิ 500 องศาเซลเซียส เป็นเวลา 4 ชั่วโมง มีค่าความแข็งสูงสุด และความแข็งแรงมีค่าเท่ากับ 147.854 MPa การนับร้อยละโดยพื้นที่ของเฟสยูเทกติกอะลูมิเนียม-ซิลิค่อน พบร่วมมีปริมาณเฟสยูเทกติกอะลูมิเนียม-ซิลิค่อนร้อยละ 38.597 โดยพื้นที่ของชิ้นงานหลังการอบละลาย

5.1.3 ชิ้นงานหลังผ่านขั้นตอนการบ่มแข็ง พบร่วมทุกสภาพรวมโครงสร้างทางจุลภาคที่เหมือนกัน กับขั้นตอนการอบละลาย และการบ่มแข็งที่อุณหภูมิ 160 องศาเซลเซียส และ 180 องศาเซลเซียส เป็นเวลา 8 ชั่วโมง แล้วปล่อยให้เย็นตัวในอากาศ พบร่วมมีค่าความแข็งเท่ากับ 166.593 HB และ 171.453 HB ตามลำดับ ซึ่งความแข็งหลังผ่านการบ่มแข็งที่อุณหภูมิ 180 องศาเซลเซียส เป็นเวลา 8 ชั่วโมง มีค่าสูงที่สุด และความแข็งแรงมีค่าเท่ากับ 168.588 MPa และการนับร้อยละโดยพื้นที่ของเฟสยูเทกติกอะลูมิเนียม-ซิลิค่อน พบร่วมมีปริมาณเฟสยูเทกติกอะลูมิเนียม-ซิลิค่อนร้อยละ 37.483 โดยพื้นที่ของชิ้นงานหลังบ่มแข็ง

5.1.4 จากการศึกษาโครงสร้างทางจุลภาคของชิ้นงานทดสอบแรงดึงก่อน และหลังผ่านกรรมวิธีทางความร้อน พบร่วมเกิดการแตกบริเวณเฟสซิลิคอนปฐมภูมิ เฟสยูเทกติกอะลูมิเนียม-ซิลิค่อน และ เฟสคوبเปอร์อะลูมิไนด์

5.1.5 จากการศึกษา และเปรียบเทียบผลของกรรมวิธีทางความร้อนที่มีต่อโครงสร้างทางจุลภาค พบร่วมโครงสร้างทางจุลภาคของชิ้นงานในสภาพหล่อ ประกอบด้วยเฟสซิลิคอนปฐมภูมิ เฟสแอลฟ่า-อะลูมิเนียม เฟสคوبเปอร์อะลูมิไนด์ และเฟสยูเทกติกอะลูมิเนียม-ซิลิค่อนเป็นแท่งยาว ปลายแหลม แต่หลังผ่านกรรมวิธีทางความร้อน เฟสยูเทกติกอะลูมิเนียม-ซิลิค่อนมีลักษณะกลมมนขึ้น และปริมาณลดลง

5.1.6 จากการศึกษาค่าความแข็ง และความแข็งแรงของชิ้นงานก่อน และหลังกรรมวิธีทางความร้อน พบร่วมค่าสูงขึ้นหลังผ่านกรรมวิธีทางความร้อน

5.2 ข้อเสนอแนะ และการพัฒนา

5.2.1 การปรับปรุงโครงสร้างทางจุลภาค และสมบัติทางกล สามารถเลือกชิ้นงานที่ขึ้นรูปด้วยวิธีการหล่อแบบอื่นๆ มาศึกษา และเปรียบเทียบผลกระทบวิธีทางความร้อนได้

5.2.2 ขั้นตอนการบ่มแข็งสามารถศึกษาเพิ่มเติมเกี่ยวกับอุณหภูมิ และเวลาที่ทำให้ค่าความแข็ง และความแข็งแรงมีค่าสูงที่สุด

5.2.3 เมื่อนำชิ้นงานก่อน และหลังกรรมวิธีทางความร้อนมาเปรียบเทียบกัน พบร่วมไม่สามารถวัดอนุภาคของคอปเปอร์อะลูมิโนิต์ที่เกิดการแตกหักก่อนชิ้นหลังจากผ่านกรรมวิธีทางความร้อนได้ด้วยกล้องจุลทรรศน์แบบแสง และกล้องจุลทรรศน์อิเล็กตรอนแบบส่องกราด เนื่องจากอนุภาคของคอปเปอร์อะลูมิโนิตในเฟสแอลfa-อะลูมิเนียม (α -Al) มีขนาดเล็กในระดับของนาโนเมตร ดังนั้นควรมีการศึกษานุภาคของคอปเปอร์อะลูมิโนิตที่เกิดการแตกหักก่อน ด้วยกล้องจุลทรรศน์อิเล็กตรอนแบบส่องผ่าน (TEM)

5.3 ปัญหาที่พบ และแนวทางการแก้ปัญหา

5.3.1 การใช้เทาอบที่อุณหภูมิสูง เมื่อนำชิ้นงานออกจากเตา อาจทำให้ผู้ปฏิบัติงานเกิดอันตรายได้ ฉะนั้นเราจึงควรใส่อุปกรณ์ที่ป้องกันความร้อนทุกครั้ง

5.3.2 การตัดชิ้นงาน ควรยึดชิ้นงานให้แน่น ก่อนทำการตัด เพราะถ้าชิ้นงานหลุด หรือขยับตัวจะทำให้ใบมีดตัดแตกหัก และอาจเกิดอันตรายต่อผู้ปฏิบัติงานได้

เอกสารอ้างอิง

เชาวลิต ลิ้มเจริญวิจิตร และวิทยา เอียดเหตุ. (2545). กลไกการปรับสภาพเกรนให้คล่องตัวโดยใช้โลหะแม่ของ โลหะอะกูมิเนียมผสม – ชิลิคอนเกรต 356 โดยใช้โลหะแม่. วารสารวิจัยและพัฒนา มหาวิทยาลัยเทคโนโลยีพระจอมเกล้าธนบุรี.

เชาวลิต ลิ้มเจริญวิจิตร.(2547-2548). โลหะวิทยาของอะกูมิเนียม-ชิลิคอน เกรตไชเปอร์ยูเทกติก. เทคโนโลยีอุตสาหกรรม.

ณรงค์ศักดิ์ ธรรมโชติ. กรรมวิธีการผลิตโลหะ. สืบคันเมื่อวันที่ 25 กรกฎาคม 2553 ในอินเตอร์เน็ต เว็บไซต์ http://www.mme.rmuti.ac.th/index.php?option=com_phocadownload&view=category&download=3&id=2&Itemid=25

ธนากรณ ตั้งวนิชพงษ์. (2547). โลหะหล่อผสมอะกูมิเนียม - ชิลิคอน. วารสารหล่อโลหะ.

ธนากรณ ໂກရາຍณ, วิลาสินี ภูมิตรสกุลและธีระพัฒน์ สมบติตวงศ์. (2543). เทคโนโลยี และโลหะวิทยาของอะกูมิเนียมหล่อ.(พิมพ์ครั้งที่ 1). ปทุมธานี: ศูนย์เทคโนโลยีโลหะ และวัสดุแห่งชาติ (MTEC).

บัญชา อนบุญสมบติ และศุภกาญจน์ คำมนี. (2544). จุฬารศน์อิเล็กตรอนแบบสแกนนิ่งประชุส์ โลกระดับจุลภาค. (พิมพ์ครั้งที่ 1). ปทุมธานี : ศูนย์เทคโนโลยีโลหะ และวัสดุแห่งชาติ.

พยูร เกตุกราย. (2523). การหล่อโลหะ ภาคการผลิต. กรุงเทพฯ: สมาคมส่งเสริมเทคโนโลยี (ไทย - ญี่ปุ่น).

มนัส สถิติจินดา. (2541). โลหะนอกกลุ่มเหล็ก. (พิมพ์ครั้งที่ 3). จุฬารศน์มหาวิทยาลัย. รองศาสตราจารย์ แม้น ออมรاسيธ์ และสมชัย อัครทิวา (2544) วัสดุวิศวกรรม. กรุงเทพฯ. มาตรฐานผลิตภัณฑ์อุตสาหกรรม-ความแข็งบริเวณล้ำหนึบ โลหะ สำนักงานมาตรฐานผลิตภัณฑ์อุตสาหกรรม กระทรวงอุตสาหกรรม ถนนพระรามที่ 6 กรุงเทพมหานคร 10400.

วิรุณ บัวงาม. เทคนิคการใช้กล้องจุฬารศน์ (Microscope). มหาวิทยาลัยราชภัฏอุบลราชธานี สืบคันในอินเตอร์เน็ตเว็บไซต์ <http://learners.in.th/blog/wirut/325228>

อุมาเรนทร พงไสพิตานันท. (2548). กลไกทางโลหะวิทยาต่อการเปลี่ยนแปลงโครงสร้างยูเทกติกในงานหล่ออะกูมิเนียมผสมชิลิคอน. วารสารหล่อโลหะ. ฉบับที่ 3.

Aluminum and aluminum alloys, ASM Specialty Handbook, ASM international, Chagrin Falls, Ohio, 2002, 290-719.

ASTM B 557 Test Methods of Tension Testing Wrought and Cast Aluminum-and Magnesium-Alloy Products.

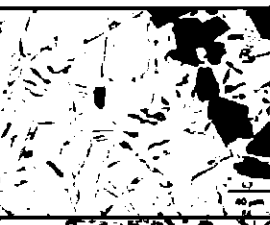
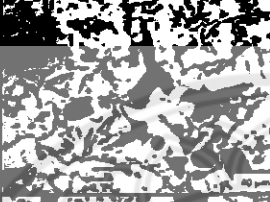
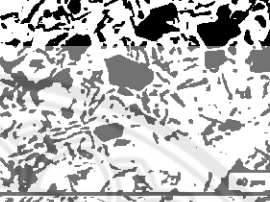
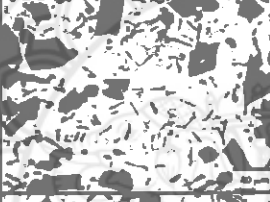
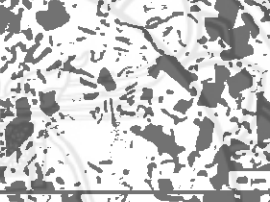
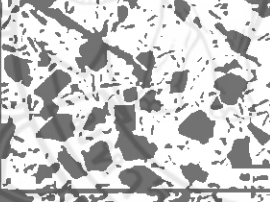
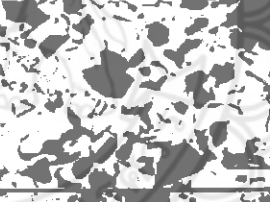
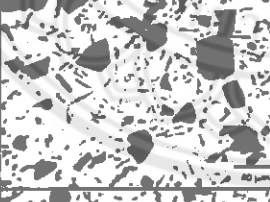
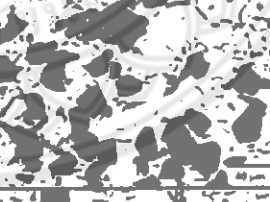
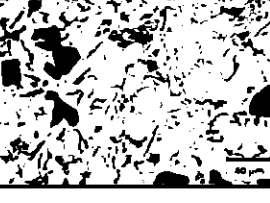
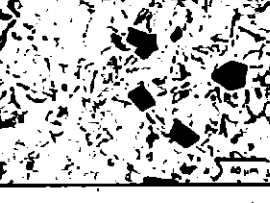
เอกสารอ้างอิง (ต่อ)

- F. Abd El-Salam, A.M. El-Khalek, R.H. Nada, L.A. Wahab and H.Y. Zaha. (2010). Effect of Sn content on structural and mechanical properties of Al-Si alloy. *Materials Science and Engineering A527*.
- F. King. (1987). *Aluminuand its alloy*. England: Ellis horwood limited.
- G. Ran, J. Zhou, and Q. G. Wang. (2006). The effect of Hot Isostatic Pressing on the Microstructure and Tensile Properties of an Unmodified A356-T6 Cast Aluminum Alloy. *Journal of Alloys and Compounds*.
- I. J. Polmear. (1989). *Light alloys metallurgy of the light metals*. London: E. Arnold.
- J. Buha. (2005). Interrupted aging of Al-Mg-Si-Cu alloy. Material science and engineering, Faculty of science, New South Wales University.
- J. Buha, R. N. Lumley, A.G. Crosky and K. Hono. (2007). Secondary precipitation in an Al-Mg-Si-Cu alloy. *Acta Materialia*.
- J. Pearce. (2002). Heat treatment of aluminium alloys. *Metal Casting Technologies*.
- J. Pearce. (2548). การอบซุบสำหรับอะลูมิเนียมผสมหล่อ. วารสารหล่อโลหะ.
- Kori S.A, Murty B.s and Chakraborty M. (2000). Development of an Efficient Grain Refiner for Al-7Si Alloy and Its Modification with Strontium. *Materials Science and Engineering*.
- Laws of Science. สืบคันเมื่อวันที่ 25 กรกฎาคม 2553 ในอินเตอร์เน็ตเว็บไซต์ http://orionift.tripod.com/physics_phunnies.htm
- M. Gupta and E.J. Lavernia. (1995). Effect of processing on the microstructural variation and Heat-treatment response of a hypereutectic Al-Si alloy. *Materials Processing Technology*.
- R. Cornell and H. K. D. H. Bhadeshia. (1999). *Aluminium-Silicon Casting Alloys*.
- R. Askeland. (1994). Dispersion strengthening by phase transformation and heat treatment. *science and engineering of material*.
- T. Mitsuda, I. Kobayashi, NaO. Fujita, Y. Saitoh, F. Hori, S. Semborshi, Y. Kaneno, K. Nishida, N. Soneda and A. Iwase. (2011). Hardening of Al-Cu-Mg Alloy by energetic Inon irradiation. *Joumal of Nuclear Materials*.
- Yucel Birol. (2008). Cooling slope casting and thixoforming of hypereutectic A390 alloy. *Journal of Materials Processing Technology*.

ภาคผนวก ก

โครงสร้างทางจุลภาคของชิ้นงานก่อน และหลังกรรมวิธีทางความร้อน
ที่ได้จากการศึกษาด้วยกล้องจุลทรรศน์แบบแสง

ตารางที่ ก.1 โครงสร้างทางจุลภาคของชิ้นงานก่อน และหลังกรรมวิธีทางความร้อน ณ บริเวณต่างๆ

| บริเวณ ส่วน | กลาง | ขอบใน | ขอบนอก |
|----------------|---|--|---|
| As-Cast |  |  |  |
| ST 480-4 |  |  |  |
| ST 500-4 |  |  |  |
| ST 480-8 |  |  |  |
| ST 500-8 |  |  |  |
| Ag 160-8 |  |  |  |
| Ag 180-8 |  |  |  |

ภาคผนวก ข

โครงสร้างทางจุลภาคของชีนงานก่อน และหลังกรรมวิธีทางความร้อน
ที่ได้จากการศึกษาด้วยกล้องจุลทรรศน์อิเล็กตรอนแบบส่องกราด

การวิเคราะห์องค์ประกอบของธาตุบริเวณเพสต่างๆ ชิ้นงานอะลูมิเนียมผสมหล่อ A390 ก่อน และหลังกรรมวิธีทางความร้อน

ตารางที่ ข.1 การวิเคราะห์องค์ประกอบของธาตุบริเวณเพสต่างๆ ของชิ้นงานก่อน และหลังกรรมวิธีทางความร้อน

| ประเภทชิ้นงาน | รูป | กราฟ | ปริมาณ |
|----------------------------|-----|------|--|
| ก่อนหั่นผ่าดูดิ | | | ธาตุ ร้อยละไบโอลักษณะ |
| | | | อะลูมิเนียม 97.65 ออกไซด์ 2.35 |
| ก่อนเผา-อะลูมิเนียม (A-L) | | | ธาตุ ร้อยละไบโอลักษณะ |
| | | | อะลูมิเนียม 98.83 ออกไซด์ 1.17 |
| ก่อนเผา-อะลูมิเนียม-ซีลกัน | | | ธาตุ ร้อยละไบโอลักษณะ |
| | | | อะลูมิเนียม 71.06 ออกไซด์ 24.2 เหลวแม่ 3.23 แมกนีเซียม 1.46 |
| | | | ธาตุ ร้อยละไบโอลักษณะ |
| | | | อะลูมิเนียม 65.59 เหลวแม่ 32.03 ออกไซด์ 2.38 |
| | | | |

การวิเคราะห์องค์ประกอบของธาตุบริเวณเฟสที่เกิดการแตกหัก ชิ้นงานทดสอบแรงดึงก่อน และหลังกรรมวิธีทางความร้อน

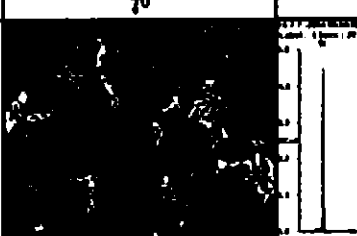
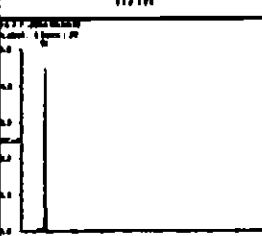
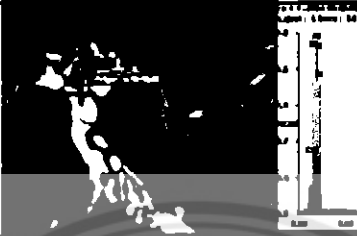
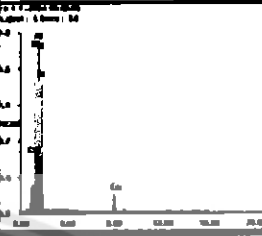
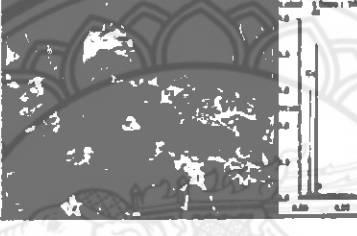
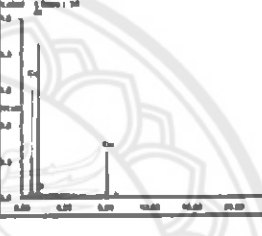
ตารางที่ ข.2 การวิเคราะห์องค์ประกอบของธาตุของชิ้นงานทดสอบแรงดึงในสภาพหล่อ

| ลำดับชั้นงานในการทดสอบ | รูป | กราฟ | ปริมาณธาตุ |
|-------------------------------------|-----|------|---|
| พลาสติกอะcryลิค | | | ธาตุ ร่องรอยโลหะมาก ซิลิโคน 95.71 |
| | | | อะลูมิเนียม 4.29 |
| | | | ธาตุ ร่องรอยโลหะมาก อะลูมิเนียม 44.32 ซิลิโคน 23.16 แมกนีเซียม 18.27 เหล็ก 14.24 ธาตุ ร่องรอยโลหะมาก อะลูมิเนียม 73.04 เหล็ก 20.88 ซิลิโคน 6.09 |
| พลาสติกอะcryลิคหลังผ่านการอบลุ่มลาย | | | ธาตุ ร่องรอยโลหะมาก ซิลิโคน 88.2 |
| | | | อะลูมิเนียม 11.8 |
| | | | ธาตุ ร่องรอยโลหะมาก อะลูมิเนียม 44.32 ซิลิโคน 23.16 แมกนีเซียม 18.27 เหล็ก 14.24 ธาตุ ร่องรอยโลหะมาก อะลูมิเนียม 73.04 เหล็ก 20.88 ซิลิโคน 6.09 |

ตารางที่ ข.3 การวิเคราะห์องค์ประกอบของธาตุของชิ้นงานทดสอบแรงดึงหลังผ่านการอบลุ่มลาย

| ลำดับชั้นงานหลังการอบลุ่มลาย | รูป | กราฟ | ปริมาณธาตุ |
|------------------------------|-----|------|---|
| พลาสติกอะcryลิค | | | ธาตุ ร่องรอยโลหะมาก ซิลิโคน 88.2 |
| | | | อะลูมิเนียม 11.8 |
| | | | ธาตุ ร่องรอยโลหะมาก อะลูมิเนียม 44.32 ซิลิโคน 23.16 แมกนีเซียม 18.27 เหล็ก 14.24 ธาตุ ร่องรอยโลหะมาก อะลูมิเนียม 73.04 เหล็ก 20.88 ซิลิโคน 6.09 |

ตารางที่ ช.4 การวิเคราะห์องค์ประกอบของธาตุของชิ้นงานทดสอบแรงดึงหลังผ่านการบ่มแข็ง

| หมายเลขชิ้นงานที่ผ่านการปั่นเขียว | รูป | การ | ปริมาณธาตุ | |
|--|---|--|-------------|-------------------|
| | | | ธาตุ | ร้อยละในน้ำหนัก |
| อะลูมิเนียมปูนดิน |  |  | อะลูมิเนียม | 98.02 |
| | | | อะลูมิเนียม | 1.98 |
| อะลูมิเนียม-อลูมิเนียม (Eutectic Al-Si) |  |  | อะลูมิเนียม | 100.00% ในน้ำหนัก |
| | | | อะลูมิเนียม | 44.32 |
| อะลูมิเนียม-อลูมิเนียม-แมกนีเซียม |  |  | อะลูมิเนียม | 23.16 |
| | | | แมกนีเซียม | 18.27 |
| อะลูมิเนียม |  |  | อะลูมิเนียม | 14.24 |
| | | | อะลูมิเนียม | 49.88 |
| อะลูมิเนียม |  |  | อะลูมิเนียม | 49.11 |
| | | | อะลูมิเนียม | 1.00 |

ปริมาณเฟสบุ๊เกติกอะลูมิเนียม-ซิลิคอนของชิ้นงานก่อน และหลังกรรมวิธีทางความร้อน

ตารางที่ ข.5 ปริมาณเฟสบุ๊เกติกอะลูมิเนียม-ซิลิคอนของชิ้นงานก่อน และหลังกรรมวิธีทางความร้อน

| ชั้นงานในกระบวนการที่ จำนวนรูปชิ้นงาน | AC | ST480-4 | ST480-8 | ST500-4 | ST500-8 | Ag160-8 | Ag180-8 |
|--|-----------|----------------|----------------|----------------|----------------|----------------|----------------|
| 1 | 45.517 | 36.4896 | 38.7056 | 39.040 | 41.812 | 40.112 | 37.845 |
| 2 | 41.898 | 41.6965 | 39.8978 | 35.899 | 36.596 | 37.507 | 33.236 |
| 3 | 38.750 | 34.7411 | 37.8022 | 40.696 | 40.835 | 36.393 | 36.076 |
| 4 | 46.889 | 40.7055 | 40.308 | 35.334 | 37.440 | 36.665 | 38.245 |
| 5 | 38.573 | 35.759 | 35.2402 | 39.826 | 40.187 | 39.074 | 38.792 |
| 6 | 41.390 | 45.8667 | 40.8842 | 33.885 | 39.729 | 36.514 | 34.586 |
| 7 | 39.925 | 42.4444 | 35.5812 | 30.928 | 41.365 | 36.574 | 38.364 |
| 8 | 42.557 | 36.9204 | 39.9424 | 44.089 | 40.162 | 39.115 | 37.793 |
| 9 | 40.945 | 38.8908 | 40.1936 | 44.708 | 38.990 | 36.098 | 40.022 |
| 10 | 40.399 | 38.994 | 39.5712 | 41.564 | 42.304 | 39.410 | 39.877 |
| ค่าเฉลี่ย | 41.684 | 39.251 | 38.813 | 38.597 | 39.942 | 37.746 | 37.483 |
| ค่าเบี่ยงเบนมาตรฐาน | 2.713 | 3.462 | 1.992 | 4.489 | 1.838 | 1.515 | 2.208 |
| ค่าความคลาดเคลื่อน | 0.858 | 1.095 | 0.630 | 1.420 | 0.581 | 0.479 | 0.698 |



ภาควิชานวัตกรรม

สถาบันวิทยาลัยนเรศวร

สมบัติทางกลของชิ้นงานก่อน และหลังกรรมวิธีทางความร้อน

ตารางที่ ค.1 ค่าความแข็งของชิ้นงานก่อน และหลังกรรมวิธีทางความร้อน

| ชิ้นงาน ชิ้นงานในสภาพเดิมๆ | 1 | 2 | 3 | 4 | 5 | 6 | 7 | ค่าความแข็งเฉลี่ย (HB) | ค่าเบี่ยงเบน มาตรฐาน | ค่าความคลาดเคลื่อน |
|-------------------------------|---------|---------|---------|---------|---------|---------|---------|---------------------------|-------------------------|--------------------|
| As-Cast | 132.624 | 132.624 | 132.624 | 128.408 | 126.373 | 132.624 | 137.045 | 131.760 | 3.444 | 1.302 |
| ST 480-4 | 141.685 | 137.045 | 137.045 | 137.045 | 132.624 | 126.373 | 137.045 | 135.552 | 4.820 | 1.822 |
| ST 480-8 | 132.624 | 137.045 | 132.624 | 146.560 | 141.685 | 141.685 | 146.560 | 139.826 | 5.903 | 2.231 |
| ST 500-4 | 151.684 | 144.092 | 141.685 | 157.075 | 157.075 | 141.685 | 141.685 | 147.854 | 7.223 | 2.730 |
| ST 500-8 | 128.408 | 128.408 | 141.685 | 141.685 | 132.624 | 128.408 | 128.408 | 132.804 | 6.260 | 2.366 |
| Ag 160-8 | 162.752 | 162.752 | 168.736 | 168.736 | 165.704 | 168.736 | 168.736 | 166.593 | 2.637 | 0.997 |
| Ag 180-8 | 171.849 | 175.049 | 165.704 | 175.049 | 168.736 | 168.736 | 175.049 | 171.453 | 3.521 | 1.331 |

ตารางที่ ค.2 ค่าความแข็งแรงของชิ้นงานก่อน และหลังกรรมวิธีทางความร้อน

| จำนวนชิ้นงาน ชิ้นงานในสภาพเดิมๆ | 1 | 2 | ค่าความแข็งแรง (MPa) | ค่าเบี่ยงเบน มาตรฐาน | ค่าความคลาดเคลื่อน |
|------------------------------------|---------|---------|-------------------------|-------------------------|--------------------|
| As-Cast | 75.948 | 115.686 | 95.817 | 28.099 | 19.869 |
| ST 500-4 | 144.810 | 141.150 | 142.980 | 2.588 | 1.830 |
| Ag 180-8 | 157.909 | 179.268 | 168.588 | 15.103 | 10.680 |

ประวัติผู้ดำเนินโครงการ



ชื่อ นางสาวอภิญญา เวชการ
กุมิลามาเน 163 หมู่ 2 ตำบลคลาย อำเภอ น้ำยืน^{น้ำยืน}
จังหวัดอุบลราชธานี 34260

ประวัติการศึกษา

- จบระดับมัธยมศึกษาจากโรงเรียนพระสุธรรม
ยานเกรทวิทยา
- ปัจจุบันกำลังศึกษาในระดับปริญญาตรีชั้นปีที่ 4
สาขาวิศวกรรมวัสดุ คณะวิศวกรรมศาสตร์
มหาวิทยาลัยนเรศวร

E-mail: apinya_n@windowslive.com



ชื่อ นายอภิชาติ ชื่อนาม
กุมิลามาเน 61 หมู่ 6 ตำบลตลาดคัว อำเภอพญาเม็งราย
จังหวัดเชียงราย 57290

ประวัติการศึกษา

- จบระดับมัธยมศึกษาจากโรงเรียนแม่ตាวิทยา
- ปัจจุบันกำลังศึกษาในระดับปริญญาตรีชั้นปีที่ 4
สาขาวิศวกรรมวัสดุ คณะวิศวกรรมศาสตร์
มหาวิทยาลัยนเรศวร

E-mail: apichat_win@hotmail.co.th